

tous semblables, tous différents

PO17421

**Explorer avec les élèves l'unicité et la diversité de
l'ADN**

Login: usr_m_bibcmu
Password: geneve14

<http://education.expasy.org/cours/PO17421/>



Swiss Institute of
Bioinformatics

François.Lombard@unige.ch
&
Marie-Claude.Blatter@sib.swiss

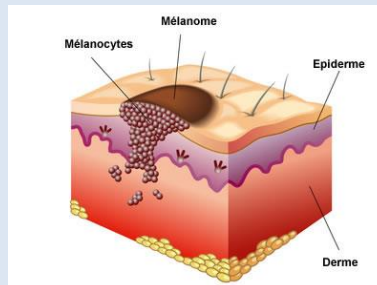
(1) Variations inter-espèces



(2) Variations intra-espèce (humain)



(3) Variations intra-individu (somatiques)



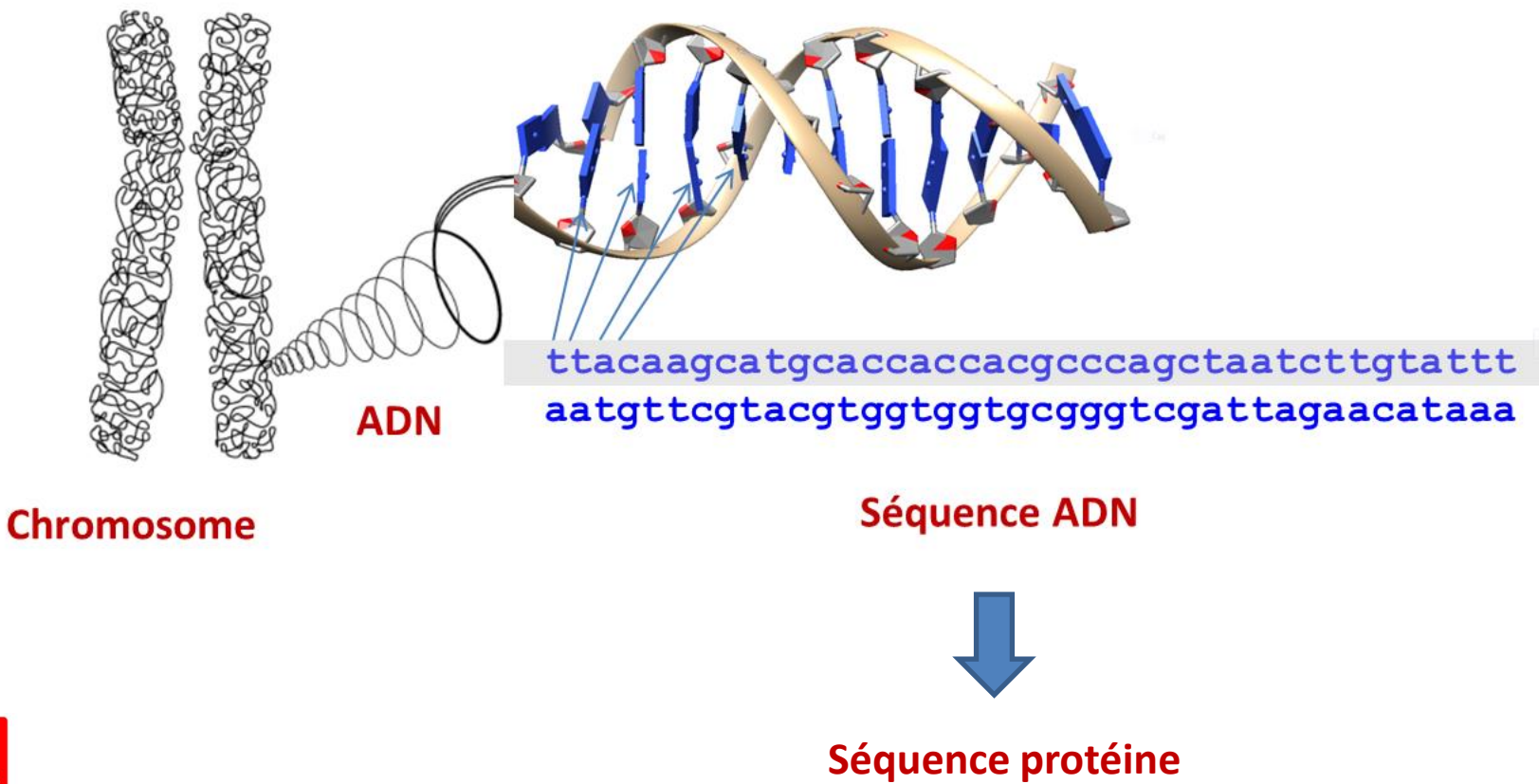
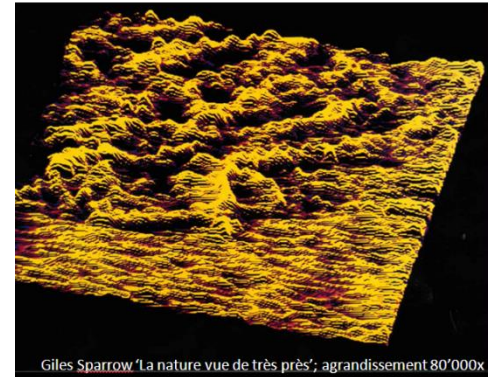
Activités

- 1.1 ‘Voir’ l’unicité/diversité en comparant des séquences de protéines (1) (Align@UniProt)
- 1.2 ‘Voir’ l’unicité/diversité en comparant des séquences de protéines (2) (Align@UniProt)

- 2.1 Comparer des séquences ADN de mitochondrie (Néanderthal, ‘mon génome’, chimpanzé, etc...) (Align@UniProt)
- 2.2 Comparer les séquence ADN de mitochondrie de 60 individus (Align@UniProt)
- 2.3 Comparer une séquence ADN de mitochondrie avec le génome de référence et repérer les SNP (BLAT@UCSC) (*expert*)
- 2.3 bis Comparer la séquence ADN de mitochondrie de ‘mon génome’ avec le génome de référence et repérer les SNP (BLAT@UCSC) (*expert*)
- 2.4 Comparer une séquence ADN de mitochondrie humain avec le génome différentes espèces (BLAT@UCSC); ‘Voir’ l’unicité/diversité
- 2.5 Annotation des variants dans UniProtKB/Swiss-Prot (TAS2R38, CFTR, BRCA1)
- 2.6 ‘Voir’ les variations génétiques de *Arabidopsis Thaliana*
- 2.7 Une famille, un arbre généalogique, une maladie génétique: exemple complet

- 3.1 ‘Trouver’ une variation somatique associée avec le mélanome (Align@UniProt)
- 3.2 Traitement personnalisé: exemple BRAF
- Variations somatiques chez les plantes....

<http://education.expasy.org/cours/PO17421/>



De l'ADN aux protéines...



Génotype & Phénotype

Association statistique (GWAS)

Analyse fonctionnelle de la protéine (expérimentale)

Génétique des population (fréquence)

- Les techniques de séquençage de l'ADN:
 - NGS (Next Generation Sequencing)
 - 10 x coverage (minimum)
 - Validation des variants avec la bonne vieille méthode Sanger....

Sanger Validation of NextGen Sequencing Variants:
“Of over 5,800 NGS-derived variants, 19 were not validated by Sanger data. “ (PMC4878677)

Variations par rapport à une séquence de référence

<https://m.simplyscience.ch/le-monde-des-genes/articles/le-monde>

LES MUTATIONS SONT DES ERREURS DANS L'ADN (DNA). TOUTES LES ERREURS N'ONT PAS DE REPERCUSSIONS, CERTAINES SONT INOFFENSIVES, MAIS ~~MAIS~~ D'AUTRES PEUVENT ~~ETRE GRAVES~~ ETRE GRAVES. LES MUTATIONS SONT COMME DES FAUTES DE FRAPPE. LE SENS DU TEXTE PET CHANGRE UQ PAS...

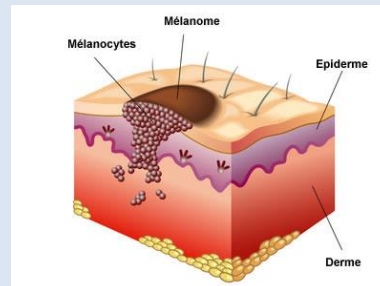
(1) Variations inter-espèces



(2) Variations intra-espèce (humain)



(3) Variations intra-individu (somatiques)



Activité 1.1

‘Voir’ l’unicité/diversité en comparant des séquences de protéines (1) (Align@UniProt)

‘Voir’ l’évolution en comparant des séquences de protéines....

Aligner les séquences d’une même protéine chez différentes espèces

Choisir différentes protéines; garder les mêmes espèces

www.uniprot.org, align

Depuis le site www.uniprot.org:

Taper un nom de gène (ACTB)

Cliquer sur ‘Reviewed’ et ‘Gene name’

UniProtKB actb Advanced Search

To improve security and privacy, we are moving our web pages and services from HTTP to HTTPS. To give users of web services time to transition to HTTPS, we will support separate HTTP and HTTPS services until June 20, 2018. From this date, the HTTP traffic will be automatically redirected to HTTPS. More information or view this page using https.

UniProtKB results

Filter by:

- Reviewed (202) 
- Unreviewed (3,949) T-EMBL

Popular organisms

- Mouse (66)
- Human (65)
- Rat (26)
- Bovine (18)
- Zebrafish (12)
- Other organisms

Search terms

Filter "actb" as:
gene name (594)
protein name (30)
strain (2)
taxonomy (2)

Go

BLAST Align Download Add to basket Columns >

1 to 25 of 4,151 Show 25

Entry	Entry name	Protein names	Gene names	Organism	Length
P60709	ACTB_HUMAN	Actin, cytoplasmic 1 (Beta-actin) [Cleaved into: Actin, cytoplasmic 1, N-terminally processed]	ACTB	Homo sapiens (Human)	375
P07830	ACT1_DICDI	Major actin (Actin A1) (Actin A12) (Actin A8) (Actin III) (Actin M6) (Actin-1) (Actin-11) (Actin-12) (Actin-13) (Actin-14) (Actin-15) (Actin-16) (Actin-19) (Actin-2) (Actin-2-sub 1) (Actin-20) (Actin-21) (Actin-3a) (Actin-4) (Actin-5) (Actin-6) (Actin-7) (Actin-8) (Actin-9) (Actin-IEL1)	act1 act1a, DDB_G0289553 act2 act2-1, DDB_G0274133 act4 DDB_G0289005 act5 DDB_G0289663 act6 DDB_G0274135 act7 DDB_G0280545 more..	Dictyostelium discoideum (Slime mold)	376
P60710	ACTB_MOUSE	Actin, cytoplasmic 1 (Beta-actin) [Cleaved into: Actin, cytoplasmic 1, N-terminally processed]	Actb	Mus musculus (Mouse)	375
P60711	ACTB_RAT	Actin, cytoplasmic 1 (Beta-actin) [Cleaved into: Actin, cytoplasmic 1, N-terminally processed]	Actb	Rattus norvegicus (Rat)	375
P04626	ERBB2_HUMAN	Receptor tyrosine-protein kinase erbB-2 (EC 2.7.10.1) (Metastatic lymph node gene 19 protein) (MLN 19) (Proto-oncogene c-ErbB-2) (Tyrosine kinase-type cell surface receptor HER2) (p185erbB2) (CD antigen CD340)	ERBB2 HER2, MLN19, NEU, NGL	Homo sapiens (Human)	1,255
Q08211	DHX9_HUMAN	ATP-dependent RNA helicase A (EC 3.6.4.13) (DEAH box protein 9) (DEAH box helicase 9) (Leukophosphin) (LKP) (Nuclear DNA helicase II) (NDH II) (RNA helicase A)	DHX9 DDX9, LKP, NDH2	Homo sapiens (Human)	1,270
P60706	ACTB_CHICK	Actin, cytoplasmic 1 (Beta-actin) [Cleaved into: Actin, cytoplasmic 1, N-terminally processed]	ACTB	Gallus gallus (Chicken)	375
Q711N9	ACTB_MESAU	Actin, cytoplasmic 1 (Beta-actin) [Cleaved into: Actin, cytoplasmic 1, N-terminally processed]	ACTB	Mesocricetus auratus (Golden hamster)	375
Q18840	ACTB_CANLF	Actin, cytoplasmic 1 (Beta-actin) [Cleaved into: Actin, cytoplasmic 1, N-terminally processed]	ACTB	Canis lupus familiaris (Dog) (Canis familiaris)	375
Q5R6G0	ACTB_PONAB	Actin, cytoplasmic 1 (Beta-actin) [Cleaved into: Actin, cytoplasmic 1, N-terminally processed]	ACTB	Pongo abelii (Sumatran orangutan)	375

Sélectionner HUMAN, PANTR (Chimp), MOUSE, RAT, XENLA, CHICKEN

Liste des codes des espèces utilisée dans UniProtKB: <http://www.uniprot.org/docs/species>

Cliquer sur 'Align'

Show 100

UniProtKB results

Filter byⁱ

Reviewed (33)
Swiss-Prot

Popular organisms

Bovine (1)

Human (1)

Mouse (1)

Rat (1)

Slime mold (1)

Other organisms

Go

Search terms

Filter "actb" as:
gene name

View by

Results table

Taxonomy

Keywords

Gene Ontology

Enzyme class

Pathway

UniRef

Your results in sequence clusters with identity of:
100%, 90% or 50%

Demo

Show only exact matches for actb				
Entry	Entry name	Protein names	Gene names	Organism
6 result(s) selected. (Clear selection)				
<input checked="" type="checkbox"/> P60709	ACTB_HUMAN	Actin, cytoplasmic 1 (Beta-actin) [Cleaved into: Actin, cytoplasmic 1, N-terminally processed]	ACTB	Homo sapiens (Human)
<input type="checkbox"/> P07830	ACT1_DICDI	Major actin (Actin A1) (Actin A12) (Actin A8) (Actin III) (Actin M6) (Actin-1) (Actin-11) (Actin-12) (Actin-13) (Actin-14) (Actin-15) (Actin-16) (Actin-19) (Actin-2) (Actin-2-sub 1) (Actin-20) (Actin-21) (Actin-3a) (Actin-4) (Actin-5) (Actin-6) (Actin-7) (Actin-8) (Actin-9) (Actin-IEL1)	act1 actia, DDB_G0289553 act2 act2-1, DDB_G0274133 act4 DDB_G0289005 act5 DDB_G0289663 act6 DDB_G0274135 act7 DDB_G0280545 more..	Dictyostelium discoideum (Slime mold)
<input checked="" type="checkbox"/> P60711	ACTB_RAT	Actin, cytoplasmic 1 (Beta-actin) [Cleaved into: Actin, cytoplasmic 1, N-terminally processed]	Actb	Rattus norvegicus (Rat)
<input checked="" type="checkbox"/> P60710	ACTB_MOUSE	Actin, cytoplasmic 1 (Beta-actin) [Cleaved into: Actin, cytoplasmic 1, N-terminally processed]	Actb	Mus musculus (Mouse)
<input checked="" type="checkbox"/> P60706	ACTB_CHICK	Actin, cytoplasmic 1 (Beta-actin) [Cleaved into: Actin, cytoplasmic 1, N-terminally processed]	ACTB	Gallus gallus (Chicken)
<input type="checkbox"/> Q711N9	ACTB_MESAU	Actin, cytoplasmic 1 (Beta-actin) [Cleaved into: Actin, cytoplasmic 1, N-terminally processed]	ACTB	Mesocricetus auratus (Golden hamster)
<input type="checkbox"/> O18840	ACTB_CANLF	Actin, cytoplasmic 1 (Beta-actin) [Cleaved into: Actin, cytoplasmic 1, N-terminally processed]	ACTB	Canis lupus familiaris (Dog) (Canis familiaris)
<input type="checkbox"/> Q5R6G0	ACTB_PONAB	Actin, cytoplasmic 1 (Beta-actin) [Cleaved into: Actin, cytoplasmic 1, N-terminally processed]	ACTB	Pongo abelii (Sumatran orangutan) (Pongo pygmaeus abelii)
<input type="checkbox"/> P60712	ACTB_BOVIN	Actin, cytoplasmic 1 (Beta-actin) [Cleaved into: Actin, cytoplasmic 1, N-terminally processed]	ACTB	Bos taurus (Bovine)
<input type="checkbox"/> Q6QAAQ1	ACTB_PIG	Actin, cytoplasmic 1 (Beta-actin) [Cleaved into: Actin, cytoplasmic 1, N-terminally processed]	ACTB	Sus scrofa (Pig)
<input type="checkbox"/> P29751	ACTB_RABIT	Actin, cytoplasmic 1 (Beta-actin) [Cleaved into: Actin, cytoplasmic 1, N-terminally processed]	ACTB	Oryctolagus cuniculus (Rabbit)
<input type="checkbox"/> P79818	ACTB_ORYLA	Actin, cytoplasmic 1 (Beta-actin) (OICA1) [Cleaved into: Actin, cytoplasmic 1, N-terminally processed]	actb	Oryzias latipes (Japanese rice fish) (Japanese killifish)
<input checked="" type="checkbox"/> Q93400	ACTB_XENLA	Actin, cytoplasmic 1 (Beta-actin) (Cytoplasmic beta-actin) [Cleaved into: Actin, cytoplasmic 1, N-terminally processed]	actb	Xenopus laevis (African clawed frog)

Cliquer sur 'Similarity'

 Alignment Tree Result info

Highlight

Annotation

- Initiator methionine
- Sequence conflict
- Modified residue
- Natural variant
- Chain
- Cross-link

Amino acid properties

- Similarity
- Hydrophobic
- Negative
- Positive
- Aliphatic
- Tiny
- Aromatic
- Charged
- Small
- Polar
- Big
- Serine Threonine

Demo

 Help video

Alignment

How to print an alignment in color

P60709	ACTB_HUMAN	1	MDDDTAAALVVNDNGSGMCKAGFAGDDAPRAVFPSIVGRPRHQGVVMGMQKDSDYVGDEAQ	60	
P60711	ACTB_RAT	1	MDDDTAAALVVNDNGSGMCKAGFAGDDAPRAVFPSIVGRPRHQGVVMGMQKDSDYVGDEAQ	60	
P60710	ACTB_MOUSE	1	MDDDTAAALVVNDNGSGMCKAGFAGDDAPRAVFPSIVGRPRHQGVVMGMQKDSDYVGDEAQ	60	
P60706	ACTB_CHICK	1	MDDDTAAALVVNDNGSGMCKAGFAGDDAPRAVFPSIVGRPRHQGVVMGMQKDSDYVGDEAQ	60	
O93400	ACTB_XENLA	1	MDDDTAAALVVNDNGSGMCKAGFAGDDAPRAVFPSIVGRPRHQGVVMGMQKDSDYVGDEAQ	60	
Q5R1X3	ACTB_PANTR	1	MDDDTAAALVVNDNGSGMCKAGFAGDDAPRAVFPSIVGRPRHQGVVMGMQKDSDYVGDEAQ	60	
		*****	*****	*****	
P60709	ACTB_HUMAN	61	KRGILTLKPIERGIVINWDDMEKIHHTFYNEELRVVAPEEHFVLLTEAPLPKANREKMT	120	
P60711	ACTB_RAT	61	KRGILTLKPIERGIVINWDDMEKIHHTFYNEELRVVAPEEHFVLLTEAPLPKANREKMT	120	
P60710	ACTB_MOUSE	61	KRGILTLKPIERGIVINWDDMEKIHHTFYNEELRVVAPEEHFVLLTEAPLPKANREKMT	120	
P60706	ACTB_CHICK	61	KRGILTLKPIERGIVINWDDMEKIHHTFYNEELRVVAPEEHFVLLTEAPLPKANREKMT	120	
O93400	ACTB_XENLA	61	KRGILTLKPIERGIVINWDDMEKIHHTFYNEELRVVAPEEHFVLLTEAPLPKANREKMT	120	
Q5R1X3	ACTB_PANTR	61	KRGILTLKPIERGIVINWDDMEKIHHTFYNEELRVVAPEEHFVLLTEAPLPKANREKMT	120	
		*****	*****	*****	
P60709	ACTB_HUMAN	121	QMFFETNTIPTAMYVAIAQAVLSQLASGRTTGIVMDSDGVHTHVPITYEGYLPHAILRLD	180	
P60711	ACTB_RAT	121	QMFFETNTIPTAMYVAIAQAVLSQLASGRTTGIVMDSDGVHTHVPITYEGYLPHAILRLD	180	
P60710	ACTB_MOUSE	121	QMFFETNTIPTAMYVAIAQAVLSQLASGRTTGIVMDSDGVHTHVPITYEGYLPHAILRLD	180	
P60706	ACTB_CHICK	121	QMFFETNTIPTAMYVAIAQAVLSQLASGRTTGIVMDSDGVHTHVPITYEGYLPHAILRLD	180	
O93400	ACTB_XENLA	121	QMFFETNTIPTAMYVAIAQAVLSQLASGRTTGIVMDSDGVHTHVPITYEGYLPHAILRLD	180	
Q5R1X3	ACTB_PANTR	121	QMFFETNTIPTAMYVAIAQAVLSQLASGRTTGIVMDSDGVHTHVPITYEGYLPHAILRLD	180	
		*****	*****	*****	
P60709	ACTB_HUMAN	181	AGRDLTDYLMKILTERGYSFTITAEREIVRDIKEKLCYVALDFQEMATAASSSSLEKSY	240	
P60711	ACTB_RAT	181	AGRDLTDYLMKILTERGYSFTITAEREIVRDIKEKLCYVALDFQEMATAASSSSLEKSY	240	
P60710	ACTB_MOUSE	181	AGRDLTDYLMKILTERGYSFTITAEREIVRDIKEKLCYVALDFQEMATAASSSSLEKSY	240	
P60706	ACTB_CHICK	181	AGRDLTDYLMKILTERGYSFTITAEREIVRDIKEKLCYVALDFQEMATAASSSSLEKSY	240	
O93400	ACTB_XENLA	181	AGRDLTDYLMKILTERGYSFTITAEREIVRDIKEKLCYVALDFQEMATAASSSSLEKSY	240	
Q5R1X3	ACTB_PANTR	181	AGRDLTDYLMKILTERGYSFTITAEREIVRDIKEKLCYVALDFQEMATAASSSSLEKSY	240	
		*****	*****	*****	
P60709	ACTB_HUMAN	241	EIDPGQVITIGNERFRCPEALFQPSFLGMESCGIHETTFN SIMKCDVDIRKDLYANTVLS	300	
P60711	ACTB_RAT	241	EIDPGQVITIGNERFRCPEALFQPSFLGMESCGIHETTFN SIMKCDVDIRKDLYANTVLS	300	
P60710	ACTB_MOUSE	241	EIDPGQVITIGNERFRCPEALFQPSFLGMESCGIHETTFN SIMKCDVDIRKDLYANTVLS	300	
P60706	ACTB_CHICK	241	EIDPGQVITIGNERFRCPEALFQPSFLGMESCGIHETTFN SIMKCDVDIRKDLYANTVLS	300	
O93400	ACTB_XENLA	241	EIDPGQVITIGNERFRCPEALFQPSFLGMESCGIHETTFN SIMKCDVDIRKDLYANTVLS	300	
Q5R1X3	ACTB_PANTR	241	EIDPGQVITIGNERFRCPEALFQPSFLGMESCGIHETTFN SIMKCDVDIRKDLYANTVLS	300	
		*****	*****	*****	
P60709	ACTB_HUMAN	301	GTTIMYPGLADRMQEITIALAPSTMKIKIIAPPERRYSVWIGGSILASLSIFQOMWISKQ	360	
P60711	ACTB_RAT	301	GTTIMYPGLADRMQEITIALAPSTMKIKIIAPPERRYSVWIGGSILASLSIFQOMWISKQ	360	
P60710	ACTB_MOUSE	301	GTTIMYPGLADRMQEITIALAPSTMKIKIIAPPERRYSVWIGGSILASLSIFQOMWISKQ	360	
P60706	ACTB_CHICK	301	GTTIMYPGLADRMQEITIALAPSTMKIKIIAPPERRYSVWIGGSILASLSIFQOMWISKQ	360	
O93400	ACTB_XENLA	301	GTTIMYPGLADRMQEITIALAPSTMKIKIIAPPERRYSVWIGGSILASLSIFQOMWISKQ	360	
Q5R1X3	ACTB_PANTR	301	GTTIMYPGLADRMQEITIALAPSTMKIKIIAPPERRYSVWIGGSILASLSIFQOMWISKQ	360	
		*****	*****	*****	
P60709	ACTB_HUMAN	361	EYDESGPSIVHRKCF	375	
P60711	ACTB_RAT	361	EYDESGPSIVHRKCF	375	
P60710	ACTB_MOUSE	361	EYDESGPSIVHRKCF	375	
P60706	ACTB_CHICK	361	EYDESGPSIVHRKCF	375	
O93400	ACTB_XENLA	361	EYDESGPSIVHRKCF	375	
Q5R1X3	ACTB_PANTR	361	EYDESGPSIVHRKCF	375	
		*****	*****	*****	



- Alignment
 Tree
 Result info

Highlight

Annotation

- Natural variant
- Chain
- Turn
- Cross-link
- Helix
- DNA binding
- ... more

Alignment

 How to print an alignment in color

P62805 H4_HUMAN	1	MSGRGKGGKGLGKGGAKRHRKVLRDNIQGITKPAIRRLARRGGVKRISGLIYEETRGVLK	60
P62801 H4_CHICK	1	MSGRGKGGKGLGKGGAKRHRKVLRDNIQGITKPAIRRLARRGGVKRISGLIYEETRGVLK	60
P62806 H4_MOUSE	1	MSGRGKGGKGLGKGGAKRHRKVLRDNIQGITKPAIRRLARRGGVKRISGLIYEETRGVLK	60
P84040 H4_DROME	1	MTGRGKGGKGLGKGGAKRHRKVLRDNIQGITKPAIRRLARRGGVKRISGLIYEETRGVLK	60

P62805 H4_HUMAN	61	VFLENVIRDAVTYTEHAKRKTVTAMDVVYALKRQGRTLIYGFGG	103
P62801 H4_CHICK	61	VFLENVIRDAVTYTEHAKRKTVTAMDVVYALKRQGRTLIYGFGG	103
P62806 H4_MOUSE	61	VFLENVIRDAVTYTEHAKRKTVTAMDVVYALKRQGRTLIYGFGG	103
P84040 H4_DROME	61	VFLENVIRDAVTYTEHAKRKTVTAMDVVYALKRQGRTLIYGFGG	103

You may add additional sequences to this alignment (in FASTA format)

Les gènes évoluent à des vitesse différentes: le gène H4 (un ‘petit’ gène) est particulièrement conservé (Histone H4: beaucoup d’acides aminés chargés positivement (en vert) pour interagir avec l’ADN chargé négativement)

P62805 H4_HUMAN	1	MSGRGKGGKGLGKGGAKRHRKVLRDNIQGITKPAIRRLARRGGVKRISGLIYEETRGVLK	60
P62801 H4_CHICK	1	MSGRGKGGKGLGKGGAKRHRKVLRDNIQGITKPAIRRLARRGGVKRISGLIYEETRGVLK	60
P62806 H4_MOUSE	1	MSGRGKGGKGLGKGGAKRHRKVLRDNIQGITKPAIRRLARRGGVKRISGLIYEETRGVLK	60
P84040 H4_DROME	1	MTGRGKGGKGLGKGGAKRHRKVLRDNIQGITKPAIRRLARRGGVKRISGLIYEETRGVLK	60

P62805 H4_HUMAN	61	VFLENVIRDAVTYTEHAKRKTVTAMDVVYALKRQGRTLIYGFGG	103
P62801 H4_CHICK	61	VFLENVIRDAVTYTEHAKRKTVTAMDVVYALKRQGRTLIYGFGG	103
P62806 H4_MOUSE	61	VFLENVIRDAVTYTEHAKRKTVTAMDVVYALKRQGRTLIYGFGG	103
P84040 H4_DROME	61	VFLENVIRDAVTYTEHAKRKTVTAMDVVYALKRQGRTLIYGFGG	103

MC1R

None

[Download](#) [Edit and resubmit](#)

Alignment

[How to print an alignment in color](#)

Protein ID	Organism	Sequence	Length
Q01726	MSHR_HUMAN	MAVQGSQRRLGSLNSTPTAIPOLGLAANQTGARCLEVSISDCLFLSLGLVSLVENALVV	60
Q01727	MSHR_MOUSE	MSTQEPOKSLLGSLNSNA--TSHGLATNQSEPWCLYVSPDGLFLSLGLVSLVENVLVV	58
Q9TUK4	MSHR_PANTR	MAVQGSQRRLGSLNSTPTAIPOLGLAANQTGARCLEVSISDCLFLSLGLVSLVENMLVV	60
P55167	MSHR_CHICK	MSMLAPLRLVREPWNAA--SEGNOSENATAGAGGAACQCLIDPNELELTGLVSLVENLLVV	58
Q01726	MSHR_HUMAN	ATTAKRNRLHSPEMYCFIGCLLAISDLILVSGSNVLETAVILLLEAGALIVAAAVIQQLDNVIT	120
Q01727	MSHR_MOUSE	IATIKRNRLHSPEMYFICCLLALSDLMWSVSIVLETTIILLLEAGILIVAAVVALVQQLDNLI	118
Q9TUK4	MSHR_PANTR	ATTIAKRNRLHSPEMYCFIGCLLAISDLILVSGSNVLETAVILLLEAGALIVAAAVIQQVDNVIT	120
P55167	MSHR_CHICK	AAILKRNRLHSPEMYFICCLLAVSDONLVSSENIAKILEMLMEHGVLVIVASIVRHDNVIT	118
Q01726	MSHR_HUMAN	DVITCCSMLSSICFLGAIAAVDRYISIFYALRYHSIVILPRARRAAVAAIMVAASVVFSTLFI	180
Q01727	MSHR_MOUSE	DVILCCSMVSSICFLGIIAIDRYSISIFYALRYHSIVILPRARRAVVGIMIVSIVSSTLFI	178
Q9TUK4	MSHR_PANTR	DVITCCSMLSSICFLGAIAAVDRYISIFYALRYHSIVILPRARRAAIAIMVAASVLFSTLFI	180
P55167	MSHR_CHICK	DMLICSSVVSISFLGVIAVDRYISIFYALRYHSIMTLQRAVVIIMASVILASTVSSTVLI	178
Q01726	MSHR_HUMAN	AYVDHVAVILLCIVVFLAMIILMAILVYVHMLARACOHACQTLHHRQRPVHQGFGLKGA	240
Q01727	MSHR_MOUSE	TVYKHATVLLCIVTFLAMIILMAILVYVHMLARACOHACQTLHHRRSIROGFGLKGA	238
Q9TUK4	MSHR_PANTR	AYCDHTAVILLCIVVFFLAVITENAVIVYVHMLARACOHACQTLHHRQRPVHQGFGLKGA	240
P55167	MSHR_CHICK	TYRNNAILLLCIGFFLNLVLMWLNIRHFLALCHHVRSISSQQE-QPIYRRISSLRGA	237
Q01726	MSHR_HUMAN	VTLTILLGIFFLCWGPFELHITLIVLCEHEHETCGCIEFKNENLFLALIIICNAIIDPLIYAF	300
Q01727	MSHR_MOUSE	ATLTILLGIFFLCWGDPFFLHITLIVLCEHEHETCGCIEFKNENLFLALIIICNAIIDPLIYAF	298
Q9TUK4	MSHR_PANTR	VTLTILLGIFFLCWGPFELHITLIVLCEHEHETCGCIEFKNENLFLALIIICNAIIDPLIYAF	300
P55167	MSHR_CHICK	VTLTILLGVEFFICWGPFELHITLIVTCBTFEFCIFESYFNLLILICNSVVDPLIYAF	297
Q01726	MSHR_HUMAN	HSGELRRRTLKEVILTCSW	317
Q01727	MSHR_MOUSE	RSQELRMILKEVILTCSW	315
Q9TUK4	MSHR_PANTR	HSGELRRRTLKEVILTCSW	317
P55167	MSHR_CHICK	PSQELRRRTLPEVULCSW	314

Les gènes évoluent à des vitesses différentes: MC1R évolue rapidement....

ACTB

!!!! Dans ce cas, l'alignement est très mauvais, et ne peut pas être interprété, car les séquences sont trop différentes (voir peut-être fausses (pas orthologues pour ARATH (ACTN11) ...))

Alignment

Tree

Result info

Highlight

Annotation

- Chain
- Natural variant
- Turn
- Beta strand
- Modified residue
- Sequence conflict
- Helix
- Compositional bias
- Cross-link
- Initiator methionine

Amino acid properties

- Similarity
- Hydrophobic
- Negative
- Positive
- Aliphatic
- Tiny
- Aromatic
-

Alignment

 How to print an alignment in color

P60709 ACTB_HUMAN	1 --MDDDI ALVVNDNGSGMC KAGFAG DDA PRAV FESIV G RPR RH QG VM VGM QKD SYVG DEA	58
P60711 ACTB_RAT	1 --MDDDI ALVVNDNGSGMC KAGFAG DDA PRAV FESIV G RPR RH QG VM VGM QKD SYVG DEA	58
P60710 ACTB_MOUSE	1 --MDDDI ALVVNDNGSGMC KAGFAG DDA PRAV FESIV G RPR RH QG VM VGM QKD SYVG DEA	58
P60706 ACTB_CHICK	1 --MDDDI ALVVNDNGSGMC KAGFAG DDA PRAV FESIV G RPR RH QG VM VGM QKD SYVG DEA	58
Q711N9 ACTB_MESAU	1 --MDDDI ALVVNDNGSGMC KAGFAG DDA PRAV FESIV G RPR RH QG VM VGM QKD SYVG DEA	58
O18840 ACTB_CANLF	1 --MDDDI ALVVNDNGSGMC KAGFAG DDA PRAV FESIV G RPR RH QG VM VGM QKD SYVG DEA	58
Q5R6G0 ACTB_PONAB	1 --MDDDI ALVVNDNGSGMC KAGFAG DDA PRAV FESIV G RPR RH QG VM VGM QKD SYVG DEA	58
P24005 ACTB_DICDI	1 -----MAETK VAPNL TDE IEQTKA---QSFT EKLSAFAM	31
P53496 ACT11_ARATH	1 MADGEDI QPLV C DNGT GMV KAGFAG DDA PRAV FESIV G RPR RHT C VM VGM QKD DAY VG DEA	60
P60712 ACTB_BOVIN	1 --MDDDI ALVVNDNGSGMC KAGFAG DDA PRAV FESIV G RPR RH QG VM VGM QKD SYVG DEA	58
P60709 ACTB_HUMAN	59 Q--SKRG IITLKYPIEHG I VTNN DDEMEKI W HHT F Y NELRV APEEEH P VLL TEA PLNP KANR	116
P60711 ACTB_RAT	59 Q--SKRG IITLKYPIEHG I VTNN DDEMEKI W HHT F Y NELRV APEEEH P VLL TEA PLNP KANR	116
P60710 ACTB_MOUSE	59 Q--SKRG IITLKYPIEHG I VTNN DDEMEKI W HHT F Y NELRV APEEEH P VLL TEA PLNP KANR	116
P60706 ACTB_CHICK	59 Q--SKRG IITLKYPIEHG I VTNN DDEMEKI W HHT F Y NELRV APEEEH P VLL TEA PLNP KANR	116
Q711N9 ACTB_MESAU	59 Q--SKRG IITLKYPIEHG I VTNN DDEMEKI W HHT F Y NELRV APEEEH P VLL TEA PLNP KANR	116
O18840 ACTB_CANLF	59 Q--SKRG IITLKYPIEHG I VTNN DDEMEKI W HHT F Y NELRV APEEEH P VLL TEA PLNP KANR	116
Q5R6G0 ACTB_PONAB	59 Q--SKRG IITLKYPIEHG I VTNN DDEMEKI W HHT F Y NELRV APEEEH P VLL TEA PLNP KANR	116
P24005 ACTB_DICDI	59 Q--SKRG IITLKYPIEHG I VTNN DDEMEKI W HHT F Y NELRV APEEEH P VLL TEA PLNP KANR	116
P53496 ACT11_ARATH	61 EFFCNVAKEPFSQOAVHFLINAYWAEVSK EAEF-----	63
P60712 ACTB_BOVIN	59 Q--SKRG IITLKYPIEHG I VTNN DDEMEKI W HHT F Y NELRV APEEEH P VLL TEA PLNP KANR	118
	59 Q--SKRG IITLKYPIEHG I VTNN DDEMEKI W HHT F Y NELRV APEEEH P VLL TEA PLNP KANR	116
	: : . * : . * : : * : : * : ..	
P60709 ACTB_HUMAN	117 E K M T Q I M F E T F N T P A M Y V A I Q A V L S L Y A S G R T T G I V M D S G D G V T H T V P I Y E G Y A I P H A I L	176
P60711 ACTB_RAT	117 E K M T Q I M F E T F N T P A M Y V A I Q A V L S L Y A S G R T T G I V M D S G D G V T H T V P I Y E G Y A I P H A I L	176
P60710 ACTB_MOUSE	117 E K M T Q I M F E T F N T P A M Y V A I Q A V L S L Y A S G R T T G I V M D S G D G V T H T V P I Y E G Y A I P H A I L	176
P60706 ACTB_CHICK	117 E K M T Q I M F E T F N T P A M Y V A I Q A V L S L Y A S G R T T G I V M D S G D G V T H T V P I Y E G Y A I P H A I L	176
Q711N9 ACTB_MESAU	117 E K M T Q I M F E T F N T P A M Y V A I Q A V L S L Y A S G R T T G I V M D S G D G V T H T V P I Y E G Y A I P H A I L	176
O18840 ACTB_CANLF	117 E K M T Q I M F E T F N T P A M Y V A I Q A V L S L Y A S G R T T G I V M D S G D G V T H T V P I Y E G Y A I P H A I L	176
Q5R6G0 ACTB_PONAB	117 E K M T Q I M F E T F N T P A M Y V A I Q A V L S L Y A S G R T T G I V M D S G D G V T H T V P I Y E G Y A I P H A I L	176
P24005 ACTB_DICDI	64 --I Y S V G W E T I K Y A D M H -----CKG I Q L V E F K Y D E G N D L D F D I A L Y F Y E Q C K -- F	109
P53496 ACT11_ARATH	119 E K M T Q I M F E T F N T P A M Y V A I Q A V L S L Y A S G R T T G I V L D 3 G D G V S H T V P I Y E G Y A I P H A I L	178
P60712 ACTB_BOVIN	117 E K M T Q I M F E T F N T P A M Y V A I Q A V L S L Y A S G R T T G I V M D S G D G V T H T V P I Y E G Y A I P H A I L	176
	: : . * : : * : .. * : : * : .. : * : * : ..	

Activité 1.2

‘Voir’ l’unicité/diversité en comparant des séquences de protéines (2) (Align@UniProt)

‘Voir’ l’évolution en comparant des séquences de protéines....

Autre approche en partant des sets de séquences de protéines disponibles ici:
http://education.expasy.org/bioinformatique/Sequences/Liste_prot_evol.html

‘Voir’ l’évolution en comparant des séquences de protéines....

Sélectionner un set de séquence (format fasta)

[Choisir les séquences en fonction des espèces](http://education.expasy.org/bioinformatique/Sequences>Liste_prot_evol.html</p></div><div data-bbox=)

Liste des codes des espèces utilisée dans UniProtKB: <http://www.uniprot.org/docs/speclist>

Proposition: ajouter au fur et à mesure les séquences de protéines d’espèces de plus en plus éloignées du point de vue de l’évolution ...

Coller les séquences sur le site www.uniprot.org/align

Cliquer sur ‘Run Align’

Depuis la page de résultats, à gauche: cliquer sur ‘Similarity’

Enlever manuellement les séquences qui posent problème (trop différentes).

ACTB

primates

P60709 ACTB_HUMAN
 Q5R1X3 ACTB_PANTR
 Q5R6G0 ACTB_PONAB

1 MDDDI AALVVVDNGSGMCKAGFAGDDAPRAVFP SIVGRPRHQGV MVGMGQKD SYVGDEAQS
 1 MDDDI AALVVVDNGSGMCKAGFAGDDAPRAVFP SIVGRPRHQGV MVGMGQKD SYVGDEAQS
 1 MDDDI AALVVVDNGSGMCKAGFAGDDAPRAVFP SIVGRPRHQGV MVGMGQKD SYVGDEAQS

P60709 ACTB_HUMAN
 Q5R1X3 ACTB_PANTR
 Q5R6G0 ACTB_PONAB

61 KRGILT LKYP IEHG IGV TNW DMEKI WHT FYN ELRV APE EH PVLL TEA PLNP KAN REK MT
 61 KRGILT LKYP IEHG IGV TNW DMEKI WHT FYN ELRV APE EH PVLL TEA PLNP KAN REK MT
 61 KRGILT LKYP IEHG IGV TNW DMEKI WHT FYN ELRV APE EH PVLL TEA PLNP KAN REK MT

P60709 ACTB_HUMAN
 Q5R1X3 ACTB_PANTR
 Q5R6G0 ACTB_PONAB

121 QIMFET FNT PAMY VAI QAVL SLY ASG RTT GIV MDS GDGV TH TVP IYEG Y ALPHAI RL LD L
 121 QIMFET FNT PAMY VAI QAVL SLY ASG RTT GIV MDS GDGV TH TVP IYEG Y ALPHAI RL LD L
 121 QIMFET FNT PAMY VAI QAVL SLY ASG RTT GIV MDS GDGV TH TVP IYEG Y ALPHAI RL LD L

P60709 ACTB_HUMAN
 Q5R1X3 ACTB_PANTR
 Q5R6G0 ACTB_PONAB

181 AGRDL TDYL MKIL TERG YSF TTAERE I VRDI KEKL CYVAL DFEQ EMATA ASSS LEK SY
 181 AGRDL TDYL MKIL TERG YSF TTAERE I VRDI KEKL CYVAL DFEQ EMATA ASSS LEK SY
 181 AGRDL TDYL MKIL TERG YSF TTAERE I VRDI KEKL CYVAL DFEQ EMATA ASSS LEK SY

P60709 ACTB_HUMAN
 Q5R1X3 ACTB_PANTR
 Q5R6G0 ACTB_PONAB

241 ELPDGQ VITIGN ERFC PEAL FQPSFL GMESCGI HETTF NSIM KCDV DIRK DL YANTV LS
 241 ELPDGQ VITIGN ERFC PEAL FQPSFL GMESCGI HETTF NSIM KCDV DIRK DL YANTV LS
 241 ELPDGQ VITIGN ERFC PEAL FQPSFL GMESCGI HETTF NSIM KCDV DIRK DL YANTV LS

P60709 ACTB_HUMAN
 Q5R1X3 ACTB_PANTR
 Q5R6G0 ACTB_PONAB

301 GGTT MYP GIAD RMQ KE ITAL APST MKI KII APPER KY SVW IGG SI LAS LST FQQ MWIS KQ
 301 GGTT MYP GIAD RMQ KE ITAL APST MKI KII APPER KY SVW IGG SI LAS LST FQQ MWIS KQ
 301 GGTT MYP GIAD RMQ KE ITAL APST MKI KII APPER KY SVW IGG SI LAS LST FQQ MWIS KQ

P60709 ACTB_HUMAN
 Q5R1X3 ACTB_PANTR
 Q5R6G0 ACTB_PONAB

361 EYDE SGPSIV HRK CF
 361 EYDE SGPSIV HRK CF
 361 EYDE SGPSIV HRK CF

ACTB

mammifères

P60709	ACTB_HUMAN	61	KRGILTTLKYPPIEHGIVTNWDDMEKIWHHTFYNELRVAPEEHPVLLTEAPLNP KANREKMT
Q5R1X3	ACTB_PANTR	61	KRGILTTLKYPPIEHGIVTNWDDMEKIWHHTFYNELRVAPEEHPVLLTEAPLNP KANREKMT
Q5R6G0	ACTB_PONAB	61	KRGILTTLKYPPIEHGIVTNWDDMEKIWHHTFYNELRVAPEEHPVLLTEAPLNP KANREKMT
P60711	ACTB_RAT	61	KRGILTTLKYPPIEHGIVTNWDDMEKIWHHTFYNELRVAPEEHPVLLTEAPLNP KANREKMT
Q0PGG4	ACTB_BOSMU	61	KRGILTTLKYPPIEHGIVTNWDDMEKIWHHTFYNELRVAPEEHPVLLTEAPLNP KANREKMT
P60712	ACTB_BOVIN	61	KRGILTTLKYPPIEHGIVTNWDDMEKIWHHTFYNELRVAPEEHPVLLTEAPLNP KANREKMT
P48975	ACTB_CRIGR	61	KRGILTTLKYPPIEHGIVTNWDDMEKIWHHTFYNELRVAPEEHPVLLTEAPLNP KANREKMT
<hr/>			
P60709	ACTB_HUMAN	121	QIMFETFNTPAMYVAIQAVALSLYASGRRTGIVMDSDGVTHTVPIYEGYALPHAILRLDL
Q5R1X3	ACTB_PANTR	121	QIMFETFNTPAMYVAIQAVALSLYASGRRTGIVMDSDGVTHTVPIYEGYALPHAILRLDL
Q5R6G0	ACTB_PONAB	121	QIMFETFNTPAMYVAIQAVALSLYASGRRTGIVMDSDGVTHTVPIYEGYALPHAILRLDL
P60711	ACTB_RAT	121	QIMFETFNTPAMYVAIQAVALSLYASGRRTGIVMDSDGVTHTVPIYEGYALPHAILRLDL
Q0PGG4	ACTB_BOSMU	121	QIMFETFNTPAMYVAIQAVALSLYASGRRTGIVMDSDGVTHTVPIYEGYALPHAILRLDL
P60712	ACTB_BOVIN	121	QIMFETFNTPAMYVAIQAVALSLYASGRRTGIVMDSDGVTHTVPIYEGYALPHAILRLDL
P48975	ACTB_CRIGR	121	QIMFETFNTPAMYVAIQAVALSLYASGRRTGIVMDSDGVTHTVPIYEGYALPHAILRLDL
<hr/>			
P60709	ACTB_HUMAN	181	AGRDLTDYLMKILTERGSFTTTAEREIVRDIKEKLCYVALDFEQEMATAASSSSLEKS Y
Q5R1X3	ACTB_PANTR	181	AGRDLTDYLMKILTERGSFTTTAEREIVRDIKEKLCYVALDFEQEMATAASSSSLEKS Y
Q5R6G0	ACTB_PONAB	181	AGRDLTDYLMKILTERGSFTTTAEREIVRDIKEKLCYVALDFEQEMATAASSSSLEKS Y
P60711	ACTB_RAT	181	AGRDLTDYLMKILTERGSFTTTAEREIVRDIKEKLCYVALDFEQEMATAASSSSLEKS Y
Q0PGG4	ACTB_BOSMU	181	AGRDLTDYLMKILTERGSFTTTAEREIVRDIKEKLCYVALDFEQEMATAASSSSLEKS Y
P60712	ACTB_BOVIN	181	AGRDLTDYLMKILTERGSFTTTAEREIVRDIKEKLCYVALDFEQEMATAASSSSLEKS Y
P48975	ACTB_CRIGR	181	AGRDLTDYLMKILTERGSFTTTAEREIVRDIKEKLCYVALDFEQEMATAASSSSLEKS Y
<hr/>			
P60709	ACTB_HUMAN	241	ELPDGQVITIGNERFRCPPEALFQPSFLGMESCGIHETTFNSIMKCDVDIRKDLYANTVLS
Q5R1X3	ACTB_PANTR	241	ELPDGQVITIGNERFRCPPEALFQPSFLGMESCGIHETTFNSIMKCDVDIRKDLYANTVLS
Q5R6G0	ACTB_PONAB	241	ELPDGQVITIGNERFRCPPEALFQPSFLGMESCGIHETTFNSIMKCDVDIRKDLYANTVLS
P60711	ACTB_RAT	241	ELPDGQVITIGNERFRCPPEALFQPSFLGMESCGIHETTFNSIMKCDVDIRKDLYANTVLS
Q0PGG4	ACTB_BOSMU	241	ELPDGQVITIGNERFRCPPEALFQPSFLGMESCGIHETTFNSIMKCDVDIRKDLYANTVLS
P60712	ACTB_BOVIN	241	ELPDGQVITIGNERFRCPPEALFQPSFLGMESCGIHETTFNSIMKCDVDIRKDLYANTVLS
P48975	ACTB_CRIGR	241	ELPDGQVITIGNERFRCPPEALFQPSFLGMESCGIHETTFNSIMKCDVDIRKDLYANTVLS
<hr/>			
P60709	ACTB_HUMAN	301	GGTTMYPGIADRMOKEITALAPSTMKIKIIAPPERKYSVWIGGSILASLSTFQQMWISKO
Q5R1X3	ACTB_PANTR	301	GGTTMYPGIADRMOKEITALAPSTMKIKIIAPPERKYSVWIGGSILASLSTFQQMWISKO
Q5R6G0	ACTB_PONAB	301	GGTTMYPGIADRMOKEITALAPSTMKIKIIAPPERKYSVWIGGSILASLSTFQQMWISKO
P60711	ACTB_RAT	301	GGTTMYPGIADRMOKEITALAPSTMKIKIIAPPERKYSVWIGGSILASLSTFQQMWISKO
Q0PGG4	ACTB_BOSMU	301	GGTTMYPGIADRMOKEITALAPSTMKIKIIAPPERKYSVWIGGSILASLSTFQQMWISKO
P60712	ACTB_BOVIN	301	GGTTMYPGIADRMOKEITALAPSTMKIKIIAPPERKYSVWIGGSILASLSTFQQMWISKO
P48975	ACTB_CRIGR	301	GGTTMYPGIADRMOKEITALAPSTMKIKIIAPPERKYSVWIGGSILASLSTFQQMWISKO
<hr/>			
P60709	ACTB_HUMAN	361	EYDESGPSIVHRKCF
Q5R1X3	ACTB_PANTR	361	EYDESGPSIVHRKCF
Q5R6G0	ACTB_PONAB	361	EYDESGPSIVHRKCF
P60711	ACTB_RAT	361	EYDESGPSIVHRKCF
Q0PGG4	ACTB_BOSMU	361	EYDESGPSIVHRKCF
P60712	ACTB_BOVIN	361	EYDESGPSIVHRKCF
P48975	ACTB_CRIGR	361	EYDESGPSIVHRKCF
<hr/>			

ACTB

Vertébrés + plante

P60709 ACTB_HUMAN	179	DLAGRDLTDYLMKILTERGYSFTTAEREIVRDIKEKL CYVALDFEQEMATAASSSLEK	238
Q5R1X3 ACTB_PANTR	179	DLAGRDLTDYLMKILTERGYSFTTAEREIVRDIKEKL CYVALDFEQEMATAASSSLEK	238
Q5R6G0 ACTB_PONAB	179	DLAGRDLTDYLMKILTERGYSFTTAEREIVRDIKEKL CYVALDFEQEMATAASSSLEK	238
P60711 ACTB_RAT	179	DLAGRDLTDYLMKILTERGYSFTTAEREIVRDIKEKL CYVALDFEQEMATAASSSLEK	238
Q0PGG4 ACTB_BOSMU	179	DLAGRDLTDYLMKILTERGYSFTTAEREIVRDIKEKL CYVALDFEQEMATAASSSLEK	238
P60712 ACTB_BOVIN	179	DLAGRDLTDYLMKILTERGYSFTTAEREIVRDIKEKL CYVALDFEQEMATAASSSLEK	238
P48975 ACTB_CRIGR	179	DLAGRDLTDYLMKILTERGYSFTTAEREIVRDIKEKL CYVALDFEQEMATAASSSLEK	238
P60706 ACTB_CHICK	179	DLAGRDLTDYLMKILTERGYSFTTAEREIVRDIKEKL CYVALDFEQEMATAASSSLEK	238
Q6P378 ACTG_XENTR	179	DLAGRDLTDYLMKILTERGYSFTTAEREIVRDIKEKL CYVALDFEQEMATAASSSLEK	238
Q6NVA9 ACTB_XENTR	179	DLAGRDLTDYLMKILTERGYSFTTAEREIVRDIKEKL CYVALDFEQEMATAASSSLEK	238
P30171 ACT11_SOLTU	181	DLAGRDLTD SL YLMKILTERGYSFTTSAREIVRDVKEKL AIALDYEQELETSKTSSVEK	240
*****:*****:*****:*****:*****:*****:*****:*****:*****:*****:*****:			
P60709 ACTB_HUMAN	239	SYELPDGQVITIGNERFRCPEALFQPSFLGMESCGIHETTFN SIMKCDVDIRKDLYANTV	298
Q5R1X3 ACTB_PANTR	239	SYELPDGQVITIGNERFRCPEALFQPSFLGMESCGIHETTFN SIMKCDVDIRKDLYANTV	298
Q5R6G0 ACTB_PONAB	239	SYELPDGQVITIGNERFRCPEALFQPSFLGMESCGIHETTFN SIMKCDVDIRKDLYANTV	298
P60711 ACTB_RAT	239	SYELPDGQVITIGNERFRCPEALFQPSFLGMESCGIHETTFN SIMKCDVDIRKDLYANTV	298
Q0PGG4 ACTB_BOSMU	239	SYELPDGQVITIGNERFRCPEALFQPSFLGMESCGIHETTFN SIMKCDVDIRKDLYANTV	298
P60712 ACTB_BOVIN	239	SYELPDGQVITIGNERFRCPEALFQPSFLGMESCGIHETTFN SIMKCDVDIRKDLYANTV	298
P48975 ACTB_CRIGR	239	SYELPDGQVITIGNERFRCPEALFQPSFLGMESCGIHETTFN SIMKCDVDIRKDLYANTV	298
P60706 ACTB_CHICK	239	SYELPDGQVITIGNERFRCPEALFQPSFLGMESCGIHETTFN SIMKCDVDIRKDLYANTV	298
Q6P378 ACTG_XENTR	239	SYELPDGQVITIGNERFRCPEALFQPSFLGMESCGIHETTFN SIMKCDVDIRKDLYANTV	298
Q6NVA9 ACTB_XENTR	239	SYELPDGQVITIGNERFRCPEALFQPSFLGMESCGIHETTYN SIMKCDVDIRKDLYANTV	298
P30171 ACT11_SOLTU	241	SYELPDGQVITIGAERFRCPEVL FQPSMIGRAAGIHETTYN SIMKCDVDIRKDLYGNIV	300
*****:*****:*****:*****:*****:*****:*****:*****:*****:*****:*****:*****:*****:*****:*****:*****:			
P60709 ACTB_HUMAN	299	LSGGTTM PGIADRMOKEITALAPSTM KIKII APPERKYSVWIGGSILASLSTFQQMWIS	358
Q5R1X3 ACTB_PANTR	299	LSGGTTM PGIADRMOKEITALAPSTM KIKII APPERKYSVWIGGSILASLSTFQQMWIS	358
Q5R6G0 ACTB_PONAB	299	LSGGTTM PGIADRMOKEITALAPSTM KIKII APPERKYSVWIGGSILASLSTFQQMWIS	358
P60711 ACTB_RAT	299	LSGGTTM PGIADRMOKEITALAPSTM KIKII APPERKYSVWIGGSILASLSTFQQMWIS	358
Q0PGG4 ACTB_BOSMU	299	LSGGTTM PGIADRMOKEITALAPSTM KIKII APPERKYSVWIGGSILASLSTFQQMWIS	358
P60712 ACTB_BOVIN	299	LSGGTTM PGIADRMOKEITALAPSTM KIKII APPERKYSVWIGGSILASLSTFQQMWIS	358
P48975 ACTB_CRIGR	299	LSGGTTM PGIADRMOKEITALAPSTM KIKII APPERKYSVWIGGSILASLSTFQQMWIS	358
P60706 ACTB_CHICK	299	LSGGTTM PGIADRMOKEITALAPSTM KIKII APPERKYSVWIGGSILASLSTFQQMWIS	358
Q6P378 ACTG_XENTR	299	LSGGTTM PGIADRMOKEITALAPSTM KIKII APPERKYSVWIGGSILASLSTFQQMWIS	358
Q6NVA9 ACTB_XENTR	299	LSGGTTM PGIADRMOKEITALAPSTM KIKII APPERKYSVWIGGSILASLSTFQQMWIS	358
P30171 ACT11_SOLTU	301	LSGGTTMF PGIADRMOKEITALAPSSM KIKVV APPERKYSVWIGGSILASLSTFQQMWIA	360
*****:*****:*****:*****:*****:*****:*****:*****:*****:*****:*****:*****:*****:*****:*****:*****:			
P60709 ACTB_HUMAN	359	KQEYDESGPSIVHRKCF	375
Q5R1X3 ACTB_PANTR	359	KQEYDESGPSIVHRKCF	375
Q5R6G0 ACTB_PONAB	359	KQEYDESGPSIVHRKCF	375
P60711 ACTB_RAT	359	KQEYDESGPSIVHRKCF	375
Q0PGG4 ACTB_BOSMU	359	KQEYDESGPSIVHRKCF	375
P60712 ACTB_BOVIN	359	KQEYDESGPSIVHRKCF	375
P48975 ACTB_CRIGR	359	KQEYDESGPSIVHRKCF	375
P60706 ACTB_CHICK	359	KQEYDESGPSIVHRKCF	375
Q6P378 ACTG_XENTR	359	KQEYDESGPSIVHRKCF	375
Q6NVA9 ACTB_XENTR	359	KQEYDESGPSIVHRKCF	375
P30171 ACT11_SOLTU	361	KAEYDESGPSIVHRKCF	377
*****:*****:*****:*****:*****:*****:*****:*****:*****:*****:*****:*****:*****:*****:*****:*****:			

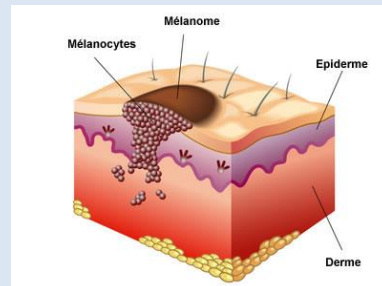
(1) Variations inter-espèces



(2) Variations intra-espèce (humain)



(3) Variations intra-individu (somatiques)



(2) Variation intra-espèces

- Génome de référence
- Variations génétiques

Génomes humains ‘en ligne’

- **Genome Reference Consortium (GRCh)**- public (13 individus) (génomes nucléaire + mitochondrial)
- **Craig Venter** – Celera (génome nucléaire)
- **Néanderthal** (génome mitochondrial)

En 2001, les revues Nature et Science publiaient une première analyse de la séquence du génome humain.

Genome Reference Consortium (GRCh)

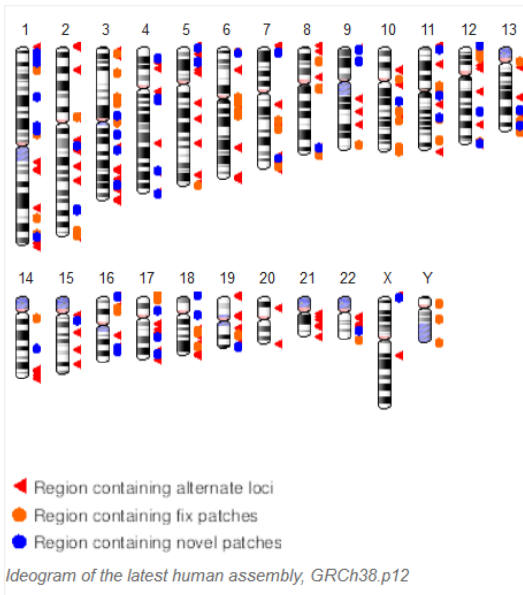
“As they are often assembled from the sequencing of DNA from a number of donors, reference genomes do not accurately represent the set of genes of any single person.

Instead a reference provides a haploid mosaic of different DNA sequences from each donor. For example, *GRCh38*, the Genome Reference Consortium human genome (build 38) is derived from **thirteen anonymous volunteers** from Buffalo, New York.

The ABO blood group system differs among humans, but the human reference genome contains only an O allele (**although the other alleles are annotated**). ”

Human Genome Overview

Information about the continuing improvement of the human genome



The GRC is working hard to provide the best possible reference assembly for human. We do this by both generating multiple representations ([alternate loci](#)) for regions that are too complex to be represented by a single path. Additionally, we are releasing regional fixes known as [patches](#). This allows users who are interested in a specific locus to get an improved representation without affecting users who need chromosome coordinate stability.

Download data:

- [GRCh38.p12 \(latest minor release\) FTP](#)
- [GRCh38 \(latest major release\) FTP](#)
- [Genomic regions under review FTP](#)
- [Current Tiling Path Files \(TPFs\)](#)

Transitioning to GRCh38? Try the [NCBI Remapping Service](#), which uses the same assembly-alignment alignments used by the GRC.

Next assembly update

The GRC will review data for the next assembly update in summer 2018.

GRC News

[GRCh38.p11: Clinically Relevant Updates to SLC39A4](#)

Sep 13, 2017

[GRCh38.p11: Update to GCNT2](#)

Jul 11, 2017

[see all](#)

Resolved Human Issues

[HG-2087](#)

Jan 19, 2018

HuRef contig ABBA01054858.1 corrects an approximately 3kb deletion in NC_000017.11 component AC026954.14.

[HG-2179](#)

Jan 19, 2018

CHM13 component LDOC03008379.1 (GCA_001015385.3) agrees with reference component AP002981.2, suggesting this is

[see all](#)

<https://www.ncbi.nlm.nih.gov/grc/human>

Chromosome 21

le plus petit chromosome humain

~ 1.6 cm d'ADN

46'709'983 nucléotides

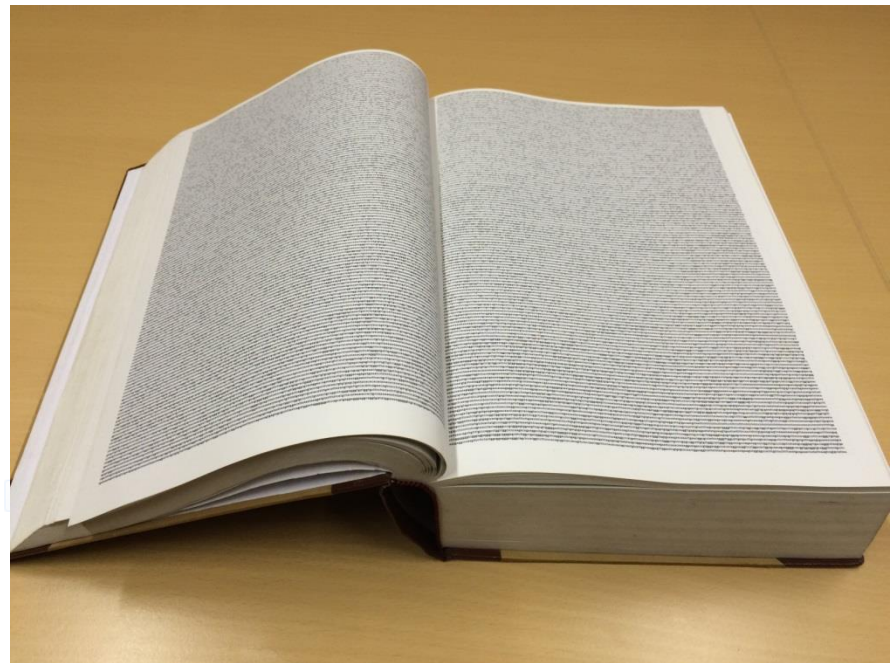
1470 pages

248 nucléotides par ligne

31'775 nucléotides par page



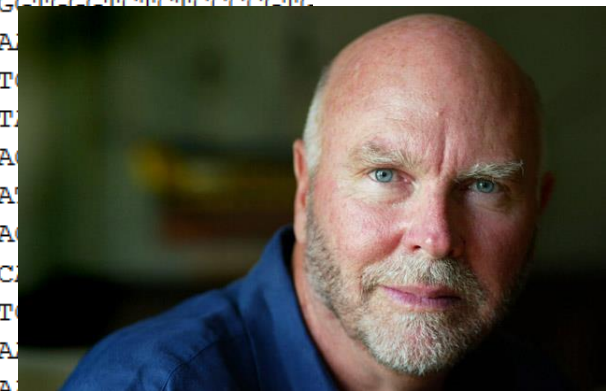
Tous les chromosomes: 3'096'649'726 nucléotides



Swiss Institute of
Bioinformatics

Genome Craig Venter

```
TCCACACGCTCCTGCGGCCTCATGGGTGTAGGGTCCAGCCCCACAGGGTCGCTGCCCTCTCCCCCTG  
GCAGAGACGAGAGAGTGTAGAAATAAAGACACAAGACAAAGAGATTAAAAAA  
GGACCACCTACCACCAATGCGCGGAGACCGGTAGTGGCCCCGAATGTCTGGCT  
TACAAGGCAAAAGGGGCAGGGTAAAGAGTGTGAGTCATCTCCAATGATAGAT  
TGTCCACTGGACAGGGGCCCTCCCTGCCTGGCAGCCGAGGCAGAGAGGGAA  
ATAGCTTACGCCATTATTTGTATATTAGAGACGTTAGTAGTTCACTAA  
AAGGCAGAGCCAGGTGCACAGGATGGAACATGAAGGAGGACTAGGAGCGTGA  
ACAGGGAGACGGTTAGGCCTCCGGATAACTGCGGGCAGGTCTGACTGATGTC  
GGAGGAGCAGAGTCTTCTCTAAACTCCCCGGGAAAGGGAGCCCTCCTT  
GGGTGTTTCTTGACACTTACGCTACCGCTAGACCACGGTCCGTTGGCA  
GCTGGCATCACCGCTAGACCAAGGAGCCCTCTAGTGGCCTGTCCGGCATA  
TGTCTCTGGTCACTCCTCACTATGTCCCTCAGCTCCTATCTCTGTATGCCCTGGTTTCTAGTT  
TGATTATAGAGCGAGGATTGTTATAATATTGGAATAAAAGAGTAATTGCTACAAACTAATGATTAATGAT  
TTCATATATAATCATATCTAACGATCTATATCTGGTGTAACTATTTTATTTTATTTTACTGG  
ACAGCTCGTGTCCCTCAGTCTTGCCTCGGCACCTGGGTGGCTTGCCTGCCACAATGGCAGCTTATT  
TCAGGGAAAGGCCTTGTCTCCACACCTGTGGGTGAAGACCATGGGATGCTTGCCTCAACAGGCAAG  
CCAACAATTCACCTTCACTCCCTCCAGGAACACCAAGCTCCAGCTCAGAGTCATGGCCTCGCT  
ACAGGGACGTACACTACCCGCTCTGTGGGGGCATCGTGTGGCTGGACTTGCTGAGCAGAAAGTAGC  
GCTGCCCTCAACACCTCCCTAGAGCATCTGCGAGCCGAACACCTGGGCCACGCCTCCGGCACGTCTA  
GGACCCAGTGGTCCATCCCTCCAAAGCACAAGGCAAGTGGCTACCTCAGTCCCTCCACGAAGAA  
GAGGCACGATGCCTAGTGCTGTAGGTCCATGTTATTGGGAAGCAACTTGCCTATTGGAAGTGC
```



<http://www.ncbi.nlm.nih.gov/nuccore/71514639?report=fasta>

This is part of the sequence of Craig Venter chromosome 11
(GenBank database; 3'852'046 bp over 135'006'516 bp)

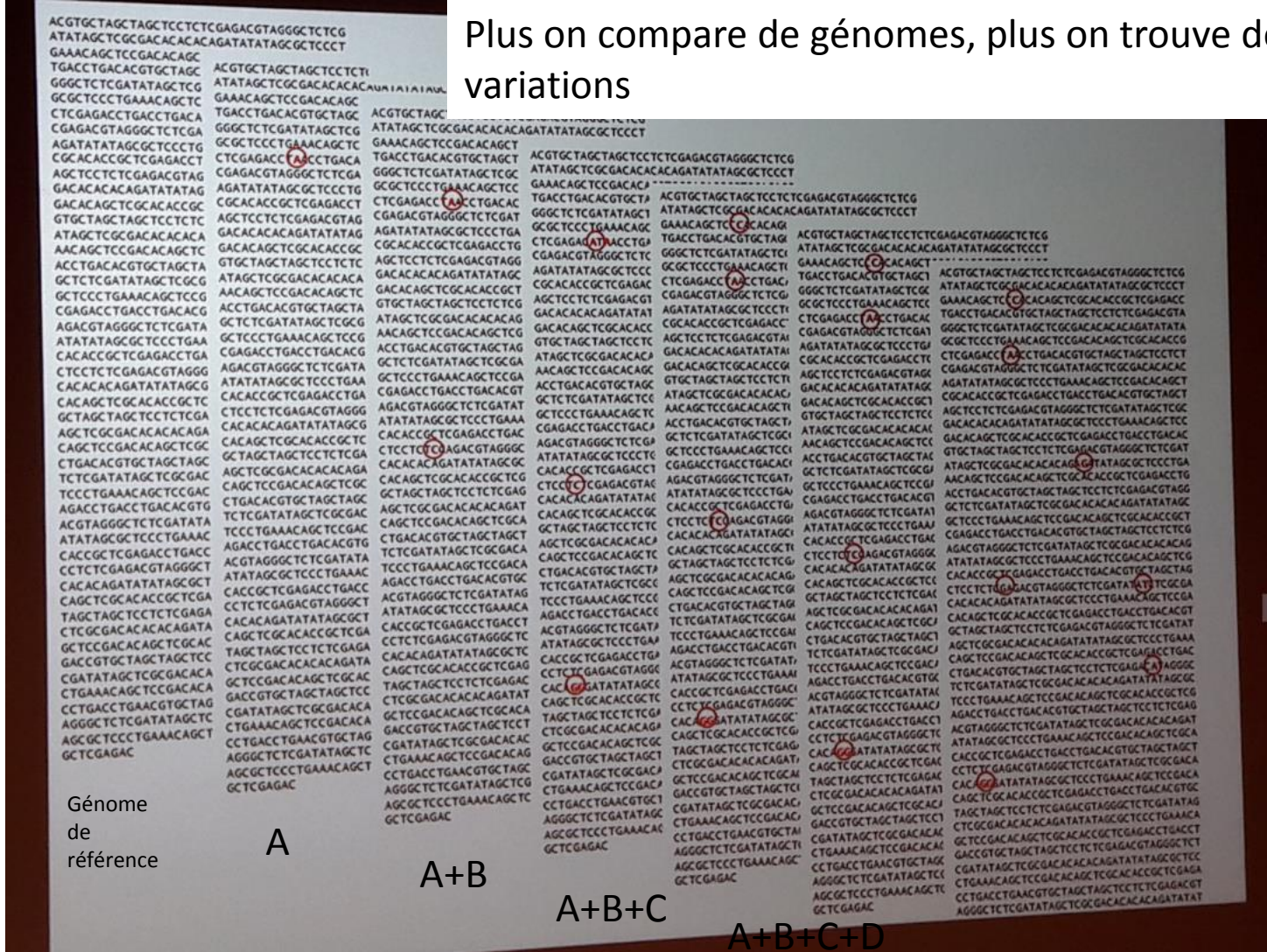
Neanderthal: ADN mitochondrial

GATCACAGGTCTATCACCTATTAAACCACTCACGGGAGCTCTCCATGCATTGGTATTCGTCTGGGG
GTGTGCACGCGATAGCATTGCGAGACGCTGGAGCCGGAGCACCCATGTCGAGTATCTGTCTTGATT
CTGCCCTTCCATTATTATCGCACCTACGTTCAATATTACAGGGAGCATACTTAACAGTGTGTTA
ATTAATTAATGCTTAGGACATAATAACGACTAAATGTCTGCACAGCTGCTTCCACACAGACATC
ATAACAAAAATTCCACCAAACCCCCCTCCCCGCTCTGGCCACAGCACTAAACACATCTGCCA
AACCCAAAAACAAAGAACCTAACACCAGCCTAACAGATTTCAAATTATCTTTGGCGGTATACAC
TTTAACAGTCACCCCTAACTAACACATTATTTCCCCTCCCACTCCATACTACTAACTCATCAATA
CAACCCCCGCCATCCTACCCAGCACACACCGCTGCTAACCCATACCCGAGCCAACCAAACCCAAAG
ACACCCCCCACAGTTATGTAGCTTACCTCCTCAAAGCAATACACTGAAAATGTTAGACGGGCTCACAT
CACCCATAAACAAATAGTTGGTCCTAGCCTTCTATTAGCTCTTAGTAAGATTACACATGCAAGCAT
CCCCATTCCAGTGAGTTAACCTCTAAATCACCACGATCAAAGGGACAAGCATCAAGCACGCAACATG
CAGCTCAAACGCTTAGCCTAGCCACACCCCCACGGGAAACAGCAGTGATAAGCCTTAGCAATAAACGA
AAGTTAACTAAGCTATACTAACCCAGGGTGGTCAATTCTGCCAGCCACCGCGGTACACGATTAA
CCCAAGTCATAGAACGCCGGTAAAGAGTGTGTTAGATCACCCCTCCCCAATAAGCTAAAACCTACC
TGAGTTGTAAAAACCTCCAGTTGACACAAAATAACTACGAAAGTGGCTTAACATATCTGAACACACAA
TAGCTAACGACCCAAACTGGGATTAGATACCCACTATGCTTAGCCCTAACACTCAACAGTTAAATCAACA
AAACTGCTGCCAGAACACTACGAGCCACAGCTAAAACTCAAAGGACCTGGCGGTGCTCATATCCCTC
TAGAGGAGCCTGTTGTAATCGATAAACCCGATCAACCTCACCACTCTGCTCAGCCTATATACCGC
CATCTTCAGCAAACCTGATGAAGGCTACAAAGTAAGCGCAAGTACCCACGTAAAGACGTTAGGTCAAGG
TGTAGCCCAGGGTGGCAAGAAATGGGCTACATTCTACCCAGAAAACGATAGCCCTATGAAA
CCTAAGGGTCAAGGGATTAGCAGTAAACTGAGAGTAGAGTGCTTAGTTGAACAGGGCCCTGAAGCG
CGTACACACCGCCCGTCACCCTCTCAAGTATACTCAAAGGACATTAACTAAACCCCTACGCATT
TATAGAGGAGACAAGTCGTAACATGGTAAGTGTACTGGAAAGTGCACGGACGAACAGAGTGTAGCTT
AACACAAAG <http://www.ncbi.nlm.nih.gov/nuccore/196123578?report=fasta>

(2) Variation intra-espèces

- Génome de référence
- **Variations génétiques**

- Toutes les séquences des génomes humains ne sont pas disponibles en ligne (seulement les génomes de référence)
- Toutes les variations sont rapportées au génome de référence



- Taux de mutation à chaque génération: $1/10^8$
- En moyenne un nouveau-né porte entre 50 et 100 ‘nouvelles mutations’
- Ces mutations sont importantes: possibilité d’évolution et d’adaptation (i.e. résistance au HIV)
- Un prix à payer: nouvelles pathologies

- **Homozygote**
 - Si les deux locus ont chacun un allèle mutant différent, on parle d'« hétérozygote *composite* »
- **Hétérozygote**
- A mutation affecting only one allele is called *heterozygous*. A *homozygous* mutation is the presence of the identical mutation on both alleles of a specific gene. However, when both alleles of a gene harbor mutations, but the mutations are different, these mutations are called *compound heterozygous*.

Clinical significance value (n=5)

GWAS, génétique des populations, analyse fonctionnelle

Clinical significance value	Guidance for use in ClinVar SCV records	
Benign	As recommended by ACMG/AMP for variants interpreted for Mendelian disorders.	
Likely benign	As recommended by ACMG/AMP for variants interpreted for Mendelian disorders.	90%
Uncertain significance	As recommended by ACMG/AMP for variants interpreted for Mendelian disorders.	(VUS)
Likely pathogenic	As recommended by ACMG/AMP for variants interpreted for Mendelian disorders.	90%
Pathogenic	As recommended by ACMG/AMP for variants interpreted for Mendelian disorders. Variants that have low penetrance may be submitted as "Pathogenic"; please also include information about the penetrance in a "Comment on clinical significance".	
drug response	A general term for a variant that affects a drug response, not a disease. We anticipate adding more specific drug response terms based on a recommendation by CPIC .	
association	For variants identified in a GWAS study and further interpreted for their clinical significance.	
risk factor	For variants that are interpreted not to cause a disorder but to increase the risk.	
protective	For variants that decrease the risk of a disorder, including infections.	
Affects	For variants that cause a non-disease phenotype, such as lactose intolerance.	

<https://www.ncbi.nlm.nih.gov/clinvar/docs/clinsig/>



- More than 10,000 monogenic inherited disorders have been identified, affecting millions of people worldwide.
- The global prevalence of all single gene diseases at birth is approximately 10/1000.
- In Canada, it has been estimated that taken together, monogenic diseases may account for upto 40% of the work of hospital based paediatric practice (Scriver, 1995).

Fatal familial insomnia (prion)

“If you have a genetic risk that you believe is predicting disease but isn’t, you can end up doing drastic things.”

NEWS FEATURE

SEEING DEADLY MUTATIONS IN A NEW LIGHT

How one of the largest genome resources in the world has quietly been changing scientists' understanding of human genetics.

BY ERIKA CHECK HAYDEN

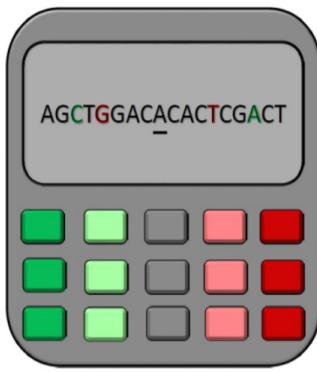


<http://education.expasy.org/cours/PO17421/publications/>

Analyse des variants...

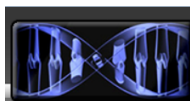
- Outils de prédition
 - [PolyPhen](#)
 - [Mutalyzer](#)
 - [Mutation taster](#)
 - [Pathogenicity calculator](#) (aide à la décision)
- Banques de données
 - [dbSNP](#) / [dbVar](#) / [ClinVar](#)
 - [ExAC](#) (Exome Aggregation Consortium; 60'000 personnes)
 - [UniProtKB/Swiss-Prot](#)
 - ...

WHAT IS THE CLINGEN PATHOGENICITY CALCULATOR?



The shift from genetic testing of individual genes to exome and genome sequencing has been accompanied by new challenges in genome interpretation. The American College of Medical Genetics and Genomics and the Association for Molecular Pathology (ACMG/AMP) have published [Standards and Guidelines for the Interpretation of Sequence Variants](#). To enable wide application of the ACMG/AMP and similar guidelines and the development of collective knowledge by the community, ClinGen has developed the ClinGen Pathogenicity Calculator. By automating the formal reasoning, the Calculator eliminates errors in rule application and makes it possible to automatically calculate provisional conclusions based on latest evidence. Moreover, the Calculator makes reasoning explicit by

Capture



PolyPhen-2 prediction of functional effects of human nsSNPs

Home About Help Downloads Batch query

PolyPhen-2 (Polymorphism Phenotyping v2) is a tool which predicts possible impact of an amino acid substitution on the structure and function of a human protein using straightforward physical and comparative considerations. Please, use the form below to submit your query.

Query Data

Protein or SNP identifier:

Protein sequence in FASTA format:

Position:

Substitution: AA₁ A R N D C E Q G H I L K M F P S T W Y V
AA₂ A R N D C E Q G H I L K M F P S T W Y V

Query description:

Submit Query Clear Check Status Display advanced query options

mutation t@sting

HGNC gene symbol, NCBI Gene ID, Ensembl gene ID [show available transcripts](#)

Ensembl transcript ID:

coding sequence (ORF) transcript (cDNA sequence) gene (genomic sequence)

all types by sequence

enter a few bases around your alteration

Format:

ACTGTC[A/T] GTGTF A substituted by **T**
ACTGTC[AG/T] GTGTF AG substituted by **T**
ACTGTC[ACGT/T] GTGTF ACGT deleted
ACTGTC[-AA] GTGTF **AA** inserted

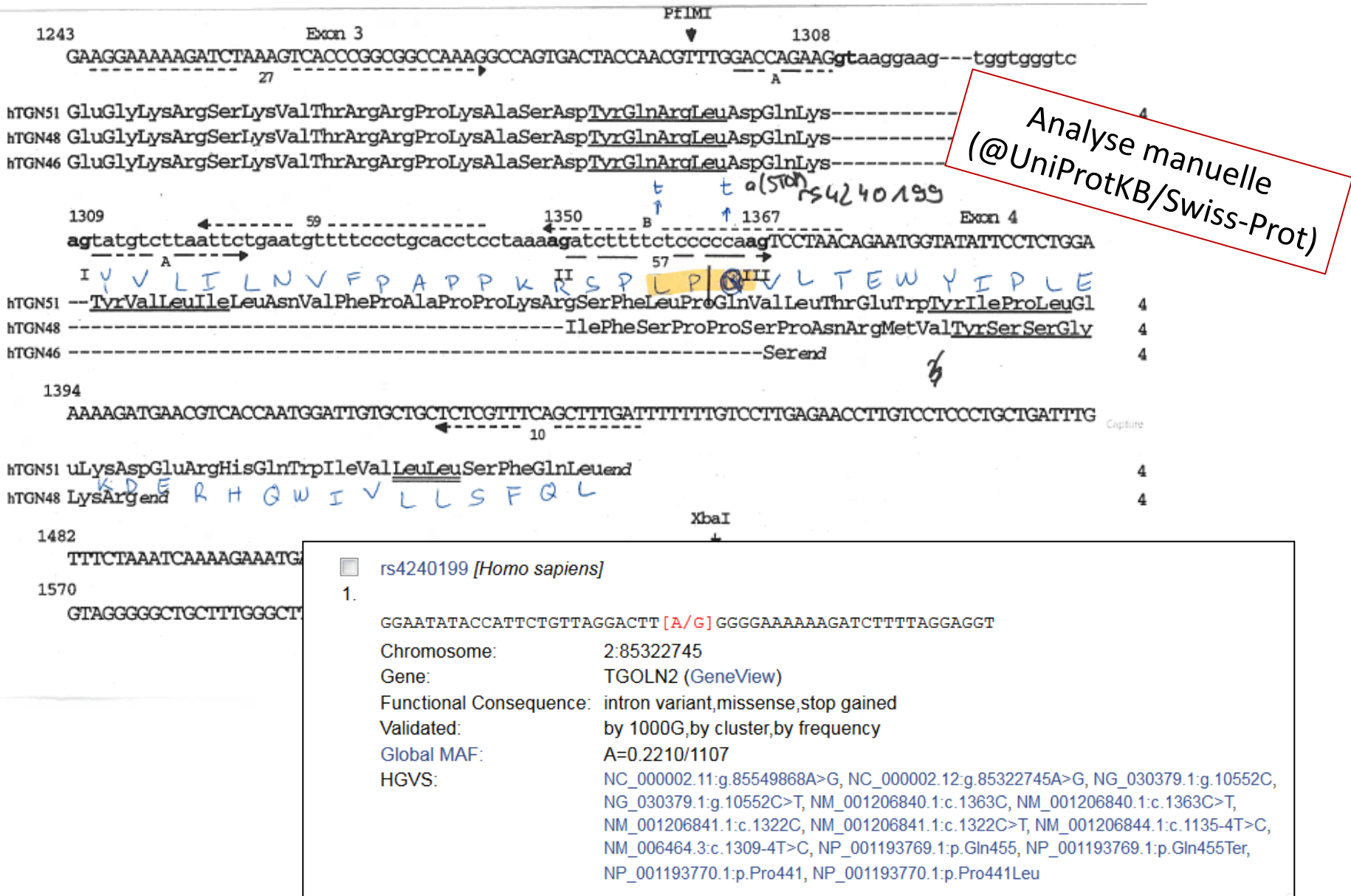
options show nucleotide alignment

single base exchange by position

enter position: and new base:

insertion or deletion by position

enter positions of:
...last wild type base before alteration:
...first wild type base after alteration:
and the inserted bases: (if applicable)



- **dbSNP**: short genetic variations (single nucleotide polymorphisms) present in more than 1% of the population (-> not disease associated)
- **dbVar**: structural variation — insertions, deletions, duplications, inversions, mobile elements, and translocations
- **ClinVar**: aggregates information about genomic variation and its relationship with human health

!!! Financement des banques de données !!!

! Due to the lapse in government funding, the information on this web site may not be up to date, transactions submitted via the web site may not be processed, and the agency may not be able to respond to inquiries until appropriations are enacted. Updates regarding government operating status and resumption of normal operations can be found at opm.gov.

ACTGATGGTATGGGCCAAGAGATATATCT
CAGGTACGGCTGTCACTCACTTAGACCTCAC
CAGGGCTGGGCATAAAAGTCAGGGCAGAGC
CCATGGTGATCTGACTCCTGAGGAGAAGT
GCAGGTTGGTATCAAGGTTACAAGACAGGT
GGCACTGACTCTCTGCCTATTGGTCTAT

ClinVar

ClinVar aggregates information about genomic variation and its relationship to human health.

Using ClinVar

- [About ClinVar](#)
- [Data Dictionary](#)
- [Downloads/FTP site](#)
- [FAQ](#)
- [Contact Us](#)
- [RSS feed/What's new?](#)
- [Factsheet](#)

Tools

- [ACMG Recommendations for Reporting of Incidental Findings](#)
- [ClinVar Submission Portal](#)
- [Submissions](#)
- [Variation Viewer](#)
- [Clinical Remapping - Between assemblies and RefSeqGenes](#)
- [RefSeqGene/LRG](#)

Related Sites

- [ClinGen](#)
- [GeneReviews®](#)
- [GTR®](#)
- [MedGen](#)
- [OMIM®](#)
- [Variation](#)

Les variations ‘missense’ & UniProtKB/Swiss-Prot

- <http://www.uniprot.org/docs/humsavar>
30'182 disease variants, 39'800 polymorphisms, 7'600 unclassified

CFTR	P13569	VAR_000101	p.Ser13Phe	Disease	rs397508635 Cystic fibrosis (CF) [MIM:219700]
CFTR	P13569	VAR_000102	p.Arg31Cys	Polymorphism	rs1800073 -
CFTR	P13569	VAR_000103	p.Arg31Leu	Disease	rs149353983 Cystic fibrosis (CF) [MIM:219700]
CFTR	P13569	VAR_000104	p.Ser42Phe	Disease	rs143456784 Cystic fibrosis (CF) [MIM:219700]
CFTR	P13569	VAR_000105	p.Asp44Gly	Disease	rs1800074 Cystic fibrosis (CF) [MIM:219700]
CFTR	P13569	VAR_000106	p.Asp44Val	Polymorphism	rs1800074 -
CFTR	P13569	VAR_000107	p.Ser50Tyr	Disease	rs397508220 Congenital bilateral absence of the vas deferens (CBAVD) [MIM:277180]
CFTR	P13569	VAR_000108	p.Trp57Gly	Disease	rs397508272 Cystic fibrosis (CF) [MIM:219700]
CFTR	P13569	VAR_000109	p.Pro67Leu	Disease	rs368505753 Cystic fibrosis (CF) [MIM:219700]
CFTR	P13569	VAR_000110	p.Arg74Trp	Disease	rs115545701 Cystic fibrosis (CF) [MIM:219700]
CFTR	P13569	VAR_000111	p.Arg75Gln	Polymorphism	rs1800076 -
CFTR	P13569	VAR_000112	p.Gly85Glu	Disease	rs75961395 Cystic fibrosis (CF) [MIM:219700]
CFTR	P13569	VAR_000113	p.Phe87Leu	Disease	rs397508403 Cystic fibrosis (CF) [MIM:219700]
CFTR	P13569	VAR_000114	p.Gly91Arg	Disease	rs121908750 Cystic fibrosis (CF) [MIM:219700]
CFTR	P13569	VAR_000115	p.Glu92Lys	Disease	rs121908751 Cystic fibrosis (CF) [MIM:219700]
CFTR	P13569	VAR_000116	p.Gln98Arg	Disease	rs397508464 Cystic fibrosis (CF) [MIM:219700]
CFTR	P13569	VAR_000117	p.Ile105Ser	Disease	- Cystic fibrosis (CF) [MIM:219700]
CFTR	P13569	VAR_000118	p.Tyr109Cys	Disease	rs121909031 Cystic fibrosis (CF) [MIM:219700]
CFTR	P13569	VAR_000119	p.Asp110His	Disease	rs113993956 Cystic fibrosis (CF) [MIM:219700]
CFTR	P13569	VAR_000120	p.Pro111Leu	Disease	rs140502196 Congenital bilateral absence of the vas deferens (CBAVD) [MIM:277180]
CFTR	P13569	VAR_000121	p.Arg117Cys	Disease	rs77834169 Cystic fibrosis (CF) [MIM:219700]
CFTR	P13569	VAR_000122	p.Arg117His	Disease	rs78655421 Congenital bilateral absence of the vas deferens (CBAVD) [MIM:277180]
CFTR	P13569	VAR_000122	p.Arg117His	Disease	rs78655421 Cystic fibrosis (CF) [MIM:219700]
CFTR	P13569	VAR_000123	p.Arg117Leu	Disease	rs78655421 Cystic fibrosis (CF) [MIM:219700]
CFTR	P13569	VAR_000124	p.Arg117Pro	Disease	rs78655421 Cystic fibrosis (CF) [MIM:219700]
CFTR	P13569	VAR_000125	p.Ala120Thr	Disease	rs201958172 Cystic fibrosis (CF) [MIM:219700]
CFTR	P13569	VAR_000126	p.His139Arg	Disease	rs76371115 Cystic fibrosis (CF) [MIM:219700]
CFTR	P13569	VAR_000127	p.Ala141Asp	Disease	rs397508700 Cystic fibrosis (CF) [MIM:219700]

Les données sont en constante évolution

- apoE: génotype 4/4 associé avec un risque d'hyperlipémie -> 1993
Depuis 1993: associé avec un risque d'Alzheimer familial précoce !

"About 60% of the AD patients in the Caucasian population are APOE ε4 carriers and this reduces the age of onset of the disease in a gene dose-dependent manner by as much as 7 to 9 years per allele copy" (Science, (1993), PMID: 8346443)

- TASR38: goût amer (PTC)
Depuis quelques années: associé avec un risque de développer un cancer colorectal et des sinusites... (<http://education.expasy.org/cours/PO17421/publication/>)
- Variant of 'unknown significance' in 2016: en 2020 ?

Cependant, il a été trouvé le variant *BRCA1* c.2002C>T / p.Leu668Phe dont la répercussion fonctionnelle n'est pas clairement établie. Ce variant a été référencé dans la base de données internationale du BIC (<http://research.ncbi.nih.gov/bic/>), et est classé comme «*unknown clinical significance*». Selon les principaux algorithmes de prédiction ainsi qu'une récente publication de test fonctionnel *in vitro* ce variant serait prédit comme neutre (P. Bouwman et al., Cancer Discovery, 2013). Ce variant ne peut pas être utilisé dans le cadre d'un dépistage informatif pour les autres membres de la famille tant que sa nature pathogène ou polymorphe n'a pas été confirmée.

- Autres sites intéressants...

SNPedia

<https://www.snpedia.com/>

<http://www.chromosomewalk.ch/chromosome/chromosome-15/>

Popular

[edit]

- rs53576 in the oxytocin receptor influences social behavior and personality
- rs1815739 muscle performance
- rs7412 and rs429358 can raise the risk of Alzheimer's disease by more than 10x
- rs6152 can influence baldness
- rs333 resistance to HIV
- rs1800497 in a dopamine receptor may influence the sense of pleasure
- rs1805007 determines red hair and sensitivity to anesthetics
- rs9939609 triggers obesity and type-2 diabetes
- rs662799 prevents weight gain from high fat diets
- rs7495174 green eye color and rs12913832 for blue eye color
- rs7903146 in 3% of the population greatly increases the risk of type-2 diabetes
- rs12255372 linked to type-2 diabetes and breast cancer
- rs1799971 makes alcohol cravings stronger
- rs17822931 determines earwax, sweating and body odor
- rs4680 varied cognitive effects
- rs1333049 coronary heart disease
- rs1051730 and rs3750344 nicotine dependence
- rs4988235 lactose intolerance

[View all 107819 snps in SNPedia.](#)

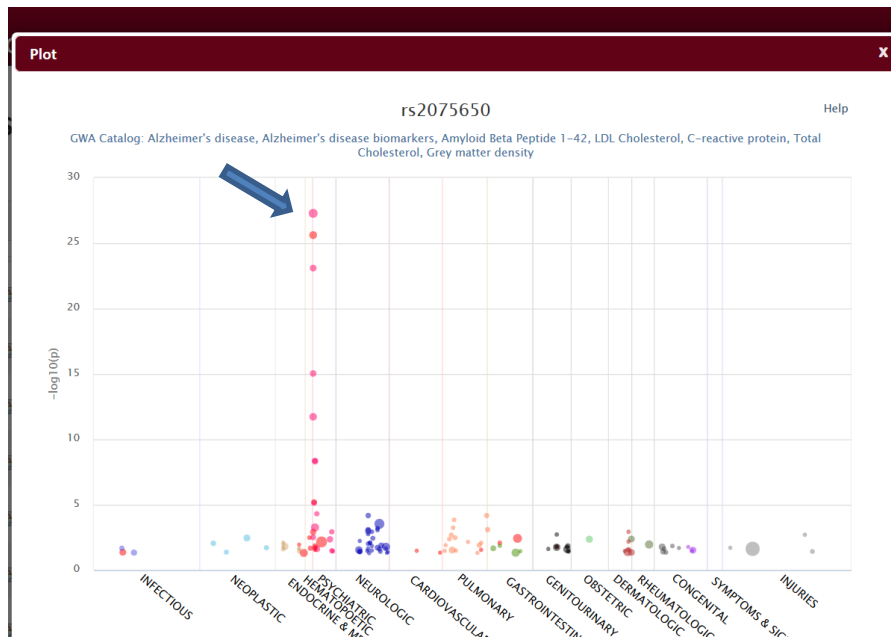
GWAS phenotype

<https://phewascatalog.org/phewas>

Genome wide associate studies (GWAS) are a common method used in associating single nucleotide polymorphisms (SNPs) to a disease or trait under study.

For a case/control phenotype, you're basically looking to see if there are more risk alleles in the case population than the control population (i.e. log (p)) ([PMC3154648](#))

La variation rs2075650 est retrouvée plus fréquemment chez des personnes avec Alzheimer: cela ne signifie pas qu'elle est la 'cause' du problème



Séquencer mon génome ?

Mon génome.... (celui d'un collègue)

- <https://www.fullgenomes.com/> (juin 2017)
- 800 dollars, 20x coverage

The screenshot shows the FullGenomes website with a navigation bar at the top. Below the header, there's a section for "Comprehensive DNA Sequencing" featuring a Y-DNA tree graphic and a "Try Now" button. The main content area is divided into several sections: "Coverage" (50x), "Read length" (150 base pairs), "Haplogroup" (Y haplogroup assignment), "SNPs" (Reports ALL your Y chromosome SNPs), "Private SNPs" (Reports your private SNPs), and "STRs" (Reports over 300 Y chromosome STRs). Each section includes a small icon and a "View details →" button.

- Après 6 mois: répertoire de 50 Gb
 - Variants autosomes
 - Variants chromosome Y
 - Séquence ADN mitochondrie (<http://education.expasy.org/cours/PO17421/>)

The following table is formatted as tab separated values.

#GeneId	GeneName	BioType	Bases affected (DOWNSTREAM)	Total score (DOWNSTREAM)	Length (DOWNSTREAM)	Bases affected (EXON)	Total									
xon_loss_variant)		Count (5_prime_UTR_variant)	Count (disruptive_inframe_deletion)		Count	(disruptive_inframe_deletion+synonymous_variant)										
etained_variant)		Count (synonymous_variant)	Count (upstream_gene_variant)													
ENSG000000000003	TSPN6	protein_coding	11	0	9772	2	2968	10	0	11322	8	0	8354	6	0	
ENSG000000000005	TNMD	protein_coding	21	0	7354	1	0	1610	19	0	15084	18	0	13474	19	0
ENSG000000000419	DPM1	protein_coding	20	0	6281	1	0	1207	5	0	23689	5	0	22482	0	0
ENSG000000000457	SCYL3	protein_coding	29	0	14488	2	0	6876	86	0	44637	84	0	37761	64	0
ENSG000000000460	C1orf112	protein_coding	49	0	27580	7	0	6354	531	0	191977	526	0	185623	0	0
ENSG000000000938	FGR	protein_coding	15	0	13473	0	0	3474	23	0	23214	23	0	19740	10	0
ENSG000000000971	CFH	protein_coding	56	0	20002	14	0	8144	299	0	95627	294	0	87483	0	0
ENSG000000001036	FUCA2	protein_coding	39	0	12134	1	0	3119	2	0	16880	28	0	13761	0	0
ENSG000000001084	GCLC	protein_coding	31	0	26933	9	0	8463	144	0	119630	138	0	111167	0	0
ENSG000000001167	NFYA	protein_coding	4	0	7026	0	0	3811	0	0	27032	0	0	23221	2	0
ENSG000000001460	STPG1	protein_coding	67	0	30736	15	0	8514	120	0	59936	118	0	51422	52	0
ENSG000000001461	NIPAL3	protein_coding	44	0	24375	1	0	9404	181	0	57183	173	0	47779	41	0
ENSG000000001497	LASIL	protein_coding	4	0	10001	1	0	5589	7	0	22194	6	0	16605	0	0
ENSG000000001561	ENPP4	protein_coding	26	0	5000	1	0	4651	50	0	16707	40	0	12056	10	0
ENSG000000001617	SEMA3F	protein_coding	25	0	19214	2	0	4826	46	0	34031	43	0	29205	41	0
ENSG000000001626	CFTR	protein_coding	11	0	31738	3	0	8099	90	0	250188	89	0	242089	63	0
ENSG000000001629	ANKIB1	protein_coding	13	0	28547	1	0	7130	58	0	155151	55	0	148021	28	0
ENSG000000001630	CYP51A1	protein_coding	4	0	11543	1	0	4074	13	0	30802	12	0	26728	4	0
ENSG000000001631	KRIT1	protein_coding	17	0	26192	0	0	6204	29	0	47198	29	0	40994	25	0
ENSG000000002016	RAD52	protein_coding	38	0	19102	4	0	4190	221	0	77977	224	0	73787	9	0
ENSG000000002079	MYH16	pseudogene	32	0	31626	6	0	6387	89	0	72337	84	0	65950	0	0
ENSG000000002230	BAD	protein_coding	10	0	10478	0	0	1708	0	0	14875	0	0	13167	0	0
ENSG000000002549	LAP3	protein_coding	55	0	17220	2	0	3785	122	0	30781	118	0	26996	3	0
ENSG000000002586	CD99	protein_coding	99	0	23222	10	0	3284	203	0	50131	197	0	46847	200	0
ENSG000000002587	HS3ST1	protein_coding	10	0	10000	0	0	8166	62	0	36616	55	0	28450	0	0
ENSG000000002726	AOC1	protein_coding	25	0	9287	3	0	3824	97	0	36878	88	0	33054	10	0
ENSG000000002745	WNT16	protein_coding	9	0	6646	2	0	3261	37	0	15738	34	0	12477	0	0
ENSG000000002746	HECW1	protein_coding	123	0	40823	8	0	13965	972	0	453403	960	0	439438	280	0
ENSG000000002822	MAD1L1	protein_coding	133	0	57916	8	0	6955	1359	0	417450	1357	0	410495	1356	0
ENSG000000002834	LASP1	protein_coding	11	0	16641	8	0	7061	141	0	51912	131	0	44851	125	0
ENSG000000002919	SNX11	protein_coding	55	0	15174	3	0	3606	64	0	19718	68	0	16112	27	0
ENSG000000002933	TMEM176A	protein_coding	17	0	7831	15	0	3479	1	0	4718	17	0	1239	14	0
ENSG000000003056	M6PR	protein_coding	3	0	10122	1	0	3777	6	0	9593	3	0	5816	3	0
ENSG000000003096	KLHL13	protein_coding	3	0	10759	0	0	6983	132	0	219528	132	0	212545	4	0
ENSG000000003137	CYP26B1	protein_coding	8	0	11042	0	0	5015	14	0	18801	12	0	13786	0	0
ENSG000000003147	ICA1	protein_coding	173	0	35468	23	0	4891	487	0	149504	484	0	144613	264	0
ENSG000000003249	DBNDD1	protein_coding	0	0	6615	2	0	3522	42	0	15264	49	0	11742	0	0
ENSG000000003393	ALS2	protein_coding	119	0	38684	8	0	10381	254	0	80636	251	0	70255	168	0
ENSG000000003400	CASP10	protein_coding	40	0	38437	3	0	7598	47	0	46526	46	0	38928	13	0
ENSG000000003402	CFLAR	protein_coding	46	0	45114	1	0	22528	107	0	60584	53	0	38056	51	0
ENSG000000003436	TFPI	protein_coding	15	0	23787	12	0	11714	30	0	101531	30	0	89817	4	0

Mon génome.... (celui d'un collègue)

- 10 millions de SNPs, 5 millions ‘validés’
- 28.8% des variants sont ‘nouveaux’
- 13'000 SNPs codants, 50 % homozygotes, 50 % hétérozygotes

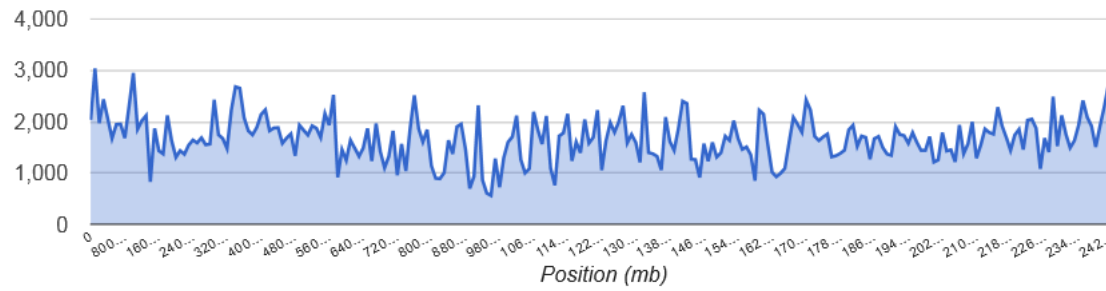
General statistics



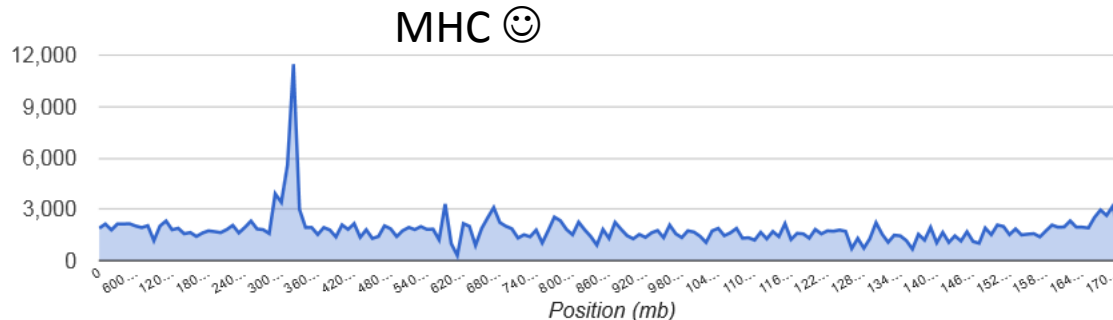
Lines of input read	
Variants processed	5022516
Variants filtered out	0
Novel / existing variants	1446690 (28.8) / 3575826 (71.2)
Overlapped genes	57286
Overlapped transcripts	195446
Overlapped regulatory features	105340

Mon génome.... (celui d'un collègue)

Distribution of variants on chromosome 2



Distribution of variants on chromosome 6



file:///C:/TEMP/XY57G.vep_stats-1.html

- <http://genetics.bwh.harvard.edu/pph2/>
- a tool which predicts possible impact of an amino acid substitution on the structure and function of a human protein

PolyPhen summary



Activité 2.1

Comparer des génomes de mitochondrie (Néanderthal, ‘mon génome’, chimpanzé, etc...)
(Align@UniProt)

Comprendre la notion de génome de référence
Comprendre la notion de variation génétique

Séquences ADN mitochondrial: <http://education.expasy.org/cours/PO17421/>
‘mon génome/collègue’, Néanderthal, Génome de référence

Depuis le site

<http://education.expasy.org/cours/PO17421>

Récupérer les séquences ADN (format fasta)

Copier / coller les séquences : <http://www.uniprot.org/align/>

Cliquer sur ‘Similarity’

Comparaison ADN collègue (MT) / MT_Reference 99.89% identité

Alignment

🖨 How to print an alignment in color

MT_Reference	1	GATCACAGGTCTATCACCCATTAAACCACTCACGGGAGCTCTCCATGCATTGGTATTT	60
MT_colleague	1	GATCACAGGTCTATCACCCATTAAACCACTCACGGGAGCTCTCCATGCATTGGTATTT	60
	*****	*****	*****
MT_Reference	61	CGTCTGGGGGTATGCACCGATAAGCATTGCGAGACCTGGAGCCGGAGCACCCATGTC	120
MT_colleague	61	CGTCTGGGGGTATGCACCGATAAGCATTGCGAGACGTGGAGCCGGAGCACCCATGTC	120
	*****	*****	*****
MT_Reference	121	GCA GTATCTGTCTTGATT CCTGCC TAT CCA TTT AT TAT CGCAC CTAC GTC AAT ATT	180
MT_colleague	121	GCA GTATCTGTCTTGATT CCTGCC TAT CCA TTT AT TAT CGCAC CTAC GTC AAT ATT	180
	*****	*****	*****
MT_Reference	181	ACAGGCGAACATACTACTAAAGTGTGTTAATTAAATTAAATGCTTGTAGGACATAATAATA	240
MT_colleague	181	ACAGGCGAACATACTACTAAAGTGTGTTAATTAAATTAAATGCTTGTAGGACATAATAATA	240
	*****	*****	*****
MT_Reference	241	ACAATTGAATGTCTGCACAGCCACTTCCACACAGACATCATACAAAAAATTCCACCA	300
MT_colleague	241	ACAATTGAATGTCTGCACAGCCGCTTCCACACAGACATCATACAAAAAATTCCACCA	300
	*****	*****	*****
MT_Reference	301	AACCCCCCTCCCCCGCTTCTGCCACAGCACCTAAACACATCTCTGCCAACCCCCAAA	360
MT_colleague	301	AACCCCCCGCCCCCGCTTCTGCCACAGCACCTAAACACATCTCTGCCAACCCCCAAA	360
	*****	*****	*****
MT_Reference	361	ACAAAGAACCTAACACCAGCTAACAGATTCAAAATTATCTTTGGCGGTATGCAC	420
MT_colleague	361	ACAAAGAACCTAACACCAGCTAACAGATTCAAAATTATCTTTGGCGGTATGCAC	420
	*****	*****	*****
MT_Reference	421	TTTTAACAGTCACCCCCCAACTAACACATTATTTCCCTCCACTCCCATACTAAAT	480
MT_colleague	421	TTTTAACAGTCACCCCCCAACTAACACATTATTTCCCTCCACTCCCATACTAAAT	480
	*****	*****	*****
MT_Reference	481	CTCATCAATACAACCCCCGCCATCTACCCAGCACACACACCCGCTGCTAACCCCATA	540
MT_colleague	481	CTCATCAATACAACCCCCGCCATCTACCCAGCACACACACCCGCTGCTAACCCCATA	540
	*****	*****	*****
MT_Reference	541	CCCCGAACCAACCAAACCCAAAGACACCCCCCACAGTTATGTAGCTTACCTCCTCAA	600
MT_colleague	541	CCCCGAACCAACCAAACCCAAAGACACCCCCCACAGTTATGTAGCTTACCTCCTCAA	600
	*****	*****	*****

Comparaison ADN collègue (MT) / Néanderthal

98.721% identité

Alignment

🖨 How to print an alignment in color

MT NC_011137.1	1 GATCACAGGTCTATCACCTATTAAACCACTCACGGGAGCTCTCCATGCATTTGGTATTT 1 GATCACAGGTCTATCACCTATTAAACCACTCACGGGAGCTCTCCATGCATTTGGTATTT *****	60 60
MT NC_011137.1	61 CGTCTGGGGGTATGCACCGCATAAGCATTCGAGACGCTGGAGCCGGAGCACCCCTATGTC 61 CGTCTGGGGGTATGCACCGCATAAGCATTCGAGACGCTGGAGCCGGAGCACCCCTATGTC *****	120 120
MT NC_011137.1	121 GCAGTATCTGCTTTGATTCCTGCCTCATCATTATTTATCGCACCTACGTCATATT 121 GCAGTATCTGCTTTGATTCCTGCCTCATCATTATTTATCGCACCTACGTCATATT *****	180 180
MT NC_011137.1	181 ACAGGCGAACATACTTACTAAGTGTGTTAATTAAATGCTGTAGGACATAATAATA 181 ACAGGCGAACATACTTACTAAGTGTGTTAATTAAATGCTGTAGGACATAATAATA *****	240 240
MT NC_011137.1	241 ACAATTGAATGTCAGCAGCCGCTTCCACACAGACATCATACAAAAAATTCCACCA 241 ACAGACTAAATGTCAGCAGCCGCTTCCACACAGACATCATACAAAAAATTCCACCA *****	300 300
MT NC_011137.1	301 AACCCCCCCCCTGGCCACAGCACTAAACACATCTGCACAAAAAAATTCCACCA 301 AACCCCCCCCCTGGCCACAGCACTAAACACATCTGCACAAAAAAATTCCACCA *****	360 360
MT NC_011137.1	361 ACAAAAGAACCTAACACCAGCTAACAGATTTCACATTTTGCGGTATGAC 361 ACAAAAGAACCTAACACCAGCTAACAGATTTCACATTTTGCGGTATACAC *****	420 420
MT NC_011137.1	421 TTTAACAGTCACCCCCCAACTAACACATTATTTCCCTCCCACTCCATACATAAT 421 TTTAACAGTCACCCCCCAACTAACACATTATTTCCCTCCCACTCCATACATAAT *****	480 480
MT NC_011137.1	481 CTCATCAATAACACCCCCGCCATCTACCCAGCACACACACCGCTGCTAACCCATA 481 CTCATCAATAACACCCCCGCCATCTACCCAG---CACACACCGCTGCTAACCCATA *****	540 536
MT NC_011137.1	541 CCCCGAACCAACCAAACCCAAAGACACCCCCCACAGTTATGAGCTTACCTCCTCAAA 537 CCCCGAGCAACCAAACCCAAAGACACCCCCCACAGTTATGAGCTTACCTCCTCAAA *****	600 596

Activité 2.2

Comparer les séquence ADN de mitochondrie
de 60 individus (Align@UniProt)

Comprendre la notion de génome de référence
Comprendre la notion de variation génétique

Séquences ADN mitochondrial (60 séquences anonymes / set Experiment@al)

Génome mitochondrie

- Le nombre de mitochondries par cellule est régulé par l'activité cellulaire (100 -> 1'000'000).
- 5 à 10 copies du génome dans une mitochondrie.
- Nombre de variations intra-individu = ???

Depuis le site

<http://education.expasy.org/cours/PO17421>

Récupérer les séquences ADN de mitochondries de 60 personnes (format fasta)

Copier / coller les séquences : <http://www.uniprot.org/align/>

Cliquer sur 'Similarity'

Repérer les différences....

Alignment

🖨 How to print an alignment in color

genome_reference	1	CAAGTATTGACTCACCCATCAACAACCGCTATGTATTTCGTACATTACTGCCAGCCACCA
Neanderthal	1	CAAGTATTGACTCACCCATCAACAACCGCTATGTATTTCGTACATTACTGCCAGCCACCA
sequence_anonyme1	1	CAAGTATTGACTCACCCATCAACAACCGCTATGTATTTCGTACATTACTGCCAGCCACCA
sequence_anonyme2	1	CAAGTATTGACTCACCCATCAACAACCGCTATGTATTTCGTACATTACTGCCAGCCACCA
sequence_anonyme3	1	CAAGTATTGACTCACCCATCAACAACCGCTATGTATTTCGTACATTACTGCCAGCCACCA
sequence_anonyme4	1	CAAGTATTGACTCACCCATCAACAACCGCTATGTATTTCGTACATTACTGCCAGCCACCA
sequence_anonyme5	1	CAAGTATTGACTCACCCATCAACAACCGCTATGTATTTCGTACATTACTGCCAGCCACCA
sequence_anonyme6	1	CAAGTATTGACTCACCCATCAACAACCGCTATGTATTTCGTACATTACTGCCAGCCACCA
sequence_anonyme7	1	CAAGTATTGACTCACCCATCAACAACCGCTATGTATTTCGTACATTACTGCCAGCCACCA
sequence_anonyme8	1	CAAGTATTGACTCACCCATCAACAACCGCTATGTATTTCGTACATTACTGCCAGCCACCA
sequence_anonyme9	1	CAAGTATTGACTCACCCATCAACAACCGCTATGTATTTCGTACATTACTGCCAGCCACCA
sequence_anonym...	1	CAAGTATTGACTCACCCATCAACAACCGCTATGTATTTCGTACATTACTGCCAGCCACCA

9 différences sur les 60 premiers nucléotides;
une seule différence est présente chez 2 individus

1 2 3 4 5 6 7 8 9
↓ ↓ ↓ ↓ ↓ ↓ ↓ ↓
CAAGTATTGACTCACCCATCAACAAACCGCTATGTATTCGTACATTACTGCCAGGCCACCA

9 différences sur les 60 premiers nucléotides

Activité 2.3

Comparer une séquence ADN de mitochondrie avec le génome de référence et repérer les SNP (BLAT@UCSC)
(expert)

‘Voir’ les différences par rapport au génome de référence...
Notion de variations génétiques et de ‘nouvelles variations’

BLAT @ UCSC
Banque de données dbSNP

BLAT @UCSC

Aller sur le site BLAT UCSC:

<http://genome.ucsc.edu/cgi-bin/hgBlat?command=start>

http://genome.ucsc.edu/cgi-bin/hgBlat?hgsid=653344189_KGLWGb4JX7tbta73c2kVaMzByjD7&command=start

The screenshot shows the 'Human BLAT Search' interface. At the top, it says 'BLAT Search Genome'. Below that, there are dropdown menus for 'Genome' (set to 'Human'), 'Assembly' (set to 'Dec. 2013 (GRCh38/hg38)'), 'Query type' (set to 'BLAT's guess'), 'Sort output' (set to 'query,score'), and 'Output type' (set to 'hyperlink'). A text input field contains the sequence: 'CAAGTATTGACTCACCCATCAACAACCGCTATGTATTCGTACATTACTGCCAGCCACCA'. At the bottom, there are three buttons: 'submit', 'I'm feeling lucky', and 'clear'.

Copier / Coller la séquence

'CAAGTATTGACTCACCCATCAACAACCGCTATGTATTCGTACATTACTGCCAGCCACCA'

Cliquer sur 'Submit'

BLAT @UCSC

BLAT Search Results

Go back to [chrM:16057-16116](#) on the Genome Browser.

Custom track name:

Custom track description:

[Build a custom track with these results](#)

ACTIONS	QUERY	SCORE	START	END	QSIZE	IDENTITY	CHRO	STRAND	START	END	SPAN
browser details	YourSeq	60	1	60	60	100.0%	M	+	16057	16116	60

Explication du résultat:

La séquence ADN (60 nucléotides) est 100 % identique à la séquence du génome mitochondrial de référence.

Elle est située sur le génome de la mitochondrie (M) en position 16'057-16'116

[Cliquer sur ‘browser’](#)

Choisir les options: variation all SNPs(150) full



Variation refresh

Common SNPs(150) <input type="button" value="hide"/> <input type="button" value="show"/>	Common SNPs(147) <input type="button" value="hide"/> <input type="button" value="show"/>	Common SNPs(146) <input type="button" value="hide"/> <input type="button" value="show"/>	Common SNPs(144) <input type="button" value="hide"/> <input type="button" value="show"/>	Common SNPs(142) <input type="button" value="hide"/> <input type="button" value="show"/>	Common SNPs(141) <input type="button" value="hide"/> <input type="button" value="show"/>
All SNPs(150) <input type="button" value="full"/> <input type="button" value="show"/>	All SNPs(147) <input type="button" value="hide"/> <input type="button" value="show"/>	All SNPs(146) <input type="button" value="hide"/> <input type="button" value="show"/>	All SNPs(144) <input type="button" value="hide"/> <input type="button" value="show"/>	All SNPs(142) <input type="button" value="hide"/> <input type="button" value="show"/>	All SNPs(141) <input type="button" value="hide"/> <input type="button" value="show"/>
Flagged SNPs(150) <input type="button" value="hide"/> <input type="button" value="show"/>	Flagged SNPs(147) <input type="button" value="hide"/> <input type="button" value="show"/>	Flagged SNPs(146) <input type="button" value="hide"/> <input type="button" value="show"/>	Flagged SNPs(144) <input type="button" value="hide"/> <input type="button" value="show"/>	Flagged SNPs(142) <input type="button" value="hide"/> <input type="button" value="show"/>	Flagged SNPs(141) <input type="button" value="hide"/> <input type="button" value="show"/>
Mult. SNPs(150) <input type="button" value="hide"/> <input type="button" value="show"/>	Mult. SNPs(147) <input type="button" value="hide"/> <input type="button" value="show"/>	Mult. SNPs(146) <input type="button" value="hide"/> <input type="button" value="show"/>	Mult. SNPs(144) <input type="button" value="hide"/> <input type="button" value="show"/>	Mult. SNPs(142) <input type="button" value="hide"/> <input type="button" value="show"/>	Mult. SNPs(141) <input type="button" value="hide"/> <input type="button" value="show"/>
DGV Struct Var <input type="button" value="hide"/> <input type="button" value="show"/>					

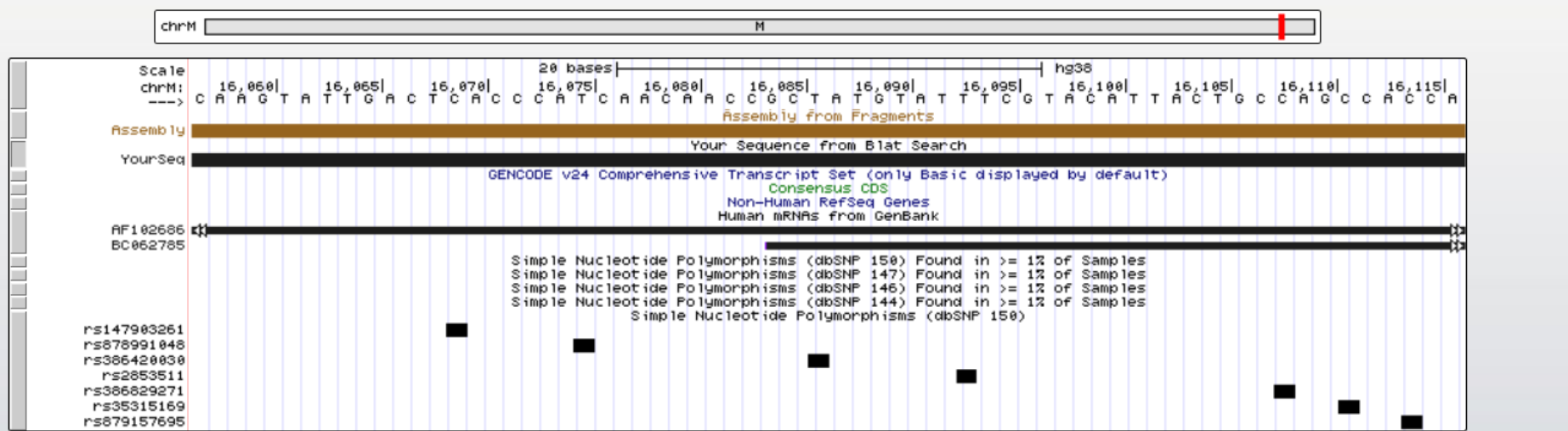
1 2 10 3
 ↓ ↓ ↓
 4 5
 ↓ ↓
 6 7 8 9
 ↓ ↓ ↓
 CAAGTATTGACTACCCATCAACAAACCGCTATGTATTCGTACATTACTGCCAGCCACCA

UCSC Genome Browser on Human Dec. 2013 (GRCh38/hg38) Assembly

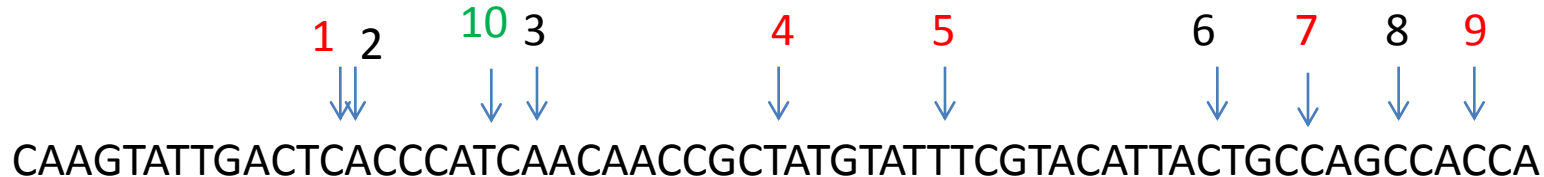
move <<< << < > >> zoom in 1.5x 3x 10x base zoom out 1.5x 3x 10x 100x

chrM:16,057-16,116 60 bp. enter position, gene symbol, HGVS or search terms

go



Lister la liste des no AC des SNPs: i.e. rs147903261



1: rs147903261

2: pas dans dbSNP -> ‘nouvelle variation’

3: pas dans dbSNP; présent seulement dans l’ADN de référence de Neanderthal

4: rs386420030

5: rs2853511

6: pas dans dbSNP -> ‘nouvelle variation’

7: rs386829271

8: rs35315169

9: rs879157

10: rs878991048: ce polymorphisme est retrouvé dans plus de 1% de la population, mais n'est pas retrouvé parmi les 60 séquences

Information sur les variants: dbSNP@NCBI

Aller sur le site dbSNP: <https://www.ncbi.nlm.nih.gov/SNP/>

Copier / coller le no AC du SNP (i.e. rs147903261)

La banque de données dbSNP contient des informations sur les SNPs présents à plus de 1% dans la population (et qui ont été soumis et validés....)

1 rs147903261 [*Homo sapiens*]

1.

TTTGGGTACCACCCAAGTATTGACT [C/T] ACCCATCAACAACCGCTATGTATTT

Chromosome: MT:16069

Validated: by cluster

HGVS: NC_012920.1:m.16069C>T

Activité 2.3 bis

Comparer une séquence ADN de mitochondrie
de ‘mon génome’ avec le génome de
référence et repérer les SNP (BLAT@UCSC)
(expert)

Mon génome.... (celui d'un collègue)

Genomes Genome Browser Tools Mirrors Downloads My Data View Help About Us

UCSC Genome Browser on Human Dec. 2013 (GRCh38/hg38) Assembly

move <<< << < > >> zoom in 1.5x 3x 10x base zoom out 1.5x 3x 10x 100x

chrM:1-16,385 16,385 bp. enter position, gene symbol, HGVS or search terms go

chrM M

Scale chrM: 1,000 2,000 3,000 4,000 5,000 5 kb 6,000 7,000 8,000 9,000 10,000 11,000 12,000 13,000 14,000 15,000 hg38
YourSeq Your Sequence from Blat Search

Simple Nucleotide Polymorphisms (dbSNP 150)

chrM M

Scale chrM: 740 745 750 755 760 10 bases hg38
YourSeq Your Sequence from Blat Search

Simple Nucleotide Polymorphisms (dbSNP 150)

Rechercher les SNP connus dans la séquence ADN de 'mon génome mitochondrial'

Activité 2.4

Comparer une séquence ADN de mitochondrie humain avec le génome différentes espèces (BLAT@UCSC)

Analyser les variations entre espèces pour une même séquence d'ADN
Faire un BLAT@USCS; tester différents génomes

►(1) Variations inter-espèces



(2) Variations intra-espèce (humain)



(3) Variations intra-individu (cancer)



BLAT @UCSC

Aller sur le site BLAT UCSC:

<http://genome.ucsc.edu/cgi-bin/hgBlat?command=start>

http://genome.ucsc.edu/cgi-bin/hgBlat?hgSID=653344189_KGLWGb4JX7tbta73c2kVaMzByjD7&command=start

The screenshot shows the 'Human BLAT Search' interface. At the top, it says 'BLAT Search Genome'. Below that, there are dropdown menus for 'Genome' (set to 'Human'), 'Assembly' (set to 'Dec. 2013 (GRCh38/hg38)'), 'Query type' (set to 'BLAT's guess'), 'Sort output' (set to 'query,score'), and 'Output type' (set to 'hyperlink'). A text input field contains the sequence 'CAAGTATTGACTCACCCATCAACAACCGCTATGTATTCGTACATTACTGCCAGCCACCA'. At the bottom, there are three buttons: 'submit', 'I'm feeling lucky', and 'clear'.

Copier / Coller la séquence

'CAAGTATTGACTCACCCATCAACAACCGCTATGTATTCGTACATTACTGCCAGCCACCA'

Sélection un génome de votre choix

Cliquer sur 'Submit'

'CAAGTATTGACTCACCATCAACAACCGCTATGTATTCGTACATTACTGCCAGCCACC'

espèces	% identité
Homo sapiens (M)	100
Chimp (M)	100
Bonobo (M)	100
Gorilla	No match
mouse	No match
rat	No match
chick	No match
xenopus	No match
D. Melanogaster	No match

>Gene Histone H4 GCRh38

```
TCCCGCCATT TCTGGGGCT TGGAGGAGGG GTTAAAGGAG CGGACTGTAG GCGTCACATT  
TCCCGCCTGC GCGCTTTCA GTCTCAGTGT CCGCTGGAGG TGGGGGCAGG GGTAACGTAG  
ATATATAAAG ATCGGTTCC TATTCTCTCA CTTGCTCTG GTTCACTTCT TGGAAGTCA  
TGTCTGGACG TGGTAAGGGC GGGAAAGGGT TGGGTAAGGG GGGTGCCAAG CGCCACCGCA  
AGGTGTTGCG TGACAACATC CAGGGCATCA CCAAGCCGGC CATCCGGCGT CTGGCCCGGC  
GTGGCGGTGT GAAGCGGATC TCTGGTCTGA TCTACGAGGA GACTCGCGGG GTGCTCAAGG  
TGTTTTGGA GAACGTGATC CGTGACGCTG TCACCTATAC GGAGCACGCC AAGCGCAAGA  
CAGTCACTGC CATGGACGTG GTCTACGCC TTAAGCGCCA GGGACGCACC CTTTATGGCT  
TTGGCGGTTA AGGTTGCTGA TTTCTCCACA GCTTGCATT CTGAACCAAA GGCCCTTTCT  
AGGGCCGCC AACTAAACAA AAGAAGAGCT GTATCCATTA AGTCAAGAAG CTCATGTGT  
AATTAAGATG AATGATACTG AGCTGACATC CTAAGAGGA AAGATTAGGG GAACTCCAAG  
TTTGCCTCC
```

espèces	% identité	chromosome
Homo sapiens	100	6
Chimp	98.9	6
Bonobo	98.9	6
Gorilla	97.5	6
mouse	84.3	13
rat	86.9	17
chick	87.4	1
xenopus	78.7	3
D. Melanogaster	89.1	3R

210-492 /670

>Gene ACTN1 (oartie; EXON, intron) 780 nucléotides

```
ttccactcac ttcttagcgct ccctttgttc ctcttgccca catattcccc tctctgtcCA
GGGACTGACC ACAGCCCCATG AGCAGTTCAA GGCCACCCCTC CCTGATGCCG ACAAGGAGCG
CCTGGCCATC CTGGGCATCC ACAATGAGGT GTCCAAGATT GTCCAGACCT ACCACGTCAA
TATGGCGGGC ACCAACCCCT ACCACAACCAT CACGCCTCAG GAGATCAATG GCAAATGGGA
CCACgtgagt tgaagggcat gggccgagcc attgttaagtt tcataaaaggc agggattttt
gtccatTTTA attgattttt gtcaatttca tttaaaatttgc tcataatgtt aacactcatt
gtttgtccaa atgtcaaatg actgggtttc cagaacaggt tgacacctt actcctgttc
tgttactgac cggcccttcc cttctgggt cctccatttc ctcattctggc acatggacag
atggctgacc catcctgaaa gtcgccttgt tgttctgtcc ccagGTGCGG CAGCTGGTGC
CTCGGAGGGA CCAAGCTCTG ACGGAGGAGC ATGCCCGACA GCAGCACAAT GAGAGGCTAC
GCAAGCAGTT TGGAGCCCAG GCCAATGTCA TCAGGGCCCTG GATCCAGACC AAGATGGAGG
tgggtcccat gctgggaagc agtgctgggg ctcccaccccc tccccccca cactatccta
gccagccagg ctgcctgtct ccctgggtgg gacccatgga ggactgaggc ccggagccca
```

espèces	% identité	chromosome	
Homo sapiens	100	14	
Chimp	99.4	14	
Bonobo	99.4	14	
Gorilla	99.0	14	
mouse	87.8	8	
rat	87.2	6	
chick	87.6	5	59 538 / 780
xenopus	---		295 320 / 780
D. Melanogaster	No match		

Conservation d'une séquence ADN du chromosome Y....

>Gene SRY

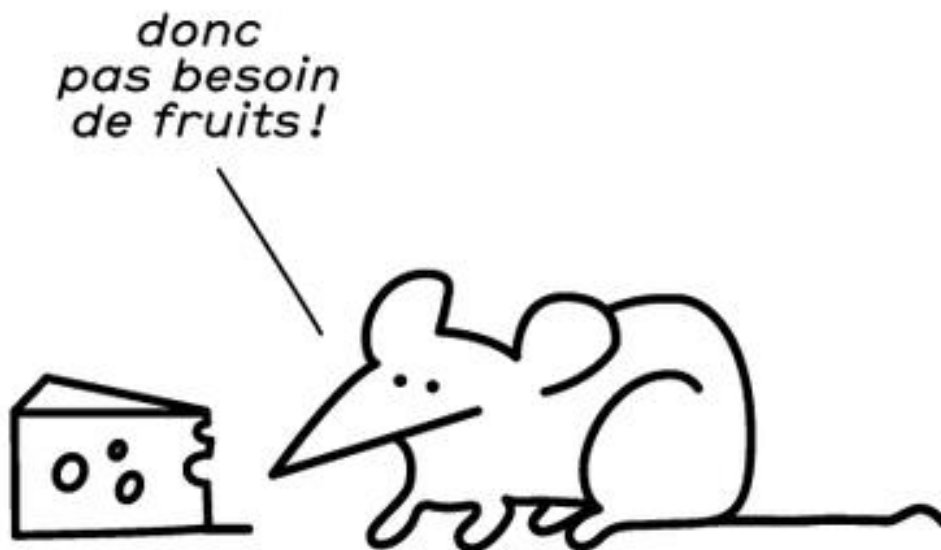
```
ATGCAATCAT ATGCTTCTGC TATGTTAACG GTATTCAACA GCGATGATTA CAGTCCAGCT  
GTGCAAGAGA ATATTCCCGC TCTCCGGAGA AGCTCTTCCT TCCTTTGCAC TGAAAGCTGT  
AACTCTAAGT ATCAGTGTGA AACGGGAGAA AACAGTAAAG GCAACGTCCA GGATAGAGTG  
AAGCGACCCA TGAACGCATT CATCGTGTGG TCTCGCGATC AGAGGCGCAA GATGGCTCTA  
GAGAATCCCA GAATGCGAAA CTCAGAGATC AGCAAGCAGC TGGGATACCA GTGGAAAATG  
CTTACTGAAG CCGAAAAATG GCCATTCTC CAGGAGGCAC AGAAATTACA GGCCATGCAC  
AGAGAGAAAT ACCCGAATTA TAAGTATCGA CCTCGTCGGA AGCGAAGAT GCTGCCGAAG  
AATTGCAGTT TGCTTCCCGC AGATCCCCTC TCGGTACTCT GCAGCGAAGT GCAACTGGAC  
AACAGGTTGT ACAGGGATGA CTGTACGAAA GCCACACACT CAAGAATGGA GCACCCAGCTA  
GGCCACTTAC CGCCCATCAA CGCAGCCAGC TCACCGCAGC AACGGGACCG CTACAGCCAC  
TGGACAAAGC TG
```

espèces	% identité	chromosome	coverage
Homo sapiens	100	Y	1 - 612 / 612
Chimp	98.7	Y	1 - 612 / 612
Bonobo	75.9%	17	236- 268 / 612
Gorilla	94.0%	16	178 - 210 /612
mouse	85.0%	Y	242-374 /612
rat			
chick			
xenopus			
D. Melanogaster			

GULO et le besoin de vitamine C

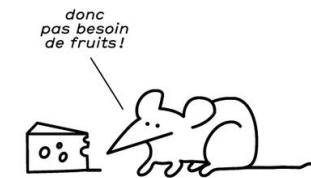
<http://www.chromosomewalk.ch/chromosome/chromosome-8/>

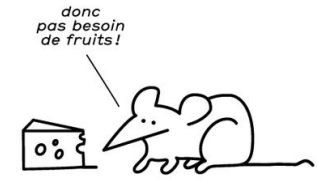
La large majorité des mammifères élaborent eux-mêmes leur propre vitamine C, comme la souris et le chien. Comment avons-nous perdu cette faculté? Parce que nous ne produisons plus la **protéine** responsable de sa fabrication: Gulo. (Gulo est un pseudogène chez l'humain)



>Gene (mRNA) GULO mouse

GCCTTCTGGTACCTGAGCTAAACTTCCAGTCCGTTCTGCCTGAGGTAAACCCAGAGGCCAGGGTTGCC
TGACCACTGCATCTGCTGCCAGGGCTTGTCAACTCCTGTGGAACGCTCAAGTCAGTCGTC
TGACCCCTGTTATCGCTGGAATCATGGTCATGGTACAAGGGGTCAGTCCAAAAGGGCGAAGAC
CTATGGCTGAGTCAGAGATGTACTACCAGCCCACATCAGTGGGGGAGGTAGAGAGGTGCTGGCCCTG
GCCCGGAGCAGAACAAGAAAGTGAAGGGTGGTGGCGGCCACTGCCTCAGACATGCCTGCACCG
ATGGCTCATGATTACATGGCAAGATGAACGGGTTCTCAGGTGGACAAGGAGAAGAAGCAGGTAC
AGTGGAAAGCCGGTATCCTCCTGACTGACCTGACCCACAGCTGGACAAGCATGGCCTGGCCCTGTCTAAT
CTGGGAGCCGTGCTGATGTGACGGTGGTGGCGTCATTGGTCTGGAACACATAACACGGGATCAAGC
ACGGTATCCTGGCACCCAGGTGGTGGCCCTGACCCGTATGAAGGCTGATGGAACAGTTCTGGAATGTC
TGAGTCAGTAATGCAAGATGTGTTCCAGGCTGCAAGGGTGCACCTGGCTGCTGGTGTATCCTCACT
GTCACCTGAGTGTGCCCCACAGTCCACCTCTGGAGACATCCTTCTTCGACCCCAAGGAGGTCC
TTGACAACCTGGACAGCCACCTGAAGAAGTCTGAGTACTTCCGCTCTGGTTCTCACAGTGAGAA
CGTCAGCATCATACCAAGATCACACCAACAAGGAGGCCCTCTGCATCTAACTGGTTGGACTAT
GCCATTGGTTTACCTCCTGGAATTCTTGCTCTGGACCAGCACCTACCTGCCACGCCCTGTGGCTGGA
TCAACCGCTTCTCTGGCTGTTCAACTGCAAGAAGGAGAGCAGCAACCTCAGCCACAAGATCTT
CTCCTACGAGTGTGCTCAAGCAGATGTCAGACTGGGCCATCCCCAGGGAGAAGACCAAGGAGGCC
CTGCTGGAGCTAAAGGCCATGCTGGAGGCCACCCCAAGGTGGTAGCCCACACTCCGTGGAGGTGCGCT
TCACCCGAGGTGATGACATCCTGCTGAGCCGTGCTTCAAGCTGCTGATGAACATCATTAT
GTACAGGCCATGGGAAGGATGTGCTCGTTGGATTACTGGCTGGCTATGAGACCATCATGAAGAAG
TTTGGAGGCAGGCCCACTGGCAAAGGCCACAATTGCAACAGGAAGGACTTGAGAAAATGTACCCCG
CCTTCACAAGTTCTGTGACATCCCGAGAACGCTGGACCCACTGGAATGTTCTGAATTGTCACCTGGA
AAAGGTTTCTACTAAAGTAGAAGCAGAAGCAAGCTGCCCTGACCCCTCACTTCTGCTGCCTGGGGGG
GGGGGGCAGGGCAGTGTCTCAGGCACAGTGGAGACGACCTCTCTGAACACAAGGAGGGCTGGGCT
CTGGCGAGGCCCTGCTTCTTATCATCTTCATAACACCCAGGCAAGAACGTTCCCTCACTCAAAT
TCCTGTTGCACTCCACGAGCCATACATAAAACTACAATCATCTCAGGAAAGGGGTTCCCTGCATCA
TATCTGTCCAGGCTAAGGATTGTCCTCTAGGTTCTACTGGTCCACCAAGTATAGAGAGATCCCTGG
GCCTGCAGTTCCCTCCCTTCAAGAAGGATCTTGGCAACAGAGGTAGCATGAGGCATGCTCTGCT
TACCTTATCCTAAAGGCCCTCAGATGCCAGAGTCTGCTGTTGGCTGAGCAAGCCATCTCCAG
ATGGGTCCACGTGGCCTCTGACTGCCATGGCCTGGCCCTCACAGTGTCTTCTGGGTGGTTAGAG
TCCAATTGCTCGTCTTCAACCAAGTCTGTTAGATCCCTGTTGGTTCTCCCTCACCTCAGAGACA
ATTCTTGGCTGGATCTGCCGTGCTGGCTGGTCTGGTTCTGGTCTGGTTCTCCCTCACCTCAGAG
AGATGATTCAAGTTATTGTGGCCTTCTGGAATGTTCCCTGGAGAGCCAATATGTTCCAGGTACTTG
TCAGAATTAAAGACTGAAAGAT





espèces	% identité	chromosome	coverage
Homo sapiens	87.4%	8	392 -1267 /2265
Chimp	87.1%	8	392 -1267 /2265
Bonobo			
Gorilla			
mouse	100	14	1-2265 /2265
rat	91.9%	15	17-2253 /2265
chick	86.8%	3	279 1331 2265

GULO chez l'homme (et les primates) est un 'pseudogène': la séquence ADN 'existe' mais aucune protéine n'est produite

Activité 2.5

L'annotation des variants (missense; changement d'acide aminé) dans UniProtKB/Swiss-Prot

TASR38 / PTC

http://education.expasy.org/bioinformatique/gout_amer.html



Natural variant ⁱ (VAR_017860)	49	A → P	1 Publication	Corresponds to variant dbSNP:rs713598	Ensembl, ClinVar.
Natural variant ⁱ (VAR_017861)	262	A → V	5 Publications	Corresponds to variant dbSNP:rs1726866	Ensembl, ClinVar.
Natural variant ⁱ (VAR_017862)	296	I → V	1 Publication	Corresponds to variant dbSNP:rs10246939	Ensembl, ClinVar.

An Alternative Laboratory Designed to Address Ethical Concerns Associated with Traditional TAS2R38 Student Genotyping^S

From the ^tDepartment of the History of Science, Harvard University, Cambridge, Massachusetts 02138, [#]Department of Biological Sciences, Wellesley College, Wellesley, Massachusetts 02481

The AVI variant of T2R38 is associated with an increased risk of both colorectal cancer and *Pseudomonas aeruginosa*-associated sinus infection and T2R38 variants have been implicated in off-target drug responses.

Polymorphismⁱ

Variations in TAS2R38 are associated with the ability to taste phenylthiocarbamide (PTC tasting) [MIMⁱ:[171200](#)]; also called thiourea tasting. The ability to taste the substance PTC and a number of related substances is genetically controlled. Genetic studies have demonstrated complex inheritance for this trait. For some people (and some chimpanzees also), the chemical PTC tastes very bitter. For others, it is tasteless. Actually, substantial variation in taste sensitivity exists in human. Five haplotypes arising from three coding SNPs in the TAS2R38 gene are associated with distinct phenotypes of PTC taste sensitivity.

Natural variant

Feature key	Position(s)	Description	Actions	Graphical view	Length
Natural variant ⁱ (VAR_017860)	49	A → P 1 Publication Corresponds to variant dbSNP:rs713598			1
Natural variant ⁱ (VAR_017861)	262	A → V 5 Publications Corresponds to variant dbSNP:rs1726866			1
Natural variant ⁱ (VAR_017862)	296	I → V 1 Publication Corresponds to variant dbSNP:rs10246939			1

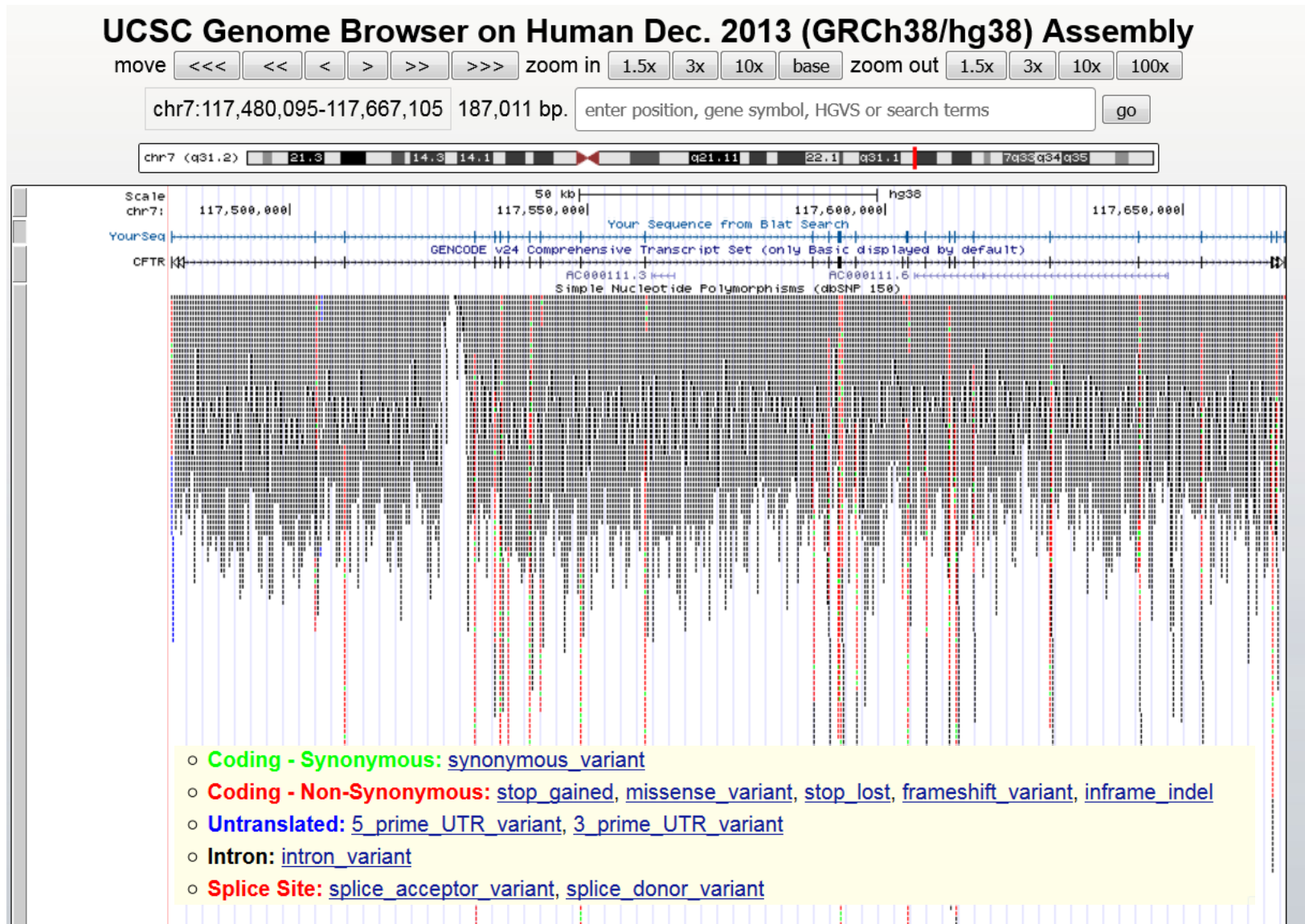
<http://www.uniprot.org/uniprot/P59533#sequences>

CFTR / muscoviscidose



Affiche parking
Mont-Blanc,
(déc 2017)

Séquence CFTR_HUMAN: <http://www.uniprot.org/uniprot/P13569.fasta>
Blat@UCSC



CFTR @ UniProt

http://www.uniprot.org/uniprot/P13569#pathology_and_biotech

Pathology & Biotech¹

Involvement in disease¹

Cystic fibrosis (CF) 64 Publications ▾

The disease is caused by mutations affecting the gene represented in this entry.

Disease description: A common generalized disorder of the exocrine glands which impairs clearance of secretions in a variety of organs. It is characterized by chronic bronchopulmonary disease (with recurrent respiratory infections), pancreatic insufficiency (which leads to malabsorption and growth retardation) and mucus accumulation in the lungs. It is the most common genetic disease in Caucasians, with a prevalence of about 1 in 2'000 live births. Inheritance is autosomal recessive.

See also OMIM:219700

Feature key	Position(s)	Description	Actions
Natural variant ⁱ (VAR_000101)	13	S → F in CF.  1 Publication ▾ Corresponds to variant dbSNP:rs397508635	Ensembl.
Natural variant ⁱ (VAR_000103)	31	R → L in CF.  1 Publication ▾ Corresponds to variant dbSNP:rs149353983	Ensembl.
Natural variant ⁱ (VAR_000104)	42	S → F in CF.  1 Publication ▾ Corresponds to variant dbSNP:rs143456784	Ensembl, ClinVar.
Natural variant ⁱ (VAR_000105)	44	D → G in CF. Corresponds to variant dbSNP:rs1800074	Ensembl.
Natural variant ⁱ (VAR_000108)	57	W → G in CF.  1 Publication ▾ Corresponds to variant dbSNP:rs397508272	Ensembl.
Natural variant ⁱ (VAR_000109)	67	P → L in CF. Corresponds to variant dbSNP:rs368505753	Ensembl, ClinVar.
Natural variant ⁱ (VAR_000110)	74	R → W in CF. Corresponds to variant dbSNP:rs115545701	Ensembl, ClinVar.
Natural variant ⁱ (VAR_000112)	85	G → E in CF.  1 Publication ▾ Corresponds to variant dbSNP:rs75961395	Ensembl, ClinVar.
Natural variant ⁱ (VAR_000113)	87	F → L in CF.  1 Publication ▾ Corresponds to variant dbSNP:rs397508403	Ensembl.
Natural variant ⁱ (VAR_000114)	91	G → R in CF. Corresponds to variant dbSNP:rs121908750	Ensembl, ClinVar.
Natural variant ⁱ (VAR_000115)	92	E → K in CF.  2 Publications ▾ Corresponds to variant dbSNP:rs121908751	Ensembl, ClinVar.
Natural variant ⁱ (VAR_000116)	98	Q → R in CF.  1 Publication ▾ Corresponds to variant dbSNP:rs397508464	Ensembl, ClinVar.
Natural variant ⁱ (VAR_000117)	105	I → S in CF.	
Natural variant ⁱ (VAR_000118)	109	Y → C in CF.  1 Publication ▾ Corresponds to variant dbSNP:rs121909031	Ensembl, ClinVar.
Natural variant ⁱ (VAR_000119)	110	D → H in CF. Corresponds to variant dbSNP:rs113993958	Ensembl, ClinVar.
Natural variant ⁱ (VAR_000121)	117	R → C in CF.  1 Publication ▾ Corresponds to variant dbSNP:rs77834169	Ensembl, ClinVar.
Natural variant ⁱ (VAR_000122)	117	R → H in CF and CBAVD; decreases single channel conductance; promotes rapid return to the closed state of the channel.  2 Publications ▾ Corresponds to variant dbSNP:rs78655421	Ensembl, ClinVar.

UniprotKB/Swiss-Prot annote les variations ‘missense’, rarement les délétions. La célèbre variation DeltaF508 n'est donc pas annotée...

<http://www.uniprot.org/docs/humsavar>

CFTR	P13569	VAR_000101	p.Ser13Phe	Disease	rs397508635	Cystic fibrosis (CF) [MIM:219700]
CFTR	P13569	VAR_000102	p.Arg31Cys	Polymorphism	rs1800073	-
CFTR	P13569	VAR_000103	p.Arg31Leu	Disease	rs149353983	Cystic fibrosis (CF) [MIM:219700]
CFTR	P13569	VAR_000104	p.Ser42Phe	Disease	rs143456784	Cystic fibrosis (CF) [MIM:219700]
CFTR	P13569	VAR_000105	p.Asp44Gly	Disease	rs1800074	Cystic fibrosis (CF) [MIM:219700]
CFTR	P13569	VAR_000106	p.Asp44Val	Polymorphism	rs1800074	-
CFTR	P13569	VAR_000107	p.Ser50Tyr	Disease	rs397508220	Congenital bilateral absence of the vas deferens (CBAVD) [MIM:277180]
CFTR	P13569	VAR_000108	p.Trp57Gly	Disease	rs397508272	Cystic fibrosis (CF) [MIM:219700]
CFTR	P13569	VAR_000109	p.Pro67Leu	Disease	rs368505753	Cystic fibrosis (CF) [MIM:219700]
CFTR	P13569	VAR_000110	p.Arg74Trp	Disease	rs115545701	Cystic fibrosis (CF) [MIM:219700]
CFTR	P13569	VAR_000111	p.Arg75Gln	Polymorphism	rs1800076	-
CFTR	P13569	VAR_000112	p.Gly85Glu	Disease	rs75961395	Cystic fibrosis (CF) [MIM:219700]
CFTR	P13569	VAR_000113	p.Phe87Leu	Disease	rs397508403	Cystic fibrosis (CF) [MIM:219700]
CFTR	P13569	VAR_000114	p.Gly91Arg	Disease	rs121908750	Cystic fibrosis (CF) [MIM:219700]
CFTR	P13569	VAR_000115	p.Glu92Lys	Disease	rs121908751	Cystic fibrosis (CF) [MIM:219700]
CFTR	P13569	VAR_000116	p.Gln98Arg	Disease	rs397508464	Cystic fibrosis (CF) [MIM:219700]
CFTR	P13569	VAR_000117	p.Ile105Ser	Disease	-	Cystic fibrosis (CF) [MIM:219700]
CFTR	P13569	VAR_000118	p.Tyr109Cys	Disease	rs121909031	Cystic fibrosis (CF) [MIM:219700]
CFTR	P13569	VAR_000119	p.Asp110His	Disease	rs113993958	Cystic fibrosis (CF) [MIM:219700]
CFTR	P13569	VAR_000120	p.Prol11Leu	Disease	rs140502196	Congenital bilateral absence of the vas deferens (CBAVD) [MIM:277180]
CFTR	P13569	VAR_000121	p.Arg117Cys	Disease	rs77834169	Cystic fibrosis (CF) [MIM:219700]
CFTR	P13569	VAR_000122	p.Arg117His	Disease	rs78655421	Congenital bilateral absence of the vas deferens (CBAVD) [MIM:277180]
CFTR	P13569	VAR_000122	p.Arg117His	Disease	rs78655421	Cystic fibrosis (CF) [MIM:219700]
CFTR	P13569	VAR_000123	p.Arg117Leu	Disease	rs78655421	Cystic fibrosis (CF) [MIM:219700]
CFTR	P13569	VAR_000124	p.Arg117Pro	Disease	rs78655421	Cystic fibrosis (CF) [MIM:219700]
CFTR	P13569	VAR_000125	p.Ala120Thr	Disease	rs201958172	Cystic fibrosis (CF) [MIM:219700]
CFTR	P13569	VAR_000126	p.His139Arg	Disease	rs76371115	Cystic fibrosis (CF) [MIM:219700]
CFTR	P13569	VAR_000127	p.Ala141Asp	Disease	rs397508700	Cystic fibrosis (CF) [MIM:219700]

Information sur les variants: dbSNP@NCBI

Aller sur le site dbSNP: <https://www.ncbi.nlm.nih.gov/SNP/>

Copier / coller le no AC du SNP (i.e. rs397508635)

The screenshot shows the NCBI dbSNP search interface. The search bar contains 'rs397508635'. Below the search bar, there are buttons for 'Create alert' and 'Advanced'. The main content area displays the SNP record for rs397508635 in Homo sapiens. The record includes the following details:

- Sequence: CCTCTGGAAAAGGCCAGCGTGTCT [C/T] CAAACTTTTCAGGTGAGAAGGT
- Chromosome: 7:117480132
- Gene: CFTR (GeneView)
- Functional Consequence: intron variant,missense
- Allele Origin: T(germline)/C(germline)
- Clinical significance: untested
- Validated: no info
- HGVs: NC_000007.13:g.117120186C>T, NC_000007.14:g.117480132C>T, NG_016465.4:g.19349C>T, NM_000492.3:c.38C>T, NP_000483.3:p.Ser13Phe, XM_011515751.2:c.143+787C>T, XM_011515753.1:c.-191+438C>T, XM_011515754.2:c.-518-16C>T, XM_017011699.1:c.-265+438C>T

At the bottom left, there is a link labeled 'Varview'.

!!!! Encore beaucoup de désaccords sur la pathogénicité d'un variant entre les différentes banques de données. Les informations dans dbSNP sont annotées par la personne qui a soumis le variant....Plusieurs initiatives pour mettre en commun.

BRCA1 / cancer

Plays a central role in DNA repair by facilitating cellular responses to DNA damage.

Mutations in BRCA1 are thought to be responsible for 45% of inherited breast cancer.

Mutations génétiques + somatiques

Séquence BRCA1_HUMAN: <http://www.uniprot.org/uniprot/P38398.fasta>
BLAT @ UCSC; browser

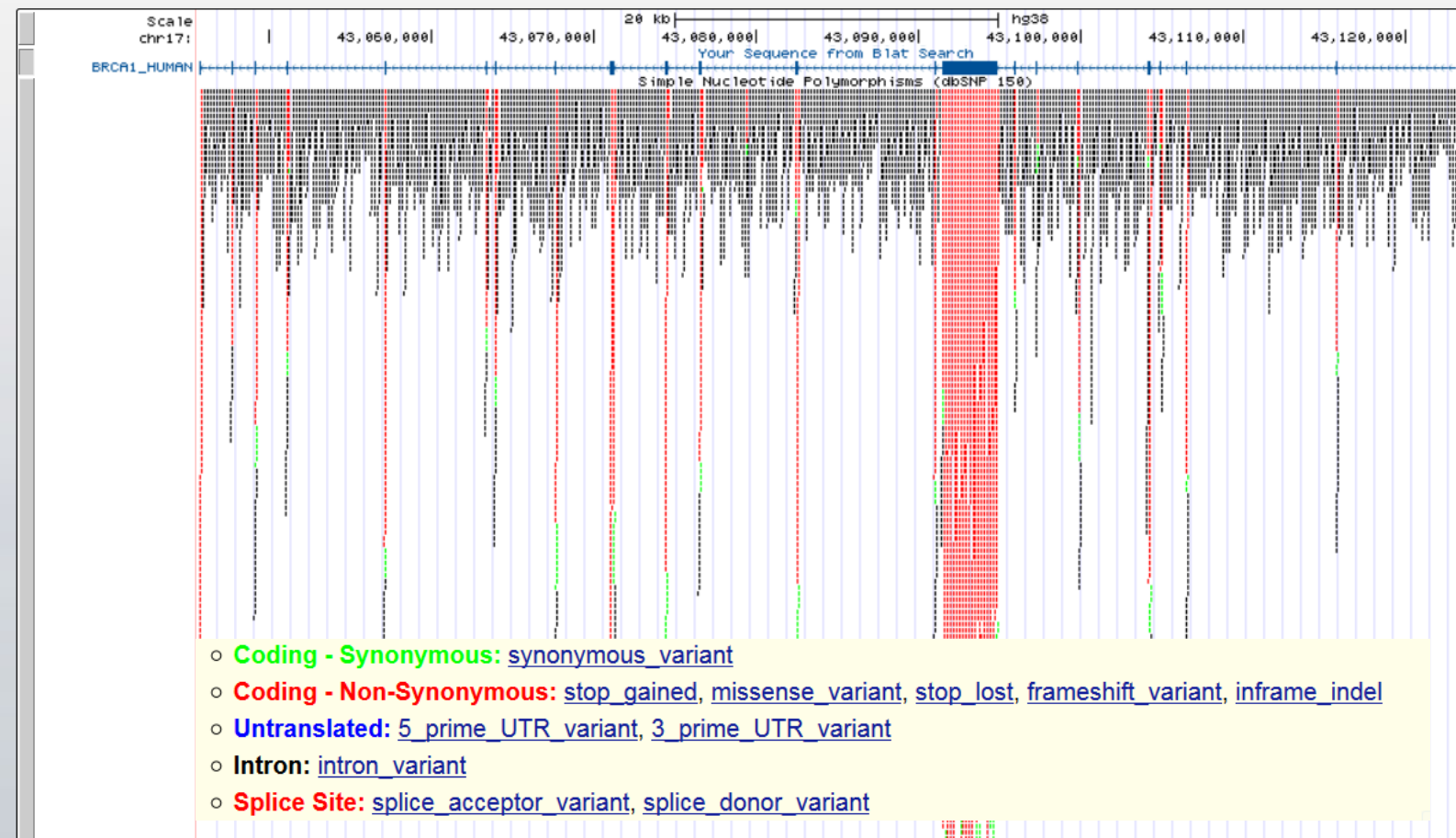
UCSC Genome Browser on Human Dec. 2013 (GRCh38/hg38) Assembly

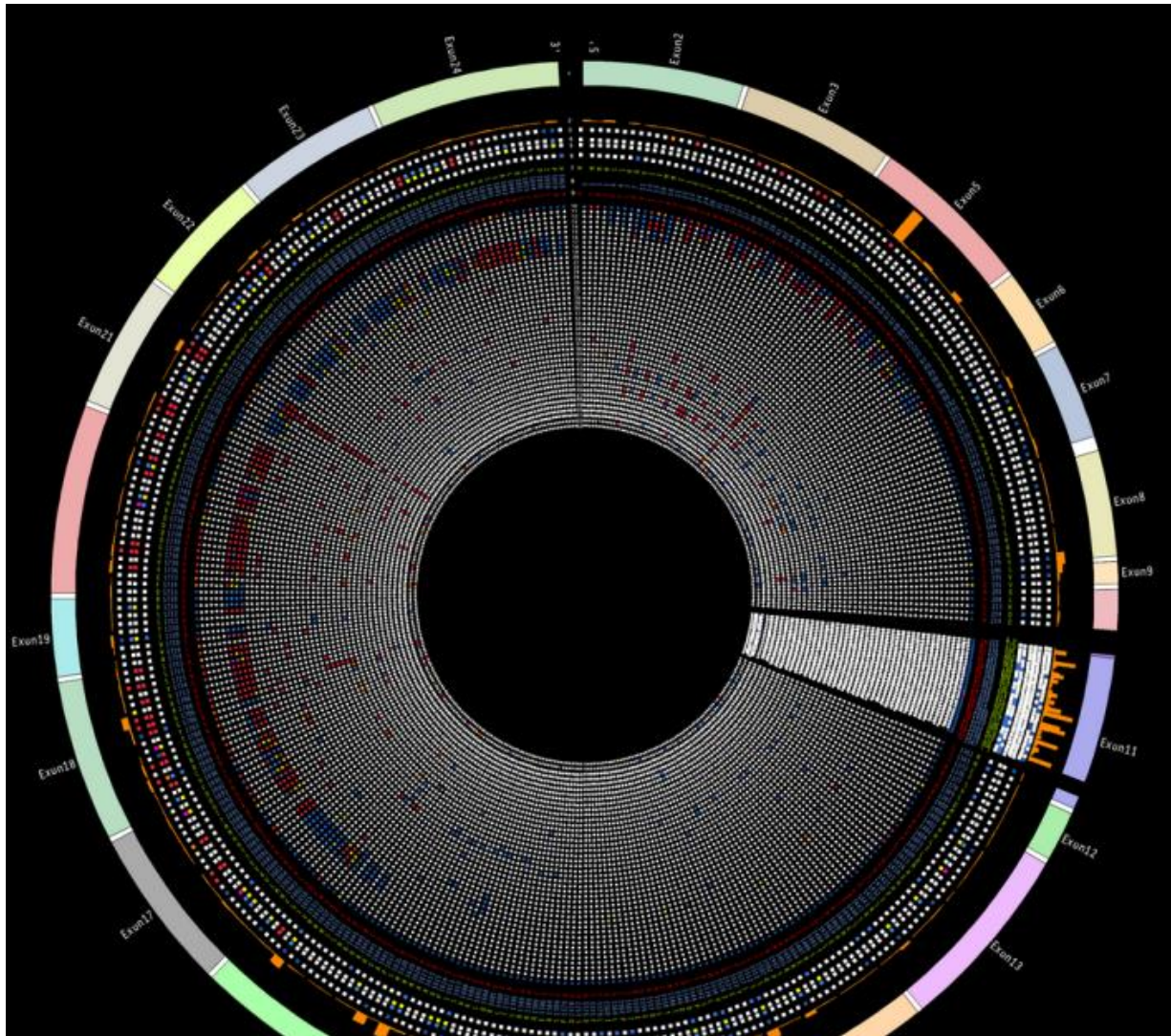
move <<< << < > >> zoom in 1.5x 3x 10x base zoom out 1.5x 3x 10x 100x

chr17:43,045,681-43,124,096 78,416 bp. enter position, gene symbol, HGVS or search terms

go

chr17 (q21.31) 13.3 13.2 p13.1 17p12 17p11.2 17q11.2 17q12 21.31 17q22 q24.3 q25.1 17q25.3





https://research.nhgri.nih.gov/projects/bic/circos/BIC_Circos_BRCA1no11-zoomer.shtml

Pathology & Biotech¹

Involvement in disease¹

Breast cancer (BC) 22 Publications

Disease susceptibility is associated with variations affecting the gene represented in this entry. Mutations in BRCA1 are thought to be responsible. Moreover, BRCA1 carriers have a 4-fold increased risk of colon cancer, whereas male carriers face a 3-fold increased risk of prostate cancer. Cells repair by homologous recombination.

Disease description: A common malignancy originating from breast epithelial tissue. Breast neoplasms can be distinguished by their histologic pattern, the most common type. Breast cancer is etiologically and genetically heterogeneous. Important genetic factors have been indicated by familial occurrence. Mutations at more than one locus can be involved in different families or even in the same case.

See also OMIM:114480

Feature key	Position(s)	Description	Actions
Natural variant ⁱ (VAR_070458)	4	S → F in BC; unknown pathological significance. 1 Publication Corresponds to variant dbSNP:rs786203152	Ensembl , ClinVar
Natural variant ⁱ (VAR_020679)	10	E → K in BC and BROVCA1. 1 Publication	
Natural variant ⁱ (VAR_063899)	18	M → T in BC; unknown pathological significance. 2 Publications Corresponds to variant dbSNP:rs80356929	Ensembl , ClinVar
Natural variant ⁱ (VAR_007756)	22	L → S in BC. 1 Publication Corresponds to variant dbSNP:rs80357438	Ensembl , ClinVar
Natural variant ⁱ (VAR_020680)	23	E → K in BC and BROVCA1. 1 Publication	
Natural variant ⁱ (VAR_070459)	45	K → Q in BC; unknown pathological significance; functionally neutral in vitro. Corresponds to variant dbSNP:rs769650474 1 Publication	Ensembl , ClinVar
Natural variant ⁱ (VAR_007757)	61	C → G in BC and ovarian cancer; no interaction with BAP1. 7 Publications Corresponds to variant dbSNP:rs28897672	Ensembl , ClinVar
Natural variant ⁱ (VAR_007758)	64	C → G in BC; no interaction with BAP1. 4 Publications Corresponds to variant dbSNP:rs80357064	Ensembl , ClinVar
Natural variant ⁱ (VAR_070460)	67	D → Y in BC; unknown pathological significance; functionally neutral in vitro. Corresponds to variant dbSNP:rs80357102 1 Publication	Ensembl , ClinVar
Natural variant ⁱ (VAR_020681)	71	R → K in BC; unknown pathological significance. 1 Publication Corresponds to variant dbSNP:rs80356913	Ensembl , ClinVar
Natural variant ⁱ (VAR_070462)	132	N → K in BC; unknown pathological significance; functionally neutral in vitro. Corresponds to variant dbSNP:rs80357413 1 Publication	Ensembl , ClinVar
Natural variant ⁱ (VAR_070463)	142	P → H in BC; unknown pathological significance; functionally neutral in vitro. Corresponds to variant dbSNP:rs803571202 1 Publication	Ensembl , ClinVar

<http://www.uniprot.org/docs/humsavar>

BRCA1	P38398	VAR_007761	p.Val271Met	Disease	rs80357244	Breast cancer (BC) [MIM:114480]
BRCA1	P38398	VAR_007762	p.Gln356Arg	Polymorphism	rs1799950	-
BRCA1	P38398	VAR_007764	p.Ile379Met	Polymorphism	rs56128296	-
BRCA1	P38398	VAR_007765	p.Phe461Leu	Disease	rs56046357	Breast cancer (BC) [MIM:114480]
BRCA1	P38398	VAR_007766	p.Tyr465Asp	Disease	rs397508869	Breast cancer (BC) [MIM:114480]
BRCA1	P38398	VAR_007767	p.Arg507Ile	Unclassified	rs80357224	-
BRCA1	P38398	VAR_007768	p.Gly552Val	Disease	rs397508893	Breast cancer (BC) [MIM:114480]
BRCA1	P38398	VAR_007769	p.Asp693Asn	Polymorphism	rs4986850	-
BRCA1	P38398	VAR_007770	p.Val772Ala	Polymorphism	rs80357467	-
BRCA1	P38398	VAR_007771	p.Lys820Glu	Polymorphism	rs56082113	-
BRCA1	P38398	VAR_007772	p.Thr826Lys	Unclassified	rs28897683	Breast cancer (BC) [MIM:114480]
BRCA1	P38398	VAR_007773	p.Arg841Trp	Unclassified	rs1800709	Breast-ovarian cancer, familial, 1 (BROVCA1) [MIM:604370]
BRCA1	P38398	VAR_007774	p.Pro871Leu	Polymorphism	rs799917	-
BRCA1	P38398	VAR_007775	p.Leu892Ser	Disease	rs397508994	Breast cancer (BC) [MIM:114480]
BRCA1	P38398	VAR_007776	p.Gly960Asp	Disease	rs397509022	Breast cancer (BC) [MIM:114480]
BRCA1	P38398	VAR_007777	p.Met1008Ile	Polymorphism	rs1800704	-
BRCA1	P38398	VAR_007778	p.Thr1025Ile	Disease	rs397509034	Breast cancer (BC) [MIM:114480]
BRCA1	P38398	VAR_007779	p.Glu1038Gly	Polymorphism	rs16941	-
BRCA1	P38398	VAR_007780	p.Ser1040Asn	Polymorphism	rs4986852	-
BRCA1	P38398	VAR_007781	p.Val1047Ala	Disease	rs397509037	Breast cancer (BC) [MIM:114480]
BRCA1	P38398	VAR_007782	p.Pro1150Ser	Disease	rs80357272	Breast cancer (BC) [MIM:114480]
BRCA1	P38398	VAR_007783	p.Lys1183Arg	Polymorphism	rs16942	-
BRCA1	P38398	VAR_007784	p.Glu1219Asp	Unclassified	rs80356876	-
BRCA1	P38398	VAR_007785	p.Arg1347Gly	Polymorphism	rs28897689	-
BRCA1	P38398	VAR_007786	p.Ser1431Pro	Polymorphism	-	-
BRCA1	P38398	VAR_007787	p.Arg1443Gly	Unclassified	rs41293455	Breast cancer (BC) [MIM:114480]
BRCA1	P38398	VAR_007788	p.Ser1512Ile	Polymorphism	rs1800744	-
BRCA1	P38398	VAR_007789	p.Thr1561Ile	Unclassified	rs56158747	-

Cancer du sein: "l'effet Angelina Jolie" fait doubler le nombre de consultations

Par **Cécile Casciano**, publié le 23/09/2014 à 18:05, mis à jour le 24/09/2014 à 02:00

Après la médiatisation de la double mastectomie préventive de l'actrice américaine, le dépistage de femmes porteuses de gènes augmentant les risques de contracter un cancer du sein a doublé, selon une étude canadienne menée en Grande-Bretagne.



1.9K



39



3



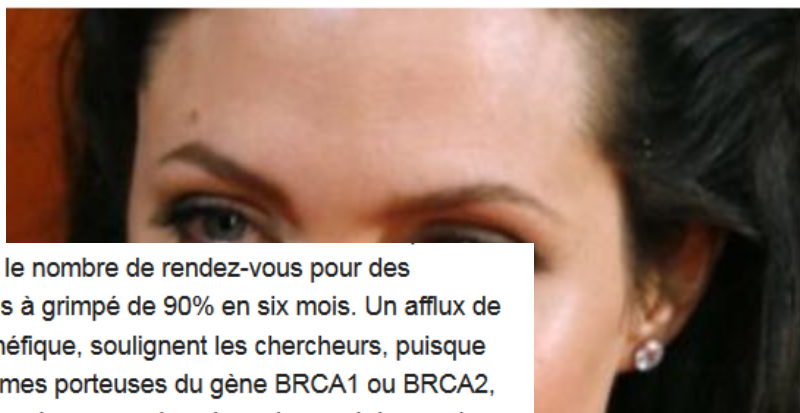
Voter (0)



0



"L'effet Angelina Jolie" pourrait bien sauver des vies. L'actrice avait surpris, en mai 2013, en annonçant avoir subi une double mastectomie préventive dans une tribune intitulée *My medical choice* publiée par le New York Times. Porteuse du gène mutant BRCA1, ses risques de contracter un cancer du sein étaient de 87% avant l'opération. Aujourd'hui l'intervention a permis de réduire ce risque à 5%.



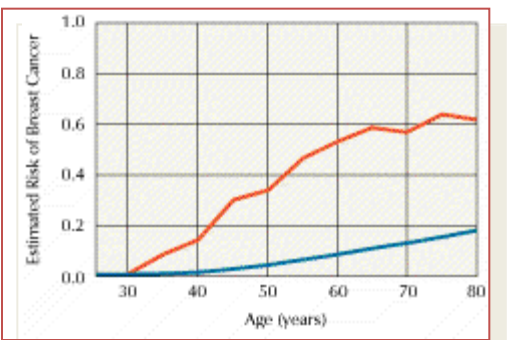
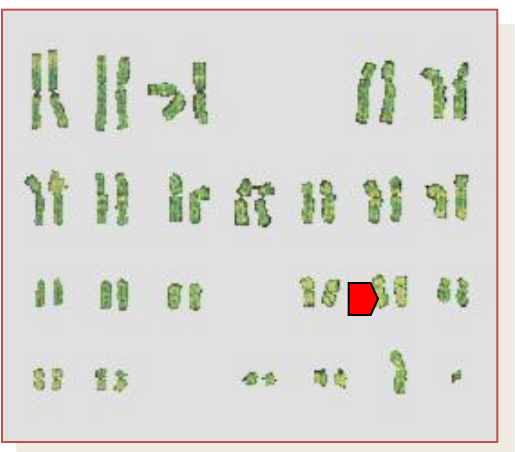
en Grande-Bretagne, le nombre de rendez-vous pour des dépistages génétiques à grimpé de 90% en six mois. Un afflux de consultations très bénéfique, soulignent les chercheurs, puisque deux fois plus de femmes porteuses du gène BRCA1 ou BRCA2, facteurs de risques pour le cancer du sein mais aussi des ovaires, ont été identifiées durant cette période.



L'express

Breast Cancer

BRCA1 gene



CCTCTGCTCTGGTAAAGTTAGTGGAGTCCCAGGAAAGGGACAGGGGCCAAGTGATGCTCTGGGTAC
TGGCGTGGGAGAGTGGATTCCGAAGCTGACAGATGGTCATTGAAACAGAAAGAAATGGATTATCTGC
TCTTCGCGTTGAAGAAGTACAAAATGTCATTAATGCTATGCAGAAAATCTT~~AG~~AGTGTCCCATTGCTG
GATCAAGGAACCTGTCTCCACAAAGTGTGACCACATATTTGCAATTGGCATGCTGAAACTTC
CAGAAGAAAGGGCCTCACAGTGTCTTATGAGCCTACAAGAGTACGAGATTCACTT
AGAGCTATTGAAAACCATTGTGCTTTCAGCTTGACACAGGTTGGAGTATGCAAACAGCTATA
GCAAAAAAGGAAAATAACTCTCTGAACATCTAAAAGATGAAGTCTATCATCCAAAGTATGGG
CTACAGAAACCGTGCACAAAGACTTCTACAGTGAACCCGAAAATCTTCTTGGAAACCACTGCTCAGT
GTCCAACCTCTAACCTGGAACTGTGACACACTCTGAGGACAAAGGGGATACAACTCAAAAGCT
CTGTCTACATTGAATTGGGATCTGATTCTCTGAAGATACCGTAATAAGGCAACTTATTGAGTGTGG
AGATCAAGAATTGTTACAAATCACCCCTCAAGGAACCAGGGATGAAATCAGTTGGACTCTGCAAAAAAG
GCTGCTTGTGAATTCTGAGACGGATGTAACAAATACTGAACATCATCAACCCAGTAATAATGATTG
ACACCACTGAGAAGCGTGCAGCTGAGAGGCATCCAGAAAAGTATCAGGGTAGTTCTGTTCAAACCTGCA
TGTGGAGCCATGTGGCACAAATACTCATGCCAGCTCATTACAGCATGAGAACAGCAGTATTACTCACT
AAAGACAGAATGAATGTAGAAAAGGCTGAATTCTGTAAATAAAAGCAAACAGCCTGGCTTAGCAAGGAGCC
AACATAACAGATGGGCTGGAAGTAAGGAAACATGTAATGATAGGCGGACTCCCAGCACAGAAAAAGGT
AGATCTGAATGCTGATCCCCTGTGTGAGAGAAAAGAATGAAATAAGCAGAAACTGCCATGCTCAGAGAAT
CCTAGAGACTGAAGATGTCCTTGATAACACTAAATAGCAGCATTGAGAAAGTTAATGAGTGGTTTT
CCAGAAGTGTGAACTGTTAGGTTCTGACTCACATGATGGGAGTCTGAATCAAATGCCAAAGTAGC
TGATGTATTGGACGTTCAAATGAGGTAGATGAATATTCTGGTTCTCAGAGAAAATAGACTTACTGCC
AGTGTACTCATGAGGCTTAAATATGAAAAGTGAAGAGTTCACTCCAAATCAGTAGAGAGTAATATTG
AAGACAAAATATTGGGAAACCTATCGGAAGAAGGCAAGCCTCCCCACTTAAGCCATGTAAGTAAAA
TCTAATTATAGGAGCATTGTTACTGAGCCACAGATAATACAAGAGCGTCCCCCACAATAATTAAAG
CGTAAAAGGAGACCTACATCAGGCTTCATCCTGAGGATTTATCAAGAAAGCAGATTGGCAGTTCAA
AGACTCCTGAAATGATAATCAGGAACCTAACCAACGGAGCAGAATGGTCAAGTGATGAATATTACTAA
TAGTGGTCATGAGAATAAAACAAAAGGTGATTCTATTGAGAAAATCTAACCAATAGAATCA
CTCGAAAAAGAATCTGTTCAAACGAAAGCTGAACTATAAGCAGCAGTATAAGCAATATGGAACTCG
AATTAAATATCCACAATTCAAAGCACCTAAAAGAATAGGCTGAGGAGGAAGTCTTCTACCAGGCATAT
TCATGCGCTTGAACTAGTGTGAGTCAAGCCACCTAATTGACTGAAATTGCAATTGATAGT
TGTTCTAGCAGTGAAGAGATAAAAGAAAAAGTACAACCAAATGCCAGTCAGGCACAGCAGAAACCTAC
AACTCATGGAAGGTTAAAGAACCTGCAACTGGAGCCAAGAAGAGTAACAAGCCAAATGAACAGACAAGTAA
AAGACATGACAGCGATACTTCCCAGAGCTGAAGTTACAAATGCACCTGGTTCTTACTAAGTGTCA
AATACCAGTGAACTTAAAGAATTGTCATCCTAGCCTTCCAAGAGAAGAAAAGAAGAGAAACTAGAAA
CAGTTAAAGTGTCTAATAATGCTGAAGACCCAAAGATCTCATGTTAAGTGGAGAAAGGGTTTGCAAAC
TGAAAGATCTGTAGAGAGTAGCAGTATTCTAGGTTACCTGGTACTGATTATGGCACTCAGGAAAGTATC
TCGTTACTGGAAGTTAGCACTAGGAAAGGCAAAACAGAACCAAATAATGTGTGAGTCAGTGTGCAG
CATTTGAAAACCCAAGGGACTAATTCTAGGTTGTTCAAAGATAATAGAAATGACACAGAACAGAAGGTTAA
GTATCCATTGGGACATGAAGTTAACACAGTCGGAAACAAGCATAGAAATGGAAGAAAGTGAACCTGAT
GCTCAGTATTGCAAGAACATTCAGGTTCAAAGCGCCAGTCATTGCTCCGTTCAAATCCA....

Mutation c.187_188delAG occurs due to a 2-bp (AG) deletion of the normal sequence TTA GAG of codons 22-23 in exon2 of BRCA1

SAIN

* *

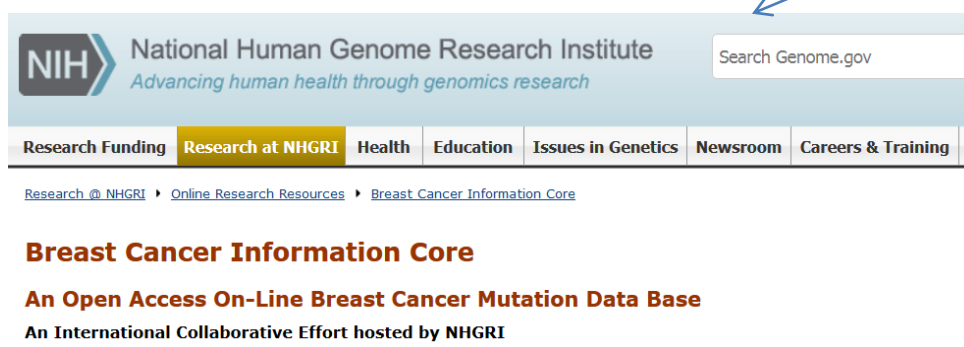
TACAAAATGTCATTAATGCTATGCAGAAAATCTT**AG**AGTGTCATCTG

CANCER

TACAAAATGTCATTAATGCTATGCAGAAAATCTTAGTGTCATCTG

Exemple d'information donnée au patient....

Cependant, il a été trouvé le variant *BRCA1* c.2002C>T / p.Leu668Phe dont la répercussion fonctionnelle n'est pas clairement établie. Ce variant a été référencé dans la base de données internationale du BIC (<http://research.nhgri.nih.gov/bic/>), et est classé comme «unknown clinical significance». Selon les principaux algorithmes de prédiction ainsi qu'une récente publication de test fonctionnel *in vitro* ce variant serait prédict comme neutre (P. Bouwman et al., Cancer Discovery, 2013). Ce variant ne peut pas être utilisé dans le cadre d'un dépistage informatif pour les autres membres de la famille tant que sa nature pathogène ou polymorphique n'a pas été confirmée.



<https://www.ncbi.nlm.nih.gov/clinvar/variation/37441/>

http://www.uniprot.org/uniprot/P38398#pathology_and_biotech



Natural variant ⁱ (VAR_007766)	465	Y → D in BC.	1 Publication	Corresponds to variant dbSNP:rs397508869
Natural variant ⁱ (VAR_007768)	552	G → V in BC.	1 Publication	Corresponds to variant dbSNP:rs397508893
Natural variant ⁱ (VAR_070473)	668	L → F in BC; unknown pathological significance; functionally neutral <i>in vitro</i> .	1 Publication	dbSNP:rs80357250
Natural variant ⁱ (VAR_070474)	695	D → N in BC; unknown pathological significance; functionally neutral <i>in vitro</i> .	1 Publication	dbSNP:rs28897681
Natural variant ⁱ (VAR_020683)	749	D → Y in BC.	1 Publication	Corresponds to variant dbSNP:rs80357114
Natural variant ⁱ (VAR_070475)	798	P → L in BC; unknown pathological significance; functionally neutral <i>in vitro</i> .	1 Publication	dbSNP:rs876660005
Natural variant ⁱ (VAR_070476)	810	N → Y in BC; unknown pathological significance; functionally neutral <i>in vitro</i> .	1 Publication	dbSNP:rs28897682

Activité 2.6

‘Voir’ les variations génétiques de *Arabidopsis Thaliana*



Génome *Arapidopsis Thaliana Columbia* 1135 génomes séquencés...

Sur le site www.1001genomes.org

Tools -> GO

Cliquer sur Polymorphism 1001

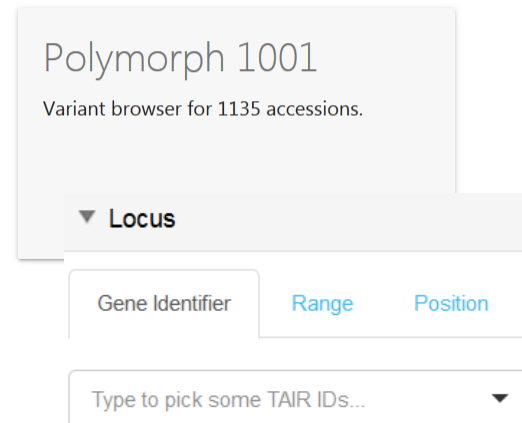
Choisir un locus (TAIR Ids: taper AT....)

Polymorph 1001
Variant browser for 1135 accessions.

▼ Locus

Gene Identifier	Range	Position
-----------------	-------	----------

Type to pick some TAIR IDs... ▾



Exemple avec le locus AT4G14880.1

POLYMORPH 1001

Variant Search Parameters

▼ Locus

Gene Identifier: AT4G14880.1

Range: Position

▼ Filter

Variant Type: SNPs

Impact: All

Effect Type: All

► Accessions

Search »

Variants

7441 variants found.
Click on table row for effect details.

Chr	Position	Strain	Ref	Alt	Quality	Impact	Effect Type
4	8517967	9987	T	C	40	MODIFIER	downstream_gene_variant
4	8517988	1062	G	T	40	MODIFIER	downstream_gene_variant
4	8517988	2278	G	T	40	MODIFIER	downstream_gene_variant
4	8517988	5836	G	T	40	MODIFIER	downstream_gene_variant
4	8517988	6023	G	T	40	MODIFIER	downstream_gene_variant
4	8517988	6024	G	T	40	MODIFIER	downstream_gene_variant
4	8517988	6034	G	T	40	MODIFIER	downstream_gene_variant
4	8517988	6038	G	T	40	MODIFIER	downstream_gene_variant
4	8517988	6040	G	T	40	MODIFIER	downstream_gene_variant
4	8517988	6090	G	T	40	MODIFIER	downstream_gene_variant
4	8517988	6091	G	T	40	MODIFIER	downstream_gene_variant
4	8517988	6102	G	T	40	MODIFIER	downstream_gene_variant
4	8517988	6104	G	T	40	MODIFIER	downstream_gene_variant
4	8517988	6112	G	T	40	MODIFIER	downstream_gene_variant

Et Mendel dans tout ça....

Journal List > Genetics > v.189(1); 2011 Sep > PMC3176118



Genetics. 2011 Sep; 189(1): 3–10.

doi: [10.1534/genetics.111.132118](https://doi.org/10.1534/genetics.111.132118)

PMCID: PMC3176118

Mendel's Genes: Toward a Full Molecular Characterization

James B. Reid and John J. Ross¹

Table 1

Seven characters of *P. sativum* examined by Mendel and a summary of the genes, phenotypes, and presumed mutations involved

Trait	Dominant phenotype	Recessive phenotype	Symbol group	Linkage group	Cloned	Gene function	Molecular nature of mutation
Seed shape	Round	Wrinkled	<i>R</i>	V	Yes	Starch branching enzyme 1	0.8-kb insertion
Stem length	Tall	Dwarf	<i>LE</i>	III	Yes	GA 3-oxidase1	G-to-A substitution
Cotyledon color	Yellow	Green	<i>I</i>	I	Yes	Stay-green gene	Ca6-bp insertion
Seed coat/flower color	Purple	White	<i>A</i>	II	Yes	bHLH transcription factor	G-to-A at splice site
Pod color	Green	Yellow	<i>GP</i>	V	No	Chloroplast structure in pod wall	Unknown
Pod form	Inflated	Constricted	<i>V?</i>	III	No	Sclerenchyma formation in pods	Unknown
Position of flowers	Axial	Terminal	<i>FA</i>	IV	No	Meristem function	Unknown

References are given in the text.

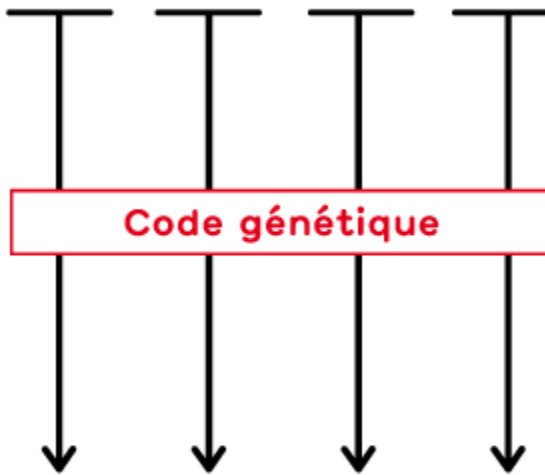
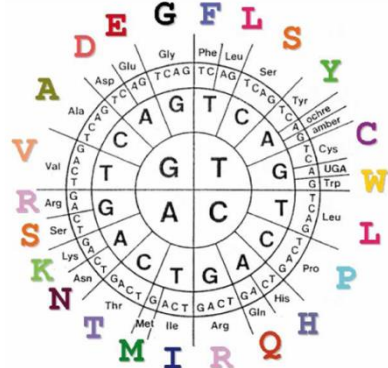
Activité 2.7

Exemple complet d'une l'analyse génétique (famille)

Remarque: Il s'agit d'un exemple très particulier d'une famille norvégienne. Cet exemple doit être utilisé pour expliquer les variations génétiques et non pas le diabète de type I

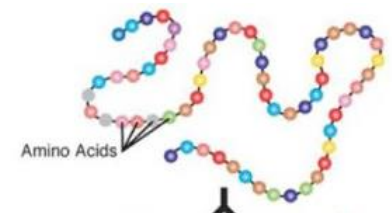
De l'ADN aux protéines...

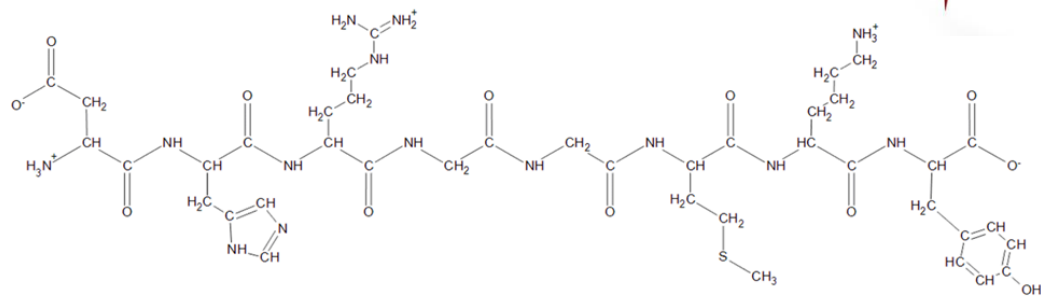
AAC ACA TGT CAC AGA ATG TCG TTC GAG CCG



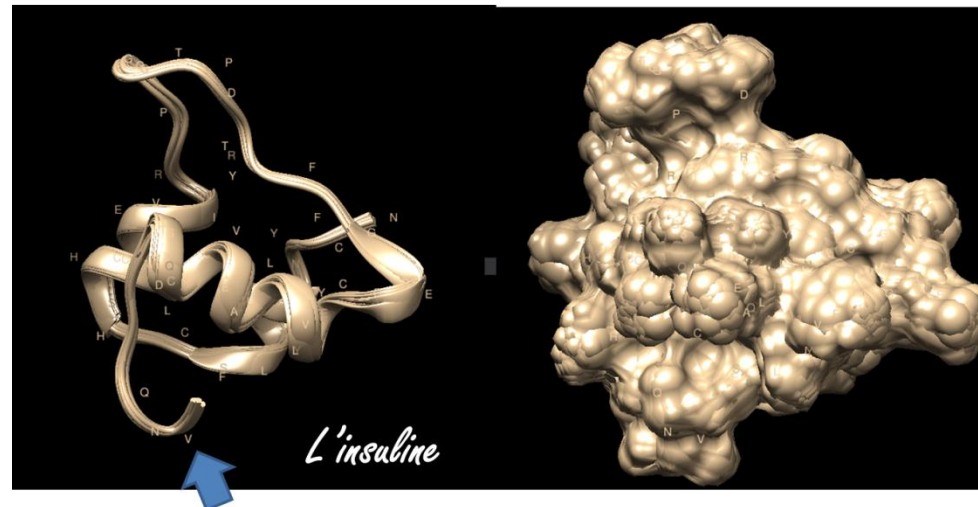
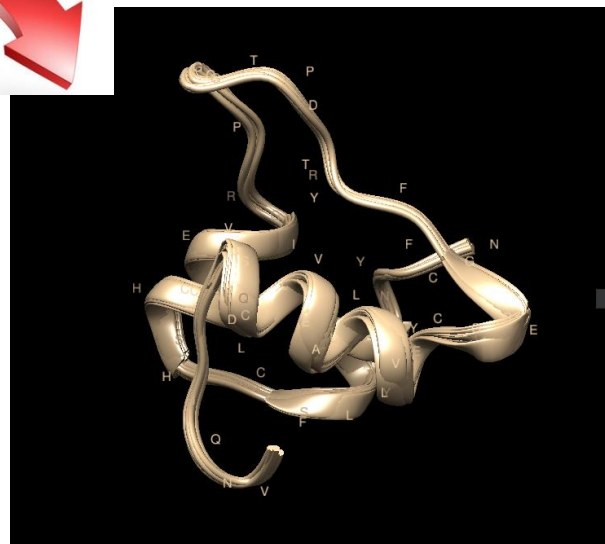
N T C H R M S F E P

Traduction d'un bout de séquence d'ADN en un bout de séquence de protéine
en utilisant le code génétique





D H R G G M K Y



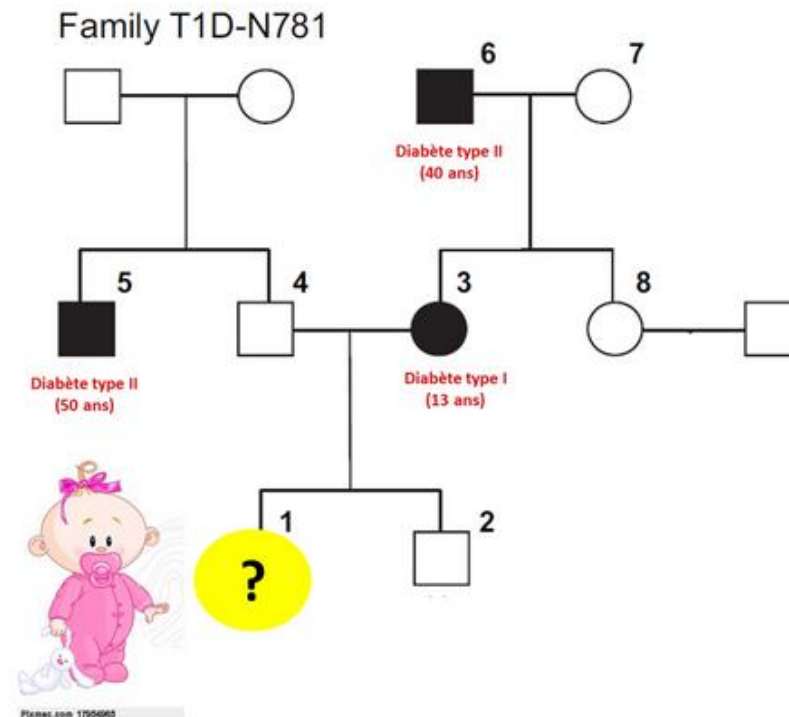
MALWMRLLLPL IALLALWGPD PAAAFVNCHL CGSHLVEALY LVCGERGFFY TPKTRREAED
LQVGQVELGG GPGAGSLQPL ALEGSLQKRG IVEQCCTSIC SLYQLENYCN

Concentration max d'insuline dans le sang:
430 10^{-12} mole/L, soit $\sim 2600 \times 10^{11}$ molécules/L

En 2008, des chercheurs ont étudié une famille norvégienne dont plusieurs membres sont diabétiques (type I et type II).

Toutes les personnes diabétiques type I de cette famille sont porteuses de la même variation dans le gène qui code pour l'insuline ([Molven et al., 2008](#)).

Voici le **pédigré de la famille** (phénotype et liens de parenté):



Afin de savoir si le bébé est porteur de la mutation pathogénique, les chercheurs ont extrait l'ADN de 8 des membres de cette famille et ont séquencé une partie du gène qui code pour l'insuline.

>1

cagccgcagccttgtgaaccaacacacctgtcggtcacacctggtaagctctacc
tagtgtgcgggaaacgaggctttcacacacccaagacactgcgggaggcagaggacc

>2

cagccgcagccttgtgaaccaacacacctgtcggtcacacctggtaagctctacc
tagtgtgcgggaaacgaggctttcacacacccaagacactgcgggaggcagaggacc

>3

cagccgcagccttgtgaaccaacacacctgtcggtcacacctggtaagctctacc
tagtgtgcgggaaacgaggctttcacacacccaagacactgcgggaggcagaggacc

>4

cagccgcagccttgtgaaccaacacacctgtcggtcacacctggtaagctctacc
tagtgtgcgggaaacgaggctttcacacacccaagacactgcgggaggcagaggacc

>5

cagccgcagccttgtgaaccaacacacctgtcggtcacacctggtaagctctacc
tagtgtgcgggaaacgaggctttcacacacccaagacactgcgggaggcagaggacc

>6

cagccgcagccttgtgaaccaacacacctgtcggtcacacctggtaagctctacc
tagtgtgcgggaaacgaggctttcacacacccaagacactgcgggaggcagaggacc

>7

cagccgcagccttgtgaaccaacacacctgtcggtcacacctggtaagctctacc
tagtgtgcggagaacgaggctttcacacacccaagacactgcgggaggcagaggacc

>8

cagccgcagccttgtgaaccaacacacctgtcggtcacacctggtaagctctacc
tagtgtgcgggaaacgaggctttcacacacccaagacactgcgggaggcagaggacc

Approche papier crayon:

...bandelettes de papier avec les séquences ADN à analyser manuellement afin de bien comprendre le principe de la comparaison de séquences, et de l'alignement:

8 membres de la famille - 4 séquences ADN - une allèle

8 membres de la famille - 1 séquence ADN - 2 allèles

8 membres de la famille - 2 séquences ADN - 2 allèles (plus difficile)

Approche bioinformatique:

Construire un alignement des 8 séquences à l'aide d'un outil bioinformatique et identifier la variation commune aux personnes diabétiques de type I

- * Copier/Coller les 8 séquences (inclue la ligne '>1') dans l'outil d'[alignement](#)
- * Cliquer sur l'icône 'Run align'
- * Sur la page des résultats, colonne de droite 'Highlight': sélectionner 'Similarity'

....informations médicales sur la famille

Le sujet (**1**) avec la mutation R55C (hétérozygote) a présenté un diabète de type I à l'âge de 10 ans. Elle avait un taux de glucose dans le sang de 17.6 mmol/l.

Sa maman (**3**) a développé un diabète de type I à l'âge de 13 ans. Elle est sous traitement d'insuline (...). Elle est aussi hétérozygote pour la mutation R55C.

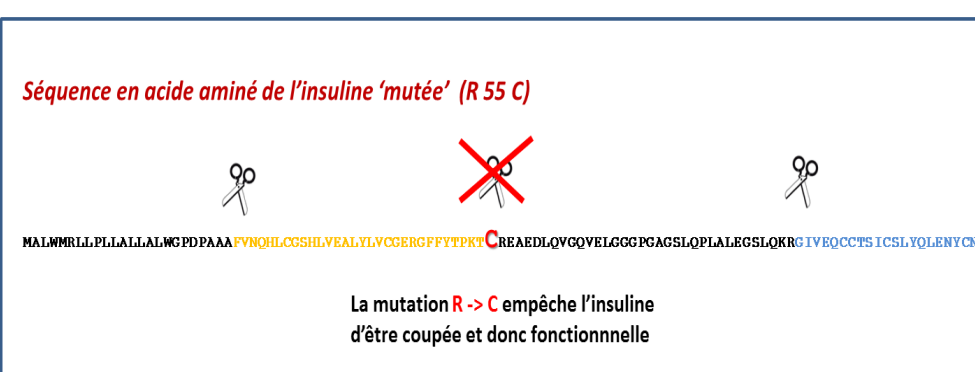
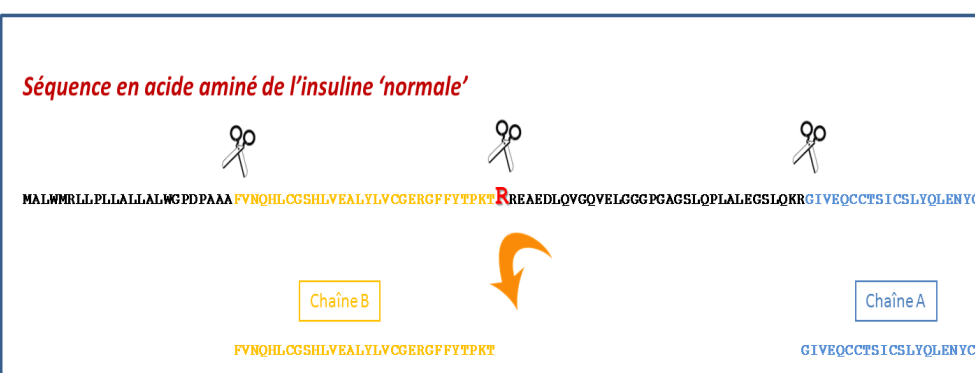
Le grand-père maternel (**6**) a été diagnostiqué diabétique de type II à l'âge de 40 ans. Il est traité à l'insuline (...). Ni lui ni sa femme (en bonne santé) ne sont porteurs de la mutation R55C, ce qui suggère qu'il s'agit d'une mutation de novo qui pourraient avoir eu lieu par exemple dans les cellules germinales d'un des 2 grands-parents (...).

Les patients (**1**) et (**3**) porteurs de la mutation R55C ont des taux de C-peptide quasi normaux, ce qui suggère qu'ils sont quand même capables de fabriquer de l'insuline. Les scientifiques ne comprennent pas pourquoi les patients (**1**) et (**3**) ont besoin de s'injecter de l'insuline à des doses aussi élevées (...) ([Molven et al., 2008](#)).

....voici la séquence du gène de l'insuline et la liste des variations (en rouge) connues du gène de l'insuline; beaucoup de variations ne sont pas associées avec un diabète.

La mutation c -> t dans le gène de l'insuline conduit au remplacement de l'acide aminé R (arginine; codon cgc) par l'acide aminé C (cystéine; codon cgt) en position 55: ce changement empêche la protéine insuline d'être 'coupée', un processus qui est essentiel pour que l'insuline puisse être fonctionnelle ([Molven et al., 2008](#)).

L'insuline est coupée par une enzyme appelée 'protéase' ([insulin protease](#), insulinase). Le site de coupure reconnu par l'insulinase est très spécifique: un changement dans la séquence en acide aminé du site de coupure (comme celui induit par la mutation R55C), empêche la protéase de faire son 'travail'.



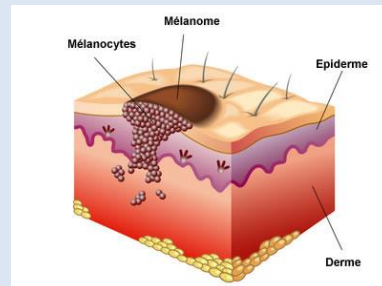
(1) Variations inter-espèces



(2) Variations intra-espèce (humain)

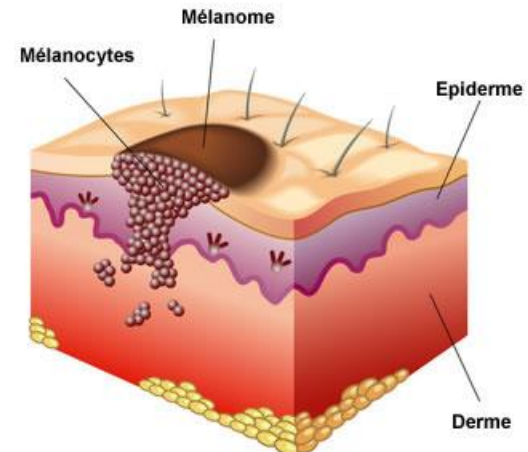


(3) Variations intra-individu (somatiques)



Le mélanome: cancer de la peau ...et médecine personnalisée

- Le **mélanome** est un **cancer de la peau**, conséquence de la **prolifération anormale des cellules** appelées ‘mélanocytes’.
- Les cellules de la tumeur dérivent toutes d’une cellule ‘initiatrice’ qui a acquis certaines caractéristiques lui permettant de **se diviser indéfiniment** (perte de contrôle).
- Mutation (somatique)



Résultat de la recherche bioinformatique (statistique)

Cutaneous melanoma ✖

250 mutational cancer drivers have been detected in 2 Cutaneous melanoma (CM) projects. The most mutated drivers are: *BRAF*, *NRAS*, *TP53*, *CDKN2A*, *PTEN*, etc.

Table 2. Genes most frequently mutated in melanoma. Data from COSMIC database, (accessed on 20 November 2011).

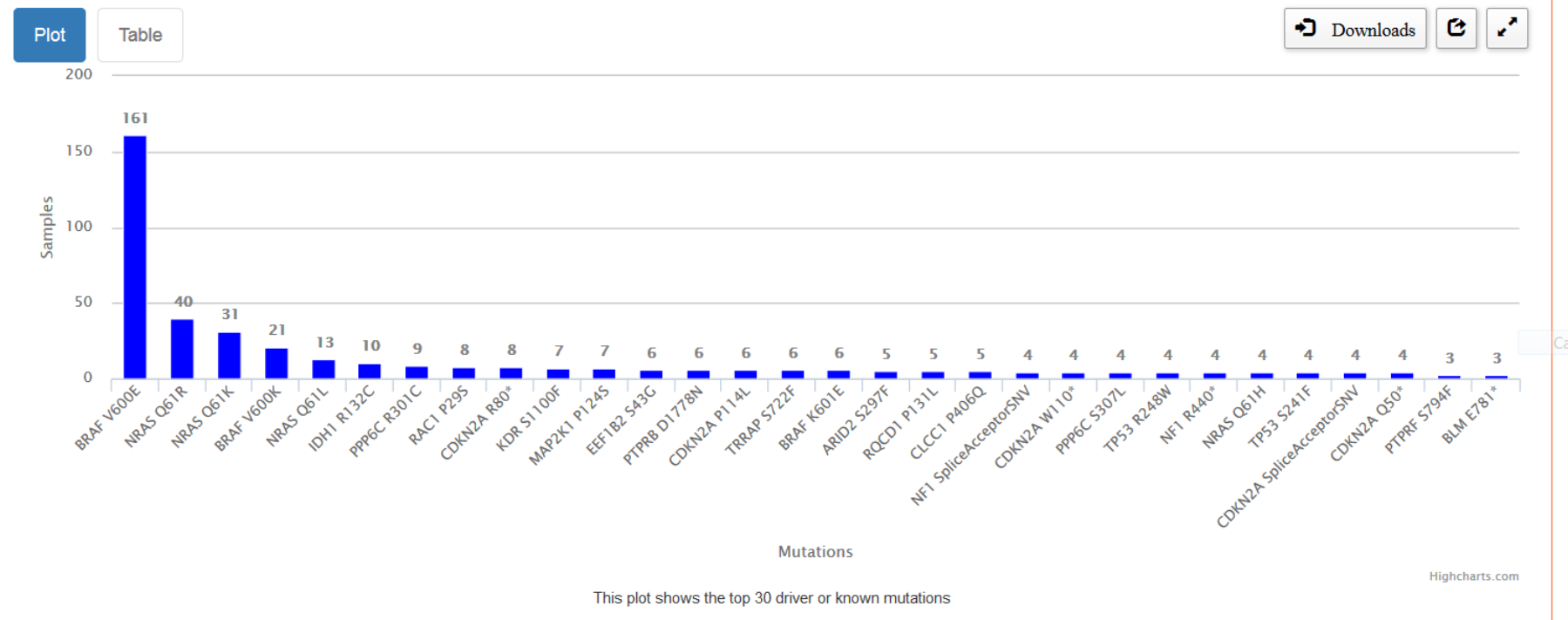
Gene	Frequency (%)	Gene	Frequency (%)
BRAF	45	GNAQ	8
CDKN2A	29	CTNNB1	6
NRAS	19	NF2	5
TP53	17	PDGFRA	4
PTEN	17	PIK3CA	2
STK11	10	HRAS	2
FGFR2	9	KRAS	2
KIT	8	GNA11	2

Mutational cancer driver genes: 250



This driver cloud represents the most recurrently mutated cancer driver genes in Cutaneous melanoma. The size of the gene symbol is relative to the count of samples with PAMs.

Catalog of driver mutations



COSMIC

<http://cancer.sanger.ac.uk/cosmic/search?q=braf>

 Catalogue Of Somatic Mutations In Cancer 

Projects ▾ Data ▾ Tools ▾ News ▾ Help ▾ About ▾ Genome Version ▾ Search COSMIC... **SEARCH** Login

COSMIC search results

Your search term "braf" was an exact match for the COSMIC gene **BRAF**.

A search of the whole COSMIC database returned results in 5 sections of the database. [More...](#)

Genes (2 hits) [Mutations \(675\)](#) [SNPs \(0\)](#) [Cancer \(38\)](#) [Tumour Site \(0\)](#) [Samples \(177\)](#) [Pubmed \(1499\)](#) [Studies \(0\)](#)

Show 10 ▾ entries

Gene	Alternate IDs	Tested samples	Simple Mutations	Fusions	Coding Mutations
BRAF	BRAF,ENST00000288602,AZ628...	269348	50676	643	50676
HMG20B	HMG20B,ENST00000333651,5002...	31969	63	0	63

Showing 1 to 2 of 2 entries First Previous **1** Next Last



COSMIC search results

Your search term "**braf**" was an exact match for the COSMIC gene [BRAF](#).

A search of the whole COSMIC database returned results in 5 sections of the database. [More...](#)

[Genes \(2 hits\)](#) [Mutations \(675\)](#) [SNPs \(0\)](#) [Cancer \(38\)](#) [Tumour Site \(0\)](#) [Samples \(177\)](#) [Pubmed \(1499\)](#) [Studies \(0\)](#)

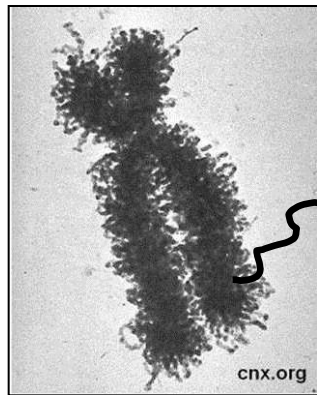
Show 10 ▾ entries

Gene	Syntax	Alternate IDs	Recurrence
BRAF	c.1799T>A	BRAF c.1799T>A...	26609
BRAF	c.?	BRAF c.?...	20618
BRAF	c.1798_1799GT>AA	BRAF c.1798_1799GT>AA...	693
BRAF	c.?	BRAF c.?...	373
BRAF	c.?	BRAF c.?...	366
BRAF	c.?	BRAF c.?...	127
BRAF	c.1801A>G	BRAF c.1801A>G...	109
BRAF	c.1798_1799GT>AG	BRAF c.1798_1799GT>AG...	108
BRAF	c.1799_1800TG>AA	BRAF c.1799_1800TG>AA...	87
BRAF	c.1781A>G	BRAF c.1781A>G...	80

Showing 1 to 10 of 675 entries

First Previous **1** 2 3 4 5 ... 68 Next Last

Mutation somatique



chromosome 7

TTTTAAAAACCATGAAAATCCATAACATGCGTGTACACAG
CACACACACACACACACACACACACACACACACACACAC
ATTAGGGCAGGGTGAACAAAGATTCTTTATGCAA
GGGAGGTTGTCTCTACTTAAGGCTAGGAAACATAP
CCTTCCTCCAAATTCAAATTAAATATCTTGAT
AATAAAAAGCATCTTATCTTAAAAGGAGCCAGAGTC
TTTAGACCAAAACAAAATGTATGAGTCAAACTTTCACACGTCAA
TTTGTAAATGAGCTCACAATGATTCAATACTACTCTACTTTATGTATGTTA
GCCAGACATGGTGGCTCATGCCTGTAATCCCAGCATTTGGGAGGCCAGGCAGGAGATCA
CTGGAGTTCAAGACAGCCTGGCAACATGGTGAACCCCCATCTCTATTAAAAACACAAAAATTAGCCAG
GCATGGTGGCAGGGCTCTGTATCCTGGCTACTAGGGAGGCTGAGGCAGGAGAATCACTTGAACTTAGGA
GGCGGAGGTTGTAGTGAGCCAAGACTGTGCCACTGCACTCCAGCCTGGGTGACAGAGTGAGACTCCATCT
CAAAATATATATATATAAAATTATATAATTATATAATTATATAATTATATAATTATATAAC
ATAATTATATACAAATATATAACATATATATTATATAACATATATATTATATAACATATATATT
ATATATAACATATATAATTATATATTATATAAAAGTTCCATAGTAAAAAGTTTTAAAAAA
ACAGTTGTTCTAAATTAGGTGGTCATCAAATTGTTATATGTTAATTCTTGAGATAGTACATTAAT
TTGGTAGTTGTTTACAGTGCAGACGATTATATGCCTTAAGTAAGCTTCATGATAACAGTAACATCTAA
ATAAAACTGGCACAGAAATACATGCCAATATACAGATTGAAATCAAATTAAATTACATAGCTTCTG
ATTTTATAATTAACTTAATGCCAAGTTCTTTTGAGACTATTACATCAATTACATTTTTTTTTT
TTGAGACAGAGTCTCGCTCTGCGCCAGGCTGCAGTGGCGTGTCTCAGCTCACTGCAAGCTCC
ACCTCCCGGGCTACGCCATTCTCCTGCCTCAGCCTCTGAGTAGCTGGGACTACAGGTGTGCCACCA
CGCCTGGCTAATTGTTTTTTGTATTAGTAGAGACGGGGTTCTCTGTTAGCCAAGATGGT
CTCGATCTCCTGACCTCATGATTGCCCGCCTCAGCCTCCAAAGTGCCTAGGATTACAGGTGTGAGCCAT
TTTTTTTTTTTTTTGAGACAGGGTCTGCTCTGCCACCCAGGCTTGTGCAATGGTGCACCTAG
AATCACTGCAAACACTCCACTTCACAGGTTCAAGGGATTCTCATGCCCTCAGCTCCAGAGCAGCTGGGATTA
CAGGCATGTGCCAGCAAGCCGGTAATTGTTGATTGTTAGTAAAGACGGGGTTAGTATGTTCT
CAGGCTGGTCTCGAACCTCTTACCTCAAGTGACCCGCCTGCCTCAGCCTCCAAAGTGCCTGGGATTACAG
GTGTGAGCCACTGCAACTGGCCTAATTACAATATTGTTAAAGAAAAAAATTGTTATGATCTGCTTA

gène BRAF

variation génétique
T → A (V600E)
retrouvée dans ~50 % des cas de mélanome

diagnostic + choix du traitement

Activité 3.1

Comprendre comment les scientifiques font l'association entre un variant et un phénotype.

Alignment multiple @ UniProt

Récupérer les séquence ADN du gène BRAF de différents patients.

<http://education.expasy.org/cours/PO17421/>

Pour chaque patient, il y a l'ADN de cellules normales et l'ADN de cellules de mélanomes....

Copier/coller les séquences dans www.uniprot.org/align

Cliquer éventuellement sur 'Similarity'

Alignment multiple

```
1_normal          gtttgaacttaggtgatttggtagctacagtgaaatctcgatggagtggtcccat
2_normal          gtttgaacttaggtgatttggtagctacagtgaaatctcgatggagtggtcccat
3_normal          gtttgaacttaggtgatttggtagctacagtgaaatctcgatggagtggtcccat
Patient_normal   gtttgaataggtgatttggtagctacagtgaaatctcgatggagtggtcccat
1_melanome        gtttgaacttaggtgatttggtagctacagagaaatctcgatggagtggtcccat
2_melanome        gtttgaataggtgatttggtagctacagtgaaatctcgatggagtggtcccat
3_melanome        gtttgaataggtgatttggtagctacagagaaatctcgatggagtggtcccat
Patient_melanome gtttgaataggtgatttggtagctacagagaaatctcgatggagtggtcccat
***** . ***** : *****
```



Question

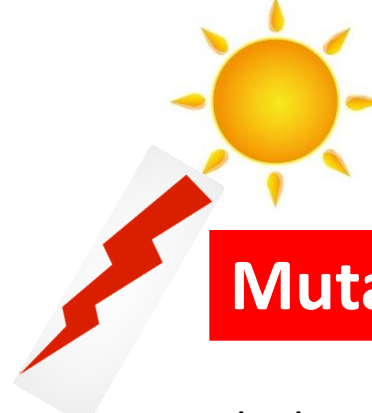
Est-ce que le mélanome du patient possède la variation génétique retrouvée dans 60 % des mélanomes ?

Un variant 'pathogenic' ne devrait pas se retrouver dans la population saine....

Activité 3.2

Comprendre le lien entre une analyse génétique (mutation somatique) et la prescription d'un médicament

ADN
Gène BRAF

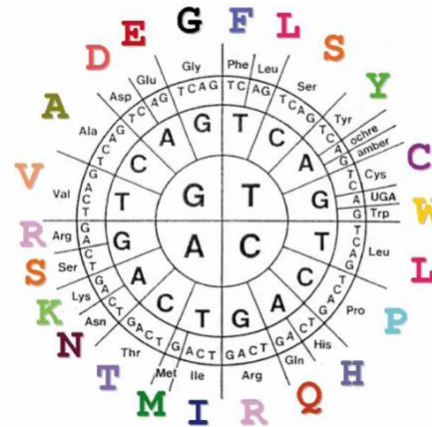


Mutation

t → a

...gg t gat ttt ggt cta gct aca gag aaa tct cga tgg...

Protéine
B-Raf



Code génétique

... G D F G L A T E K S R W ...



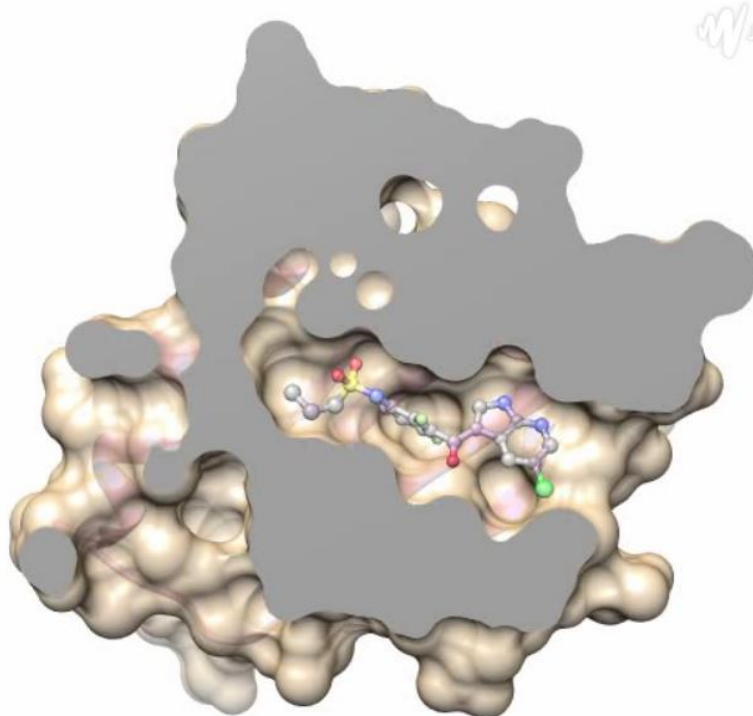
Mutation

V → E

Changement d'un acide aminé (V600E)

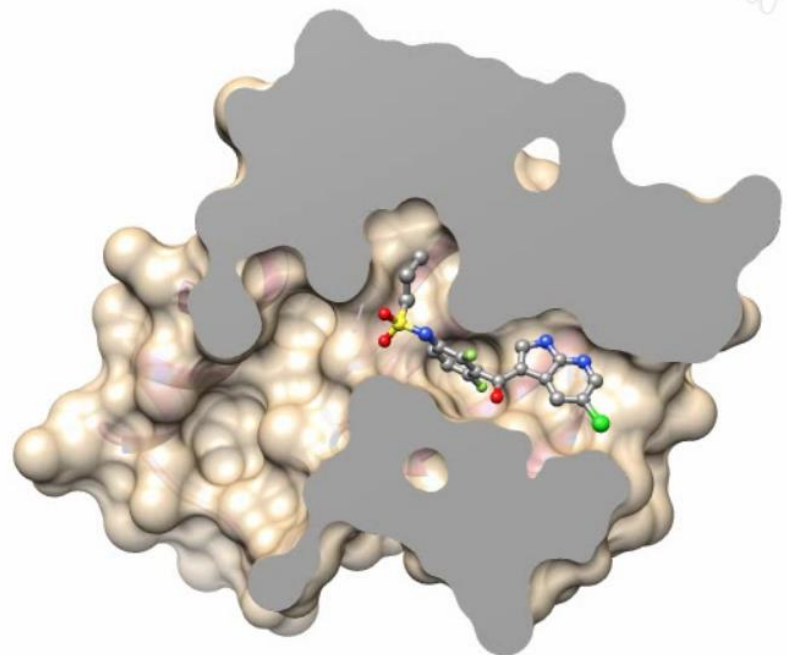
- > Changement de la forme
- > Changement de la fonction
- > Cible spécifique d'un médicament

Protéine B-RAF



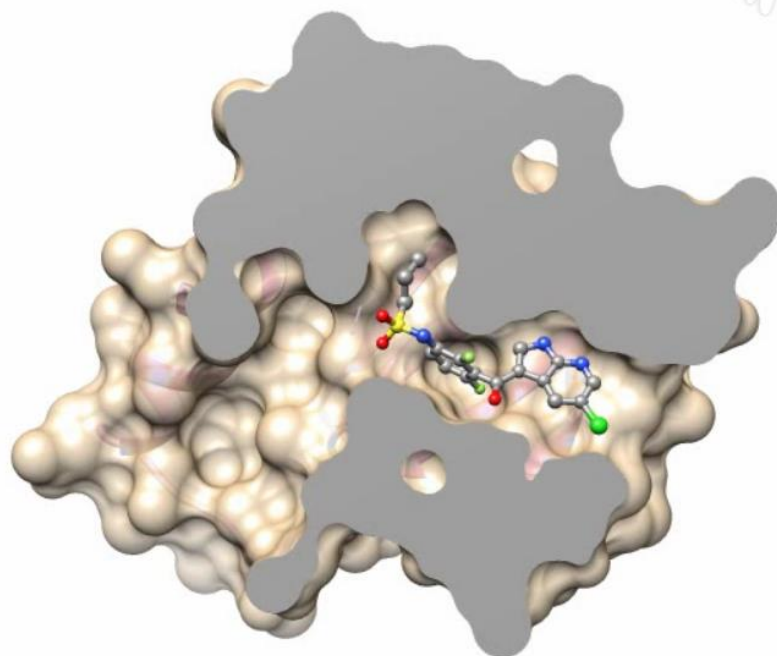
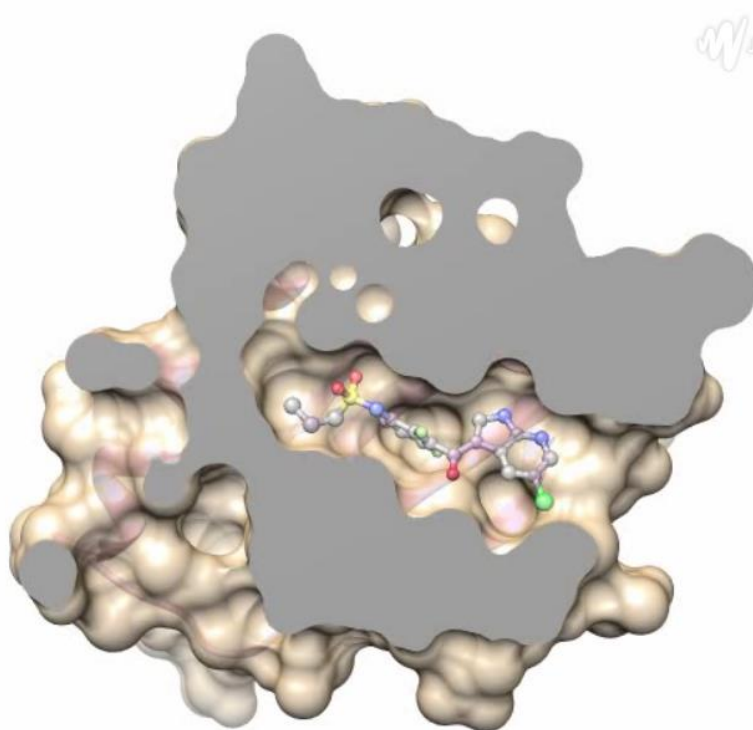
Contrôle la division des cellules

Protéine B-RAF mutée



Contrôle la division des cellules

Modélisation de la transition conformationnelle entre les formes inactives et actives de BRAF: <http://www.atelier-drug-design.ch/videos.php>



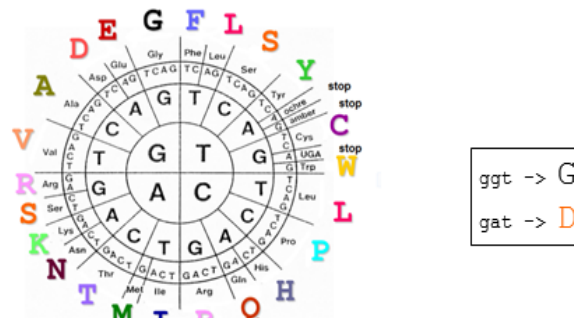
Séquence ADN



activité pédagogique

... ggt gat ttt ggt cta gct aca gtg aaa tct cga tgg ...

Code génétique

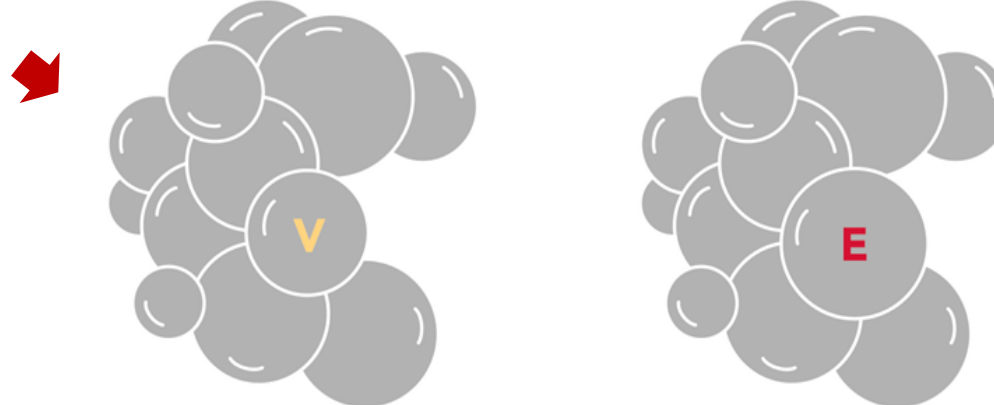


ggt → G
gat → D

Séquence protéine



Protéine



Quel médicament cible votre protéine ?



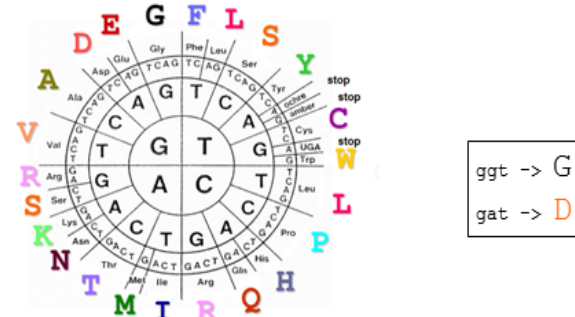
Séquence ADN



activité pédagogique

... ggt gat ttt ggt cta gct aca gag aaa tct cga tgg ...

Code génétique

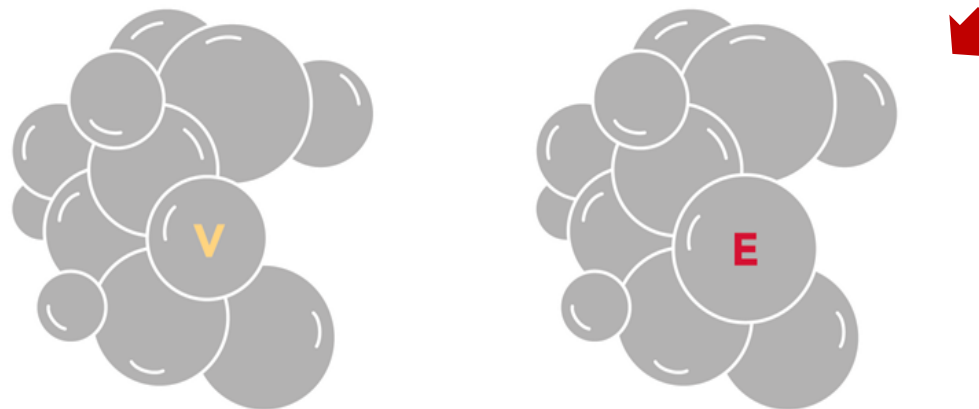


ggt → G
gat → D

Séquence protéine



Protéine



Quel médicament cible votre protéine ?



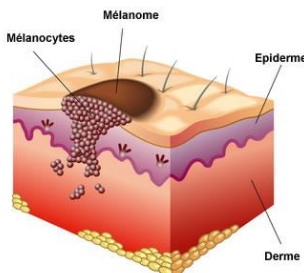
(1) Variations inter-espèces



(2) Variations intra-espèce (humain)



(3) Variations intra-individu (somatiques)





Low rate of somatic mutations in a long-lived oak tree

<http://dx.doi.org/10.1101/149203>

<http://education.expasy.org/cours/PO17421/publication>

Séquençage du génome du chêne de l'Université de Lausanne

Le temps passe, l'ADN du chêne reste

BOTANIQUE Une équipe lausannoise a pour la première fois séquencé le génome d'un chêne, celui du «chêne de Napoléon», qui pousse sur le campus de Dornigny. Surprise, son ADN est resté étonnamment stable durant ses 239 ans de vie. De quoi questionner les biologistes

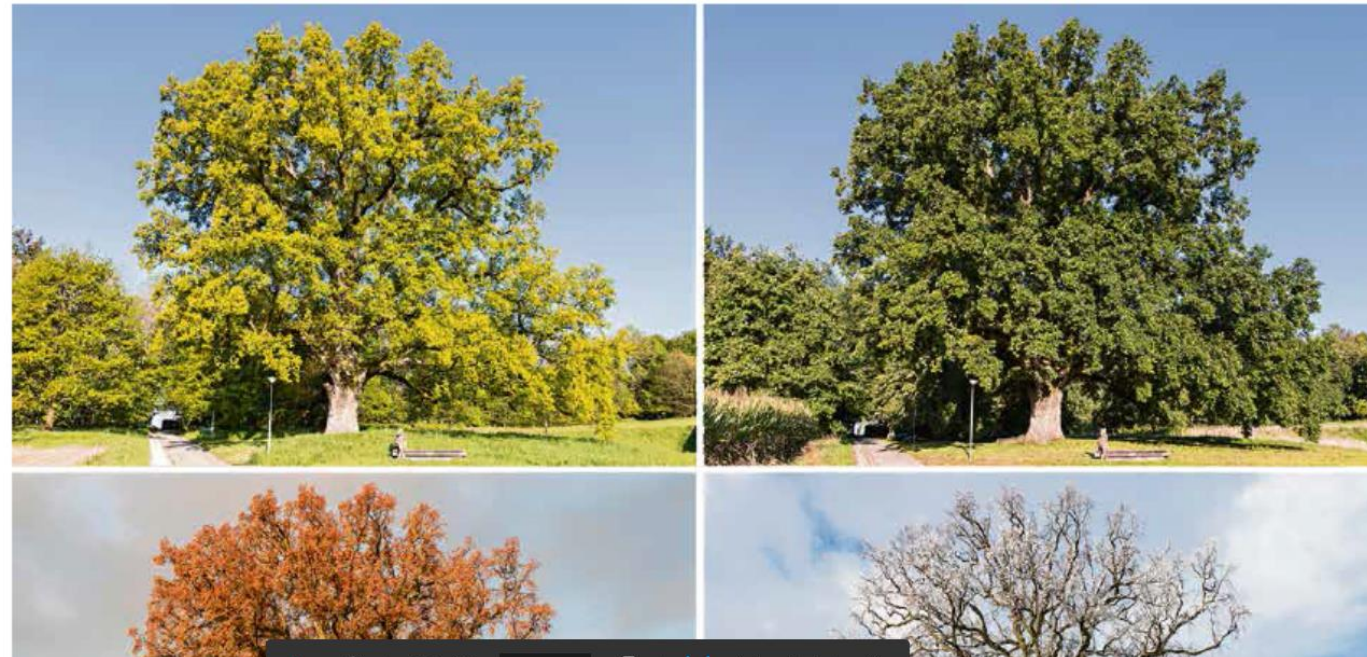
FABIEN GOUBET

@fabien_goubet

C'est un vieux monsieur, devant lequel on peut passer sans lui prêter la moindre attention. Un arbre qui détient les clés d'un mystère qui plane sur la botanique depuis des décennies. Du haut de ses 30 mètres, 239 ans d'histoire nous contemplent, aurait pu dire Napoléon Bonaparte... d'après lequel a justement été baptisé ce chêne majestueux.

Nommé le «chêne de Napoléon», cet arbre planté sur le campus de l'Université de Lausanne (Unil) en a vu d'autres. A commencer par Napoléon Bonaparte donc, de passage à Saint-Sulpice pour une revue de ses troupes en 1800. Légende ou pas, c'est en tout cas ainsi que fut baptisé le vénérable sylvestre.

Malgré tous les changements dont fut témoin cet arbre, il est une chose qui est demeurée chez lui étonnamment stable: son génome. Telle est du moins la conclusion d'une très belle étude pluridisciplinaire tout juste parue dans la revue *Nature Plants*, étude qui pourrait amener les botanistes à revoir la manière dont ces honorables végétaux traversent les siècles.



<http://education.expasy.org/cours/PO17421/publication>

Dernières nouvelles...

<http://www.bbc.com/news/world-europe-42805485>

Boris Johnson 'is descendant' of mummified Basel woman

By Imogen Foulkes
BBC News, Basel

6 hours ago

f t m Share



- The woman is the great-great-great-great-great-great grandmother of UK Foreign Secretary Boris Johnson. The body was uncovered in 1975 while renovations were being done on Basel's Barfüsser Church.
- Now the scientists and the historians were sure (99.8% probability): the mummy was none other than Anna Catharina Bischoff. Born in Basel in 1719, she died there in 1787.

The nature of nurture: Effects of parental genotypes

Augustine Kong,^{1,2,3*} Gudmar Thorleifsson,¹ Michael L. Frigge,¹
Bjarni J. Vilhjalmsson,^{4,5} Alexander I. Young,^{1,2,6} Thorgeir E. Thorgeirsson,¹
Stefania Benonisdottir,¹ Asmundur Oddsson,¹ Bjarni V. Halldorsson,¹ Gisli Masson,¹
Daniel F. Gudbjartsson,^{1,3} Agnar Helgason,^{1,7} Gyda Bjornsdottir,¹
Unnur Thorsteinsdottir,^{1,8} Kari Stefansson^{1,8*}

Sequence variants in the parental genomes that are not transmitted to a child (the proband) are often ignored in genetic studies. Here we show that nontransmitted alleles can affect a child through their impacts on the parents and other relatives, a phenomenon we call “genetic nurture.” Using results from a meta-analysis of educational attainment, we find that the polygenic score computed for the nontransmitted alleles of 21,637 probands with at least one parent genotyped has an estimated effect on the educational attainment of the proband that is 29.9% ($P = 1.6 \times 10^{-14}$) of that of the transmitted polygenic score. Genetic nurturing effects of this polygenic score extend to other traits. Paternal and maternal polygenic scores have similar effects on educational attainment, but mothers contribute more than fathers to nutrition- and health-related traits.

<http://education.expasy.org/cours/PO17421/publication>

<https://www.rts.ch/info/sciences-tech/medecine/9279297-la-reussite-scolaire-depend-de-l-environnement-social-et-genetique.html>

ENVIRONNEMENT GÉNÉTIQUE

Source : KONG et al.science 2018



Cet exemple montre les séquences d'ADN transmises des parents à l'enfant. La séquence rouge serait corrélée à la réussite scolaire de la mère. L'enfant n'a pas reçu cet ADN. Pourtant, au contact de sa mère, il grandit dans un environnement favorable qui augmente quand même ses chances à l'école. [- RTS]

Our analyses implicitly assume that direct genetic effects and genetic nurturing effects are additive, but interactive effects could certainly exist and further complicate the interpretation of observed effects. Moreover, alleles other than those in the parents can also have an effect; for example, the genetic makeup of the population of the probands could also be an important environmental contributor to their phenotypes.



Nature. 1988 Jun 30;333(6176):816-8.

Human basophil degranulation triggered by very dilute antiserum against IgE.

Davenas E¹, Beauvais F, Amara J, Oberbaum M, Robinzon B, Miadonna A, Tedeschi A, Pomeranz B, Fortner P, Belon P, et al.

+ Author information

Abstract

When human polymorphonuclear basophils, a type of white blood cell with antibodies of the immunoglobulin E (IgE) type on its surface, are exposed to anti-IgE antibodies, they release histamine from their intracellular granules and change their staining properties. The latter can be demonstrated at dilutions of anti-IgE that range from $1 \times 10(2)$ to $1 \times 10(120)$; over that range, there are successive peaks of degranulation from 40 to 60% of the basophils, despite the calculated absence of any anti-IgE molecules at the highest dilutions. Since dilutions need to be accompanied by vigorous shaking for the effects to be observed, transmission of the biological information could be related to the molecular organization of water.

PMID: 2455231 DOI: [10.1038/333816a0](https://doi.org/10.1038/333816a0)

Capture Ctrl+Inc

Nature. 1994 Aug 4;370(6488):322.

Memory of water revisited.

Benveniste J, Ducot B, Spira A.

Comment on

Human basophil degranulation is not triggered by very dilute antiserum against human IgE. [Nature. 1993]

PMID: 8047128 DOI: [10.1038/370322a0](https://doi.org/10.1038/370322a0)

Réponse à un médicament

Voir aussi activité 3.2
et

<http://www.chromosomewalk.ch/chromosome/chromosome-10/>

Réponse à un médicament

Séquence ADN

... gggatgcaatagtagtagtggtactgttagaggatgaagttagatggtgca ...

Séquence du gène SLC2A2 / GLUT2 qui est impliqué dans le transport du glucose. **Les patients avec la variation 't -> c' répondent mieux au traitement Metformin (Glucophage, Stagid, ...), un antidiabétique oral de la famille des biguanides normoglycémiant utilisé dans le traitement du diabète de type 2**

"The normal dose of metformin used to treat patients with diabetes is between 500mg and 2000mg. We have found that overweight people who carry two copies of the genetic variant c respond much better to metformin, equivalent to receiving an extra 550mg of the drug."

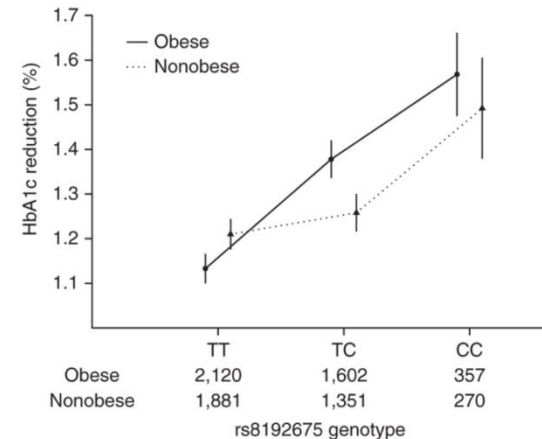


Table 1 Currently available antidiabetic drugs and their associated candidate genes involved in efficacy/toxicity

Class	Common medical representatives	Mechanism of action	Candidate genes involved in pharmacotherapy	Ref.
Biguanide	Metformin	AMP-kinase activation	<i>SLC22A1, SLC22A2, SLC22A3, SLC47A1, SLC47A2</i>	[28-39]
Sulfonylureas	Gliburide, gliclazide, Glimepiride, glipizide	Inhibition of KATP channel on plasma membrane of β -cells	<i>KCNJ11, ABCC8, CYP2C9, TCF7L2</i>	[8,10,48-91]
Thiazolidinediones	Pioglitazone, rosiglitazone	Activates PPAR- γ	<i>PPAR-γ, ADIPOQ, TNF-α, LEP, CYP2C8</i>	[92-131]
Meglitinides	Nateglinide, repaglinide	Inhibition of KATP channel on Plasma Membrane of β -cells	<i>SLCOB1, CYP2C8, KCNQ1, SLC30A8, KCNJ11, TCF7L2</i>	[78,106,132-144]
DPP-4 inhibitors	Alogliptin, linagliptin, saxagliptin, sitagliptin, vildagliptin	Inhibits DPP-4, Affect GLP-1 receptor pathway	Possibly <i>TCF7L2</i>	[145-148]
α -glucosidase inhibitors	Acarbose, miglitol, voglibose	Inhibits intestinal α -glucosidase	Yet to identify?	[10]
SGLT-2 inhibitors	Canagliflozin, dapagliflozin, empagliflozin	Inhibits SGLT2 transporters in kidney	Yet to identify?	[10]
GLP-1 agonist	Exenatide, liraglutide	Activate GLP-1 receptor	Yet to identify?	[10]

DPP-4: Dipeptidyl peptidase-4; SGLT-2: Sodium glucose transporter-2; GLP-1: Glucagon like peptide-1; KATP: ATP-sensitive potassium channel; PPAR γ : Peroxisome proliferator-activated receptor γ .

Type 2 diabetes

About **415 million people** are suffering from T2DM (642 millions in 2040)

About **70 genetic loci** have been identified to be associated with T2DM

Over the last decade, the number of available oral antidiabetic drugs (OADs) has considerably increased.

However, clinical treatment of T2DM patients has become more complex due to different degrees of therapeutic outcomes.

Personalized differences during OADs therapeutics have been linked with numerous variants related to drug-transporters, drug-targets, drug catabolizing enzymes and T2DM risk genes. In addition, CYP gene encoding Cytochrome P450 enzymes also play a crucial role with respect to metabolism of drugs.

REVIEW

Pharmacogenetic studies update in type 2 diabetes mellitus

Septembre 2015

Médecine personnalisée, la révolution

> Santé Un programme a été lancé en juin aux Etats-Unis pour faire progresser les thérapies ciblées sur le profil génétique

> Les grandes pharmaceutiques, en particulier Roche et Novartis, sont à la pointe

Willy Boder

Début juillet a commencé, dans 2400 hôpitaux américains, une vaste opération de dépistage de patients atteints d'une forme ou d'une autre de cancer.

Contrairement aux études cliniques traditionnelles, l'objectif n'est pas de recruter des malades souffrant d'un même type de cancer, du sein, des poumons, ou de la prostate par exemple, pour tester l'efficacité d'un seul nouveau médicament. Il s'agit, au contraire, de rassembler les patients selon le profil génétique de leur tumeur, toutes catégories confondues.

Les médecins administrent, une vingtaine de médicaments, dont certains proviennent de groupes pharmaceutiques suisses, qui sont déjà sur le marché ou encore en développement. Une patiente souffrant d'un cancer du sein avancé reçoit par exemple une thérapie normalement destinée à un patient souffrant d'un cancer du poumon.

Cette nouvelle approche des programmes d'essais cliniques via le profil génétique des tumeurs et des patients, désignée par le terme «essais en corbeille» est suivie d'un œil bienveillant par la Food and Drug Administration (FDA), chargée du contrôle des médicaments aux Etats-Unis. Cette vaste étude s'intègre dans la tendance scientifique générale suivie actuellement par tous les grands groupes pharmaceutiques, à savoir rendre chaque médicament plus efficace en le modulant selon le profil génétique de la maladie dont souffre exactement tel ou tel patient.

La méthode d'essais cliniques en «corbeilles», menée aux Etats-Unis sous le contrôle de l'Institut national du cancer (NCI), vise à

élargir et à affiner ce qu'on appelle la médecine personnalisée, ou la médecine de précision, selon le terme utilisé par Barack Obama. Le président des Etats-Unis est persuadé de pouvoir faire progresser rapidement la recherche scientifique de cette manière et tente d'obtenir un financement par le Congrès de ces nouvelles formes de thérapie.

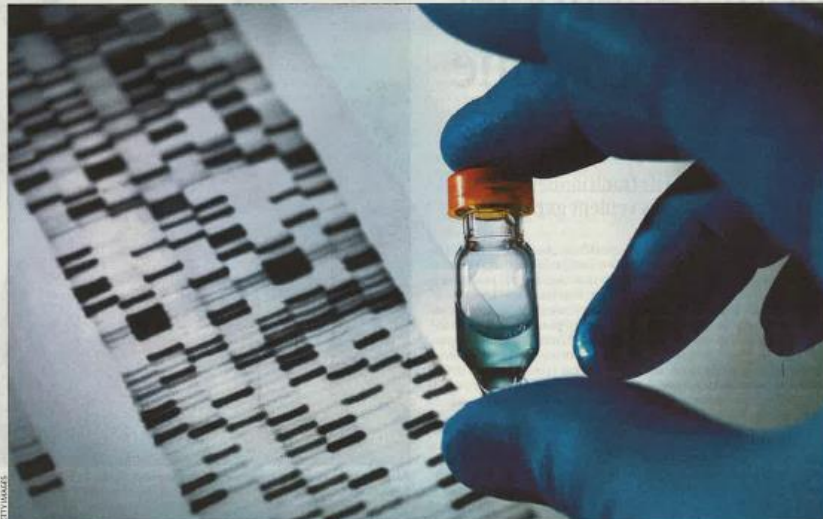
Joe Jimenez, patron de Novartis, deuxième entreprise au monde, derrière Roche, dans la mise à disposition de médicaments contre le cancer, estime qu'un quart des médicaments sont actuellement gaspillés de différentes manières. L'une des principales causes de ce gaspillage, qui coûte très cher aux systèmes de santé, provient du manque de connaissances scientifiques précises sur le profil génétique de telle ou telle maladie à mettre en corrélation avec l'ADN du patient. Le médecin est dès lors contraint de tester plusieurs médicaments sur un patient avant de trouver celui qui est le plus efficace.

Cette approche empirique se produit pour de très nombreuses maladies, de l'hypertension aux maladies infectieuses, en passant par des affections très graves. Pour les maladies où le pronostic vital est engagé, comme certaines formes de cancer, ce tâtonnement, synonyme de perte de temps, peut conduire à la mort.

Selon les spécialistes, la médecine de précision a aussi pour avantage de réduire les coûts de la santé. Les médicaments de ce type associés à un diagnostic (biomarqueur ou test spécifique d'ADN accompagnant le traitement) sont, certes, nettement plus chers que les produits thérapeutiques traditionnels, mais ils évitent le tâtonnement médical et la facturation aux caisses maladie de médicaments inefficaces.

Rassembler les patients selon le profil génétique de leur tumeur, toutes catégories confondues

Le programme du NCI qui touche 2400 hôpitaux et 1000 patients sélectionnés au sein d'un groupe de 3000 malades du cancer, est doté d'un budget de 30 à 40 millions de dollars. Le critère de succès de la thérapie sera principalement basé sur une réduction rapide de la tumeur d'au moins un tiers.



La médecine personnalisée combine profil génétique et médicaments thérapeutiques de manière ciblée. ARCS

Comment ça marche

Le profil génétique du patient et de sa tumeur détermine le traitement à suivre



La majorité des thérapies contre le cancer à l'étude sont associées à un ou plusieurs tests génétiques développés en parallèle avec l'élaboration finale de la substance active contenue dans le médicament. Le taux d'efficacité de la thérapie, ainsi adaptée au profil précis du patient et de sa tumeur, peut dépasser 70% et augmenter fortement ses chances de survie à la suite d'un cancer métastatique.

SOURCE: PIERRE

ponsable du développement du Roche en oncologie. Il cite le cas du médicament Alectinib, contre le cancer du poumon au stade avancé, en phase d'homologation. Les métastases dans le cerveau se réduisent rapidement avec un taux de réponse jusqu'à 70% d'une durée jusqu'à onze mois.

Roche place aussi beaucoup d'espoir dans Atezolizumab, un médicament, associé à la présence

de la protéine PD-L1, qui fait appeler à la stimulation du système immunitaire pour détruire les cellules cancéreuses. Ce mécanisme, identique chez certains patients spécialement diagnostiqués, peut être appliqué dans la lutte contre les cancers du poumon, de la prostate, du sein et du rein. «70% de nos médicaments en phase clinique II et III en oncologie ont

cifrique associé», constate Dietmar Berger.

«On assiste réellement à une révolution dans le traitement de ces maladies», confirme Severin Schwan, patron de Roche. Auparavant, un cancer métastatique menait le plus souvent à la mort. Aujourd'hui, dans de nombreux cas, grâce à la médecine personnalisée, on peut prolonger la vie durant des années, et peut-être guérir de ce type de cancer.»